

Proračun nosive konstrukcije i fizike zgrade stambenog zidanog objekta

Brnas, Anamaria

Master's thesis / Diplomski rad

2019

Degree Grantor / Ustanova koja je dodijelila akademski / stručni stupanj:

University of Split, Faculty of Civil Engineering, Architecture and Geodesy / Sveučilište u Splitu, Fakultet građevinarstva, arhitekture i geodezije

Permanent link / Trajna poveznica: <https://urn.nsk.hr/urn:nbn:hr:123:701833>

Rights / Prava: [In copyright/Zaštićeno autorskim pravom.](#)

*Download date / Datum preuzimanja: **2024-04-20***

Repository / Repozitorij:



[FCEAG Repository - Repository of the Faculty of Civil
Engineering, Architecture and Geodesy, University
of Split](#)



SVEUČILIŠTE U SPLITU
FAKULTET GRAĐEVINARSTVA ARHITEKTURE I GEODEZIJE

DIPLOMSKI RAD

Anamaria Brnas

Split, 2019.

**SVEUČILIŠTE U SPLITU
FAKULTET GRAĐEVINARSTVA ARHITEKTURE I GEODEZIJE**

Anamaria Brnas

**Proračun nosive konstrukcije i fizike zgrade
stambenog zidanog objekta**

Diplomski rad

Split, 2019.

*Zahvaljujem mentoru Ivanu Baliću i komentorici Nikolini Živaljić
na savjetima, strpljenju i izdvojenom vremenu pri izradi rada.
Također veliko hvala mojoj obitelji na podršci i potpori tijekom
cjelokupnog školovanja.*

*Hvala mojim kolegama koji su godine
zajedničkog studiranja pretvorili u nezaboravno iskustvo.*

*Hvala mom jednom i jedinom koji je
vjerovao u mene kad sam i sama sumnjala.*

SVEUČILIŠTE U SPLITU
FAKULTET GRAĐEVINARSTVA, ARHITEKTURE I GEODEZIJE

STUDIJ: **DIPLOMSKI SVEUČILIŠNI STUDIJ GRAĐEVINARSTVA**
KANDIDAT: **Anamaria Brnas**
BROJ INDEKSA: **698**
KATEDRA: **Katedra za teoriju konstrukcija**
PREDMET: **Zidane konstrukcije**

ZADATAK ZA DIPLOMSKI RAD

Tema:

Proračun nosive konstrukcije i fizike zgrade stambenog zidanog objekta

Opis zadatka:

Izraditi projekt konstrukcije zgrade s vertikalnom nosivom konstrukcijom od omeđenih zidova. U radu:

- opisati koncept nosive konstrukcije, osnovna djelovanja i kombinacije djelovanja, vrstu i svojstva gradiva, podatke o tlu i načinu temeljenja,
- proračunati horizontalne konstrukcije (međukatne konstrukcije) i grede,
- proračunati vertikalne konstrukcije (omeđene zidove),
- proračunati naprezanja u tlu i dimenzionirati temelje,
- izraditi građevinske nacrte (temelji, tlocrti, presjek, pročelja).
- proračunati fiziku zgrade zadane konstrukcije

U Splitu, 19.srpanj 2019.

Predsjednik Povjerenstva

Mentor:

Doc. dr. sc. Ivan Balić

za završne i diplomske ispite:

Doc.dr.sc. Ivo Andrić

Komentor:

Doc. Dr.sc. Nikolina Živaljić

Proračun nosive konstrukcije i fizike zgrade stambenog zidanog objekta

Sažetak:

U radu je prikazan proračun nosive konstrukcije i fizike zgrade stambenog zidanog objekta prema Europskim normama (EN 1992, EN 1996, EN 1998) i Tehničkom propisu za zidane konstrukcije (HRN EN 1996-3).. Potresna otpornost konstrukcije određena je pojednostavljenim proračunom prema pravilima za jednostavne zidane zgrade. Također je proveden proračun ploča, zidova i temelja uslijed vertikalnog djelovanja. Proračunom su dobivene rezne sile u elementima konstrukcije koji su sukladno tome armirani.

Proračun fizike zgrade izvršen je u računalnom programu KI Expert Plus.

Ključne riječi:

Zidane zgrade, potresna otpornost, fizika zgrade

Calculation of supporting structure and buildings physics of residential masonry constructions

Abstract:

This task is showing calculation of supporting structure and buildings physics of residential masonry constructions following European norms and technical regulations for masonry construction. Seismic resistance is determined by simplified calculation following rules for simple masonry buildings.

Calculation of panels, walls and foundations caused by vertical movements was done as well. Result of calculation are the cutting forces in the elements of construction and they are reinforced accordingly

KI-expert plus computer program has been used to make buildings physics analyses.

Key words:

Masonry objects, seismic resistance, buildings physics

Sadržaj

| | | |
|------|---|----|
| 1. | Općenito o zidanim konstrukcijama..... | 3 |
| 1.1. | Zidane konstrukcije..... | 3 |
| 1.2. | Vrste ziđa | 12 |
| 1.3. | Mehanička svojstva ziđa | 15 |
| 2. | Tehnički opis | 26 |
| 2.1. | Općenito | 26 |
| 2.2. | Proračunski modeli | 27 |
| 2.3. | Konstruktivne pojedinosti..... | 28 |
| 3. | Materijali | 30 |
| 3.1. | Zidni elementi | 30 |
| 4. | Analiza opterećenja | 32 |
| 4.1. | Djelovanja na konstrukciju | 33 |
| 4.2. | Kombinacije opterećenja..... | 37 |
| 5. | Proračun potrebne armature za AB serklaže | 38 |
| 5.1. | Proračun zidova na vertikalna opterećenja | 38 |
| 5.2. | Proračun zidova na potresno djelovanje | 42 |
| 6. | Proračun ostalih konstruktivnih elemenata | 49 |
| 6.1. | Rezultati proračuna | 49 |
| 6.2. | Ploče..... | 51 |
| 6.3. | Proračun širine pukotina | 56 |
| 6.4. | Grede..... | 58 |
| 6.5. | Temelji | 63 |
| 7. | Glavni projekt fizike zgrade..... | 65 |
| 7.1. | Tehnički opis..... | 65 |
| 7.2. | Podaci o lokaciji objekta | 66 |
| 7.3. | Rezultati proračuna | 87 |

| | | |
|-----|------------------|--|
| 8. | Zaključak | 88 |
| 9. | Prilozi | 89 |
| 10. | Literatura | Pogreška! Knjižna oznaka nije definirana. |

1. Općenito o zidanim konstrukcijama

1.1. Zidane konstrukcije

Zidane konstrukcije su one konstrukcije izvedene iz zidnih elemenata (opeke ili blokova) povezanih mortom ili nekim sličnim materijalom anorganskog ili organskog podrijetla, zidane na gradilištu ili izvedene u obliku predgotovljenih zidova u tvornici i spojene na gradilištu u konstrukcijsku cjelinu.

Zidni element, odnosno blok je predgotovljeni građevinski proizvod namijenjen izvedbi ziđa. Građevinski kompozit nastaje naizmjeničnim polaganjem zidnih elemenata (blokova) između vezivnog materijala, što nam omogućava postizanje raznovrsnih struktura i tekstura zidanih konstrukcija.

Za proračun zidanih konstrukcija od velike važnosti je Eurocode 6, koji sadrži preporuke, zahtjeve i matematičke izraze za određivanje mehaničkih svojstava ziđa, te norme koje reguliraju planiranje, proračun i dimenzioniranje građevina.

Prednost zidanih konstrukcija sa strukturalnog aspekta je jednostavnija i brža proizvodnja, niska cijena, dobra zaštita od požara, temperature i zvuka, otpornost u vremenu, i slično. Njihova osnovna značajka je velika težina.

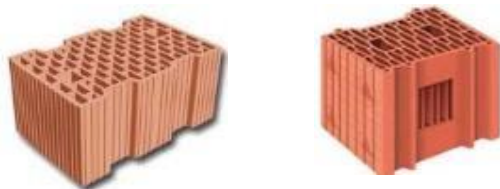
Zidane građevine su veoma otporne na vertikalna opterećenja, ali ne i na horizontalna djelovanja. Osjetljivost na horizontalna djelovanja posebno dolazi do izražaja pri potresu, zbog mehaničkih svojstava zidanog materijala, geometrijske konfiguracije te nedostatka učinkovitosti spojeva između konstrukcijskih elemenata. Za proračun konstrukcija na potresno djelovanje koristi se Eurocode 8.

1.1.1 Vrste zidanih elemenata

Zidni element je predgotovljena komponenta namijenjena izvedbi ziđa. Zidni elementi mogu se podijeliti na više različitih skupina. Najznačajnija je prema vrsti materijala od kojeg su izrađeni.

Razlikujemo:

-**Glineni zidni elementi(opeka, opečni blokovi)**,kojima se trajnost postiže pečenjem elementa oblikovanog u sirovoj glini na visokoj temperaturi.



Slika 1.1: Blok opeka

-**Vapneno-silikatni(kalcijsko-silikatni) zidni elementi**, proizvedeni od smjese silicijskog agregata, vapna i drugih provjerjenih materijala, izrađenih pod tlakom i zaporivanjem.



Slika 1.2: Kalcijsko-silikatni blok

-**Betonski zidni blokovi** proizvedeni od mješavine agregata normalne težine (kamena) i cementa ili drugih provjerjenih materijala u čvrsti oblik pod tlakom ili vibriranjem.



Slika 1.3: Betonski blok

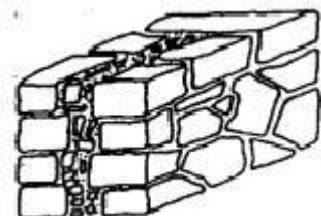
-**Betonski zidni blokovi od lakog agregata** proizvedeni od smjese lakog agregata (npr. ekspandirana šljaka visokih peći, ekspandirana glina) i veziva, izvedeni u kalupima, vibrirani.

-**Porasti betonski zidani elementi(aerirani i autoklavirani)**, proizvedeni od mješavine finog silicijskog agregata, cementa, vapna i sredstava, koje proizvodi zračne mjehuriće. Ta se smjesa njeguje procesom autoklaviranja.



Slika 1.4: Porobetonski blok

-**Kameni zidni elementi**, napravljeni od blokova kamena klesanih na određene dimenzije ili od lomljenog kamena nepravilnih dimenzija.



Slika 1.5: Zid od lomljenog kamena

Prema kontroli proizvodnje zidani elementi se dijele na kategorije (razrede) I. i II.

Zidani elementi I. kategorije su oni za koje je proizvođač osigurao stalnu kontrolu kakvoće prema odgovarajućoj normi i koji u pošiljci imaju deklariranu tlačnu čvrstoću s 5 % fraktila.

Zidani elementi II. kategorije su oni koji imaju srednju vrijednost tlačne čvrstoće jednaku deklariranoj.

Prema postotku šupljina u volumenu zidnih elemenata, dijelimo ih na: grupu 1, grupu 2a, grupu 2b, te grupu 3. Debljina vanjskih stijenki zidnih elemenata ne bi smjela biti manja od 1,5 cm (Tablica 1.1.)

Tablica 1.1: Zahtjevi koje grupe zidnih elemenata moraju zadovoljiti

| | Grupe zidnih elemenata | | | |
|--|------------------------|--|---|---|
| | 1 | 2a | 2b | 3 |
| Obujam šupljina (% bruto obujma) (vidi napomenu 1) | ≤ 25 | >25-45 za opečne zidne elemente >25-50 za betonske zidne elemente | >45-55 za opečne zidne elemente >50-60 za betonske zidne elemente (napomena 2) | ≤ 70 |
| Obujam bilo koje šupljine (% bruto obujma) | ≤ 12.5 | ≤ 12.5 za opečne zidne elemente ≤ 25 za betonske zidne elemente | ≤ 12.5 za opečne zidne elemente ≤ 25 za betonske zidne elemente | Ograničena površina |
| Površina bilo koje šupljine | Ograničena obujmom | Ograničena obujmom | Ograničena obujmom | $\leq 2800 \text{ mm}^2$, osim za zidbe elemente s jednom šupljinom kada je šupljina $\leq 18000 \text{ mm}^2$ |
| Kombinirana debljina (% ukupne širine) (vidi napomenu 3) | ≥ 37.5 | ≥ 30 | ≥ 20 | Nema zahtjeva |

NAPOMENE:

Šupljine ili utori mogu biti vertikalno oblikovani kroz zidne elemente

Ako iskustvo na razini države, utemeljeno na ispitivanjima, potvrđuje da sigurnost zida nije neprihvatljivo smanjena kad postoji veći postotak šupljina, ograničenja od 55% za opečne i 60% za betonske zidne elemente, može se povećati za zidne elemente koji se rabe u zemlji koja ima takvo iskustvo.

Kombinirana debljina je debljina unutarnje i vanjske stijenke mjerena horizontalno na zidnom elementu pod pravim kutom na lice zida.

U ovoj predmetnoj konstrukciji nosivi zidovi izgrađeni su od blok opeke POROTHERM PROFI 25.

Prema tlačnoj čvrstoći koju posjeduje spada u kategoriju I, a prema postotku šupljina spada u skupinu zidnog elementa 2, što se može vidjeti u Izjavi o svojstvima. (Tablica 1.2.)

Tablica 1.2:Izjava o svojstvima za opeku POROTHERM PROFI 25

| Dimenzije: | | | | |
|--|-------------|--------------|-----------------------------|--|
| duljina | mm | 375 | ± 8 | |
| širina | mm | 250 | ± 6 | |
| visina | mm | 249 | ± 1 | |
| dopušteno odstupanje | razred | T1+ | | |
| dopušteno pdstupanje | razred | R1+ | | |
| Ravnost horizontalnih sljubnica: | mm | NPD | | |
| Paralelnost ploha: | mm | 1,0 | | |
| Obujamska masa: | | | | |
| Bruto obujamska masa u suhom stanju | kg/m³ | 780 | | |
| Neto obujamska masa u suhom stanju | kg/m³ | NPD | | |
| razred | razred / % | D1 | 10 | |
| Oblik i izgled: | | | | |
| Skupina zidnog elementa | - | 2 | EN 1996 -1 | |
| Postotak šupljina | % | <55 | | |
| Tlačna čvrstoća: | | | | |
| razred | - | I | | |
| Okomito na horizontalnu sljubnicu | N/mm² | 10 | | |
| Normalizirana na horizontalnu sljubnicu | N/mm² | NPD | | |
| Okomito na vertikalnu sljubnicu | N/mm² | 2,5 | | |
| Normalizirana na vertikalnu sljubnicu | N/mm² | NPD | | |
| Čvrstoća prijanjanja: | N/mm² | 0,15/0,30 | | |
| Toplinska provodljivost $\lambda_{10,dry,uni}$: | W/m·K | 0,145 | EN 1745 židano Dryfix.Extra | |
| Paropropusnost: | - | $\mu = 5/10$ | | |
| Trajinost proizvoda: | razred | F0 | | |
| Vodoupojnost: | % | NPD | | |
| Početna vodoupojnost: | kg/(m²·min) | NPD | | |
| Sadržaj aktivnih topivih soli: | razred | S0 | | |
| Širenje vlage: | mm/m | NPD | | |
| Ponašanje pri požaru: | razred | A1 | | |
| Opasne tvari: | - | NPD | Nema štetnih tvari | |

EN 771-1:2011

1.1.2 Svojstva zidanih elemenata

Osnovna svojstva zidanih elemenata su njihova tlačna čvrstoća i trajnost. Do sada je bilo uobičajeno da se zidani element naziva po svojoj tlačnoj čvrstoći. No uz tu čvrstoću treba uzeti u obzir oblik elementa, tj. njegovu visinu i širinu, jer nije svejedno kakve je veličine element niti kako je ugrađen u zid. Manja visina uzrokuje veći broj horizontalnih sljubnica morta. Zato prelazimo na tzv. normaliziranu tlačnu čvrstoću zidanog elementa f_b .

Normalizirana tlačna čvrstoća je tlačna čvrstoća zidnog elementa prevedena na tlačnu čvrstoću na zraku sušenog zidnog elementa širine 100mm i visine 100 mm (duljina zidnog elementa nije mjerodavna). Da bi se odredila normalizirana tlačna čvrstoća, tlačna čvrstoća zidnih elemenata koji su bili sušeni na zraku pomnoži se koeficijentom δ prikazanim u Tablici 1.3, a ovisi o širini i visini zidnog elementa. Vrijednosti iz tablice mogu se linearno interpolirati. Srednja tlačna čvrstoća dobivena eksperimentalno (uzorci 12 sati uronjeni u vodu), pretvara se u normaliziranu tlačnu čvrstoću za suhe zidne blokove množenjem s koeficijentom; 1.10 za blokove od pečene gline, odnosno 1.20 za ostale blokove. Zatim se dobivene vrijednosti množe s faktorom oblika.

Tablica 1.3:Vrijednosti faktora oblika

| Visina zidnog elementa (mm) | Najmanja horizontalna dimenzija zidnog elementa (mm) | | | | |
|-----------------------------|--|------|------|------|------------|
| | 50 | 100 | 150 | 200 | ≥ 250 |
| 50 | 0,85 | 0,75 | 0,70 | - | - |
| 65 | 0,95 | 0,85 | 0,75 | 0,70 | 0,65 |
| 100 | 1,15 | 1,00 | 0,90 | 0,80 | 0,75 |
| 150 | 1,30 | 1,20 | 1,10 | 1,00 | 0,95 |
| 200 | 1,45 | 1,35 | 1,25 | 1,15 | 1,10 |
| ≥ 250 | 1,55 | 1,45 | 1,35 | 1,25 | 1,15 |

Zidani elementi trebaju imati srednju tlačnu čvrstoću na tlak okomito na naliježuću ploštinu (vertikalno) barem 2.5 N/mm^2 . U horizontalnom smjeru tlačna čvrstoća mora biti barem 2.0 N/mm^2 . U seizmičkim područjima tlačna čvrstoća zidanih elemenata trebala bi iznositi najmanje:

- okomito na horizontalnu sljubnicu morta $f_{b,min}=4.0 \text{ N/mm}^2$
- paralelno horizontalno sljubnici morta u ravnini zida $f_{bh,min}=2.0 \text{ N/mm}^2$

Za odabranu blok opiku u proračunu, vrijednost tlačne čvrstoće okomito na horizontalnu sljubnicu iznosi 10 N/mm^2 , a okomito na vertikalnu sljubnicu iznosi $2,5 \text{ N/mm}^2$ (Tablica 1.2).

1.1.3 Mort

Mort je vezivni materijal koji se sastoji od mješavine anorganskog veziva, agregata i vode, a može sadržavati i dodatke za povećanje čvrstoće, vodonepropusnosti...

Koristi se za povezivanje zidanih elemenata, odnosno služi za ostvarivanje čvrstoće ziđa. Vrsta morta ovisi o njegovom sastavu. Prilikom gradnje omogućava izravnavanje geometrijskih odstupanja blokova i njihovo međusobno vezanje te ravnomernu raspodjelu tlačnih naponi.

Glavni sastojci morta:

- vezivo (hidratizirano vapno, hidrauličko vapno, cement)
- agregat (pijesak ili neki drugi materijal određen prema normi)
- voda (ne smije sadržavati štetne tvari)

Kemijski dodaci mortu koji služe za njegovu modifikaciju razvrstani su prema svojem ponašanju, npr.:

- dodaci koji plastificiraju mort
- dodaci koji čine mort nepropusnim za vodu
- dodaci koji sprječavaju vezivanje tvornički izmiješanog suhog morta

Prilikom korištenja kemijskih dodataka u mortu, potrebno je osigurati primjereno nadzor pri izvedbi i uporabi morta. Osnovni uvjet je da kemijski dodaci ne pogoršaju svojstva morta ispod neprihvatljive granice, te da pri njihovom korištenju utvrdimo je li ugrožena nosivost, trajnost ili nepropusnost ziđa

U gradnji se može rabiti jedna od sljedećih vrsta mortova:

- **cementni mort;** mort spravljen od određenih omjera cementa i pjeska zajedno sa plastifikatorima ako je to opravdano.
 - **cementno-vapneni mort;** mješavina određene količine cementa, vapna i pjeska. Za tu vrstu morta kod nas se uvriježio izraz „produženi mort“ (najčešće se upotrebljava).
 - **hidraulični vapneni mort;** mješavina određene količine hidratiziranog vapna i pjeska
 - **tankoslojni mort;** unaprijed pripremljeni cementni mort s maksimalnim zrnom pjeska od 1.0 mm i s kemijskim dodacima. Debljina ovog morta u horizontalnim sljubnicama je od 1 do 3 mm.
 - **unaprijed pripremljeni mort;** dopremljen na gradilište u suhom stanju u vrećama ili već pripremljen za uporabu, ali s usporivačem vezanja.
 - **tankoslojni mort;** unaprijed pripremljeni cementni mort s maksimalnim zrnom pjeska do 1,0 mm i s kemijskim dodacima. Debljina morta u horizontalnim sljubnicama je od 1 do 3 mm

- **lakoagregatni mort;** mort spravljen od lakog agregata čija je gustoća obično manja od 1000 kg/m^3 . Agregat može biti: perlit, ekspandirana glina, plovućac i slično.

Mort se klasificira prema svojoj proračunskoj tlačnoj čvrstoći, a označava se slovom M nakon kojeg slijedi broj koji predstavlja tlačnu čvrstoću u N/mm^2 . U većini propisa u svijetu odnos komponenata morta se određuje volumenski, odnosno sastavi morta dani su u volumenskim omjerima. No ističe se da su omjeri po težini (masi) svakako točniji nego volumenski odnosi i trebaj se upotrebljavati. To se postiže tako da se, poznavajući volumensku težinu koja se izmjeri na gradilištu, iz volumenskih omjera izračunaju težinski (*Tablica 1.4.*).

Tablica 1.4: Volumenski sastav morta

| Vrste mortova | Minimalna tlačna čvrstoća nakon 28 dana (N/mm^2) | Približni sastav | | |
|---------------|---|-----------------------------|---------------------------------|--------------------|
| | | cement | hidratizirano vapno | pijesak |
| M20 | 20 | treba odrediti ispitivanjem | | |
| M15 | 15 | 1 | 0-1/4 | 3 |
| M10 | 10 | 1 | $\frac{1}{4}$ - $\frac{1}{2}$ | $4 - 4\frac{1}{4}$ |
| M5 | 5 | 1 | $\frac{1}{2}$ - $1\frac{1}{4}$ | 5-6 |
| M2,5 | 2,5 | 1 | $1\frac{1}{4}$ - $2\frac{1}{2}$ | 8-9 |
| M1 | 1 | 1 | nije definirano | >9 |

U slučaju kad je tlačna čvrstoća manja ili značajno veća nego ona dana u *Tablici 1.4.*, dopušteno je da se mijenjaju omjeri (proporcije) cementa, vapna i pjeska, kako bi se postigla zahtijevana čvrstoća. Mort promijenjenim sastavom može se upotrebljavati ako je njegova ispravnost dokazana ispitivanjem. Laboratorijska ispitivanja takvih mješavina trebaju dati čvrstoću na tlak najmanje 20% veću od one iz *Tablice 1.4.*, ali i druga svojstva kao što su prionjivost i trajnost mogu biti također važne. U *Tablici 1.4.* kao najslabiji mort dopušten u nearmiranom zidu je onaj s oznakom M1, dok je M5 najslabiji mort za armirano ili prednapeto zide. Tankoslojni mortovi moraju biti najmanje oni oznake M5, a isto pravilo se odnosi i na lakoagregatni mort.

Povećanje trajnosti biti će dosegnuto s čvršćim mortovima koji sadrže više cementa, ali će tada biti veća tendencija nastajanja pukotina u zidanim konstrukcijama. Povećanje sposobnosti dase prilagodi pomacima postići će se uporabom slabijih mortova koji sadrže

manje cementa i više vapna. Povećana otpornost na mraz dobiva se uporabom morta s dodatkom plastifikatora, dok se tim istim dodatkom smanjuje čvrstoća prianjanja i otpornost na penetraciju kiše.

Ako se želi rabiti mort koji sadrži kemijske dodatke, kao npr. plastifikatore, usporivače ili agregat koji nije prirodni pijesak, treba ispitivanjem provjeriti da prionjivost između takvog morta i zidanog elementa nije manja od one koja bi se postigla rabeći mort bez tih dodataka.

- ❖ U predmetnoj konstrukciji odabran je mort M10 ($f_m=10,0 \text{ MPa}$).

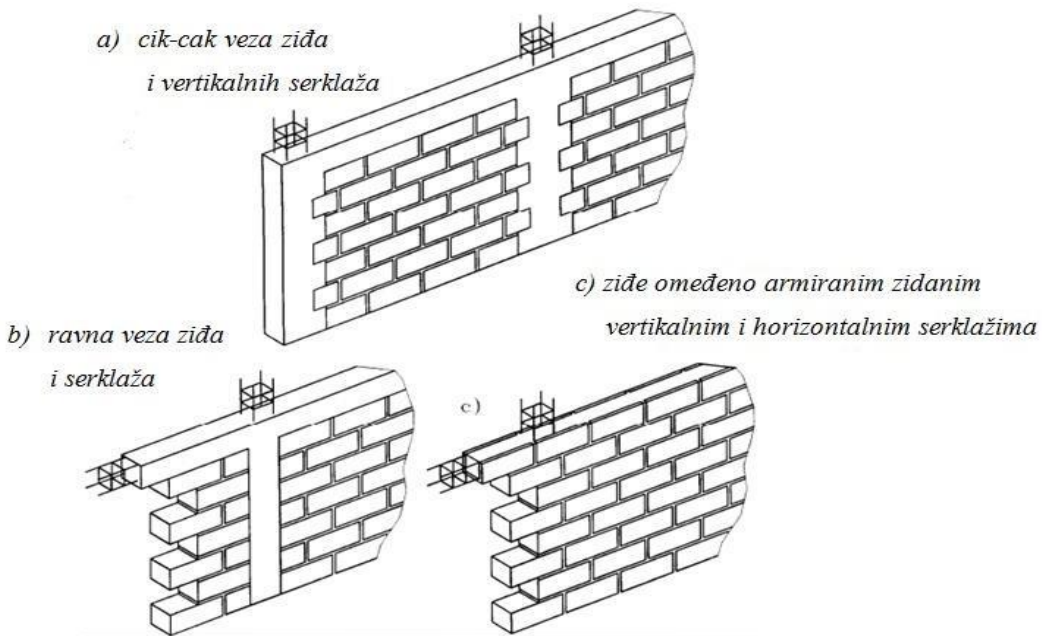
1.2. Vrste ziđa

1.2.1 Nearmirano ziđe

Nearmirano ziđe kod kojega slom nastupa posmikom ponaša se kao krhki konstrukcijski element ograničene mogućnosti apsorpcije energije. Samo jedna dijagonalna pukotina može uzrokovati ubrzani krhki slom. Zbog navedenih razloga rjeđe se koristi za složene konstrukcijske zahvate.

1.2.2 Omeđeno ziđe

Omeđeno ziđe jest ono koje se nakon zidanja omeđuje armiranobetonskim vertikalnim i horizontalnim serklažima. Time se postiže: bolja (cik-cak) povezanost ziđa i betona vertikalnih serklaža, ostavlja vremena mortu u zidu da se osuši, te da se dogodi veći dio deformacija zbog sakupljanja. Na slici 1.6. prikazane su skice triju tipova omeđenog ziđa. Vertikalni i horizontalni serklaži nemaju učinak okvirne konstrukcije nego zajedno sa ziđem čine nosivu konstrukciju. Oni su najčešće iste ili manje debljine od debljine ziđa, a nekada se njihova prisutnost u ziđu ne vidi jer su skriveni u šupljine zidnih elemenata. Omeđeno ziđe preuzima vertikalna opterećenja od gornjih katova zgrade, dok serklaži znatno doprinose duktilnom ponašanju ziđa.



Slika 1.6: Primjeri omeđenog zida

Okviri ispunjeni ziđem sastoje se od armiranobetonskih ili čeličnih okvira koji se naknadno ispunjavaju ziđem. Ziđe im povećava krutost i nosivost na horizontalno opterećenje. Građevine izvedene od okvira sa zidanom ispunom pružaju veći otpor horizontalnim silama nego zidane građevine bez okvira ili okvirne konstrukcije bez ispune. Tako izведен konstrukcijski element, osim što ima veću krutost, ima i veće svojstvo apsorpcije (primanja) i disipacije (trošenja) energije seizmičkih sila. No, zbog veće krutosti, okvir ispunjen ziđem preuzima i veće seizmičke sile.

Za razliku od omeđenog zida, stupovi i grede okvira ispunjenog ziđem najčešće su debljine veće od debljine zida ispune. Ispunsko ziđe okvira nosi samo svoju vlastitu težinu, a vertikalna opterećenja gornjih katova preuzimaju grede i stupovi okvira.

Mogućnost korištenja ispune za ojačanje armiranobetonskih i čeličnih okvira ograničava se propisima zbog nedostatka sigurnih i pouzdnih podataka o ponašanju takvih okvira te nosivosti i krutosti, što je navelo mnoge istraživače da teoretski i eksperimentalno istraže takve konstrukcije.

Mnoga istraživanja su pokazala:

- nosivost ispunjenog okvira je dvostruko veća od one usporednog armiranobetonskog okvira bez ispune,
- krutost ispunjenog okvira je za uporabno opterećenje je 2,7 puta veća od isto takvog okvira bez ispune,
- početna krutost ispunjenog okvira je 5 puta veća od usporednog,
 - usporedni armirano-betonski okvir pokazuje 3,3 puta veću kumulativnu duktilnost (suma svih duktilnosti prethodnih ciklusa) od ispunjenog okvira,
 - ukupno trošenje seizmičke energije ispunjenog okvira je 1.5 puta veća od usporednog okvira
 - tijekom cikličkog naizmjeničnog opterećenja ispunjenog okvira dolazi do raspadanja ispune, što potvrđuje pretpostavku da se takve konstrukcije ponašaju kao cjelina, te da zid sudjeluje u nošenju.

Nosivost ovih zidova ovisi o nizu čimbenika kao što su: dimenzije, kakvoća betona i armature okvira, kakvoća i vrsta zidnih elemenata i morta, kakvoća zidanja, povezivanje zida ispune i okvira itd.

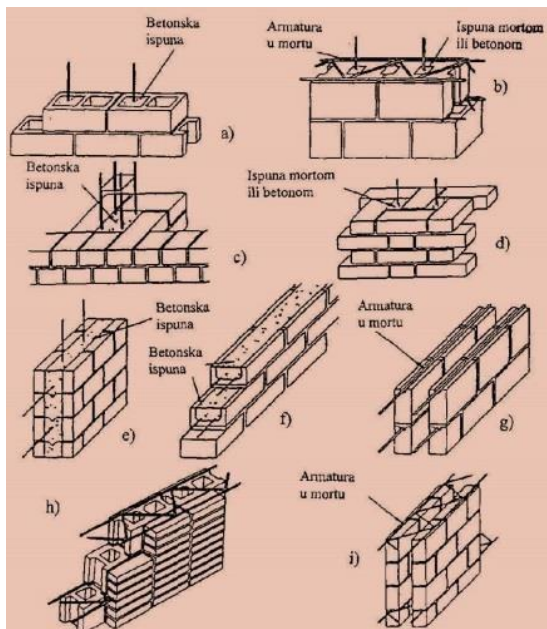
1.2.3 Armirano zide

Opća pravila, odnosno mehanička svojstva gradiva, te nosivost na vertikalno opterećenje na zidane konstrukcije vrijede podjednako za armirano i nearmirano zide.

Armaturom u zidu povećavamo duktilnost (žilavost) što omogućuje bolje ponašanje konstrukcije pri raznim opterećenjima. U slučaju djelovanja velikih horizontalnih sila od potresa nearmirano zide često nije dovoljno otporno na velika posmična i vlačna naprezanja koja tada nastaju u zidovima. Armirano zide ima puno bolju otpornost na posmična i vlačna naprezanja od horizontalnih sila.

Zid se može armirati i horizontalnom i vertikalnom armaturom, no u nekim slučajevima bit će dovoljna samo horizontalna armatura. Armatura u zidovima mora biti dobro usidrena te se obično postavlja u mortu u horizontalnim sljubnicama. Armatura se najčešće izvodi od tanjih profila čelika (žice), pojedinačnih ili spojenih u obliku horizontalne rešetke ili „ljestvi“ te u raznim oblicima mreža. Kod zidnih elemenata koji imaju veće vertikalne šupljine ili su takvi da oblikuju horizontalni žlijeb u zidu, moguće je postaviti armaturu u takve šupljine, tj. žljbove.

Kod duljih zidova treba voditi računa o povezanosti armatura u uzdužnom smjeru preklopom ili zavarivanjem. Vertikalne šupljine pogodne su za postavljanje vertikalne armature ali je potrebno voditi računa i o fizikalnim zahtjevima, odnosno prolasku topline.



Slika 1.7: Primjeri armiranog zida

1.3. Mehanička svojstva zida

1.3.1 Tlačna čvrstoća zida (f_k)

Ziđe opterećeno u jednoosnom tlaku postiže slom uglavnom razvojem vlačnih pukotina paralelnih pravcu djelovanja opterećenja, koja su kao rezultat vlačnih naprezanja okomita na glavna tlačna naprezanja. Čvrstoća zida u tlaku je manja nego nominalna tlačna čvrstoća bloka, od kojeg je ziđe izvedeno. S druge strane, čvrstoća zida može značajno prekoračiti slomnu čvrstoću kocke morta.

Opća svojstva:

- (a) sekundarno vlačno naprezanje, koje prouzrokuje pukotinski slom zida, posljedica je spriječenih deformacija morta u sljubnicama zida;
- (b) prividna tlačna čvrstoća bloka u standardnim ispitivanjima na tlak nije prava mjera čvrstoće bloka u zidu, jer je način sloma različit;
- (c) mort može podnijeti povećana tlačna naprezanja u fugama zbog višeosnog stanja naprezanja.

Karakteristična tlačna čvrstoća zida, f_k , može biti određena ili iz granične čvrstoće zida visine kata ispitanih do sloma ili iz tlačne čvrstoće manjih uzoraka zida. Rabe se materijali, zidanje i vez onako kako se oni primjenjuju i u praksi. Zapiše se količina vlage zidnog elementa u vrijeme polaganja u sloj morta. Odredi se normalizirana tlačna čvrstoća f_b , zidnog elementa. Ako se čvrstoća zidnog elementa s vremenom mijenja, njihova tlačna čvrstoća ispitivat će se kad se ispituje i ziđe. Rabi se mort koji treba pripremiti tako da mu se sastojci vežu, a odrede se na osnovi volumnih omjera suhog materijala koji odgovaraju određenoj vrsti morta. Ako se, kako je to uobičajeno, rabi vlažan pijesak, treba uzeti u obzir količinu vlage. Rabe se najmanje 3 uzorka, visina uzorka zida treba biti barem tri puta veća od njegove širine, pet puta veća od visine zidanog elementa i veća od duljine uzorka. Zidovi se ispituju ili nakon 7 ili 28 dana starosti, ili kada je postignuta neka određena čvrstoća morta. Uzorak se postavi centrično da se uzdužna os uzorka i uzdužna os stroja za ispitivanje poklope. Opterećenje se nanosi jednoliko po cijeloj površini na vrhu i na dnu zida. Ono se neprekidno povećava tako da se slom dosegne nakon 15 do 30 minuta. S pomoću četiri elektronska uređaja, ekstenzometra, mjere se deformacije uzorka u vertikalnom smjeru. Ekstenzometri se postave po dva na svaku plohu zida, a kao relativna deformacija uzorka uzima se srednja vrijednost od sva četiri očitanja. Potrebno je izdvojiti vrijednosti izmjerene relativne deformacije, $\varepsilon_{1/3}$, pri sili jednakoj trećini maksimalne.

Karakteristična tlačna čvrstoća ziđa se određuje prema rezultatima ispitivanja u skladu s EN 1052-1, koji su provedeni za dati projekt ili su dostupni iz ranije provedenih ispitivanja. Rezultati su prikazani u tablici ili preko jednadžbe:

$$f_k = K \times f_b^{0,65} \times f_m^{0,25}$$

gdje je:

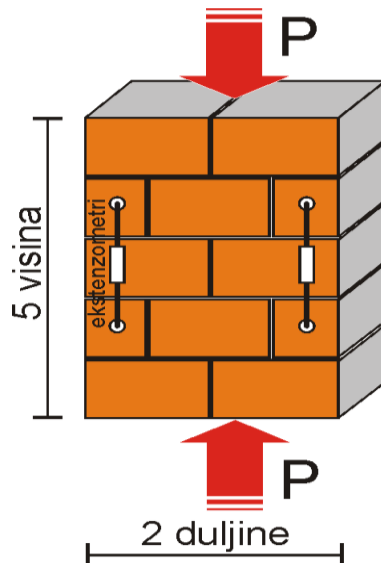
f_k karakteristična tlačna čvrstoća ziđa u N/mm^2

K konstanta

α, β konstante

f_b normalizirana srednja tlačna čvrstoća zidnog elementa u smjeru okomito na horizontalnu sljubnicu

f_m tlačna čvrstoća morta u N/mm^2



Slika 1.8: Ispitanje tlačne čvrstoće zida

Tlačna čvrstoća je jedno aksijalno opterećenje probnog uzorka (kocke ili valjka) po jedinici površine, kod kojeg nastaje razorna deformacija i njegov lom. Veza između karakteristične tlačne čvrstoće ziđa, f_k , i normalizirane srednje tlačne čvrstoće zidnog elementa, f_b , i morta čvrstoće, f_m , se definira prema:

Za ziđe zidano mortom opće namjene i laganim mortom

$$f_k = K \cdot f_b^{0,7} \cdot f_m^{0,3}$$

Za zidje zidano tankoslojnim mortom, debljine horizontalnih sljubnica 0,5 do 3,0 mm, glinenim zidnim elementima grupe 1 i 4, kalcijsko silikatnim, betonskim, aeriranim i autoklaviranim zidnim elementima.

$$f_k = K \cdot f_b^{0,85}$$

Za zidje zidano tankoslojnim mortom, debljine horizontalnih sljubnica 0,5 do 3,0 mm, glinenim zidnim elementima grupe 2 i 3.

gdje je:

$$f_k = K \cdot f_b^{0,7}$$

f_b normalizirana tlačna čvrstoća zidnog elementa (N / mm) f_m nazivna tlačna čvrstoća morta (N / mm)

Uz zadovoljavanje sljedećih pretpostavki:

f_b se ne uzima veća od 75 N/mm^2 kada se zidni elementi postavljaju u mort opće namjene.

f_b se ne uzima veća od 50 N/mm^2 kada se zidni elementi postavljaju u tankoslojni mort.

f_m se ne uzima veća od 20 N/mm^2 ili od $2f_b$ kada se zidni elementi postavljaju u tankoslojni

f_m se ne uzima veća od 10 N/mm^2 kada se zidni elementi postavljaju u tankoslojni mort.

Debljina zida je jednaka širini ili duljini zidnog elementa tako da nema uzdužne vertikalne sljubnice morta kroz cijeli zid ili jedan dio duljine zida.

Koeficijent varijacije čvrstoće zidnih elemenata nije veći od 25%.

U slučaju kada je djelovanje paralelno smjeru pružanja horizontalnih sljubnica, karakteristična tlačna čvrstoća se može odrediti korištenjem prethodnih jednadžbi koristeći normaliziranu tlačnu čvrstoću zidnog elementa, f_b , dobivenu ispitivanjem gdje je smjer djelovanja opterećenja jednak smjeru djelovanja opterećenja na zidu, uzimajući u obzir faktor δ , koji nije veći od 1,0. Za zidne elemente grupe 1 i 2 konstanta K treba biti pomnožena s 0,5 (*Tablica 1.5.*).

Tablica 1.5: Konstanta K za mort opće namjene, tankoslojni mort i lagani mort

| Zidni element | Mort opće namjene | Tankoslojni mort (horizontalne sljubnice debljine $\geq 0,5$ mm i $\leq 3,0$ mm) | Lagani mort gustoće | |
|-----------------------------------|-------------------|---|--|---|
| | | | $600 \leq \rho_d \leq 800$ kg/m ³ | $800 \leq \rho_d \leq 1300$ kg/m ³ |
| Glineni | Grupa 1 | 0,55 | 0,75 | 0,30 |
| | Grupa 2 | 0,45 | 0,70 | 0,25 |
| | Grupa 3 | 0,35 | 0,50 | 0,20 |
| | Grupa 4 | 0,35 | 0,35 | 0,20 |
| Calcijsko-silikatni | Grupa 1 | 0,55 | 0,80 | † |
| | Grupa 2 | 0,45 | 0,65 | † |
| Betonски | Grupa 1 | 0,55 | 0,80 | 0,45 |
| | Grupa 2 | 0,45 | 0,65 | 0,45 |
| | Grupa 3 | 0,40 | 0,50 | † |
| | Grupa 4 | 0,35 | † | † |
| Porasti (autoklavirani, aerirani) | Grupa 1 | 0,55 | 0,80 | 0,45 |
| Obični kameni | Grupa 1 | 0,45 | 0,75 | † |
| Prirodni kameni | Grupa 1 | 0,45 | † | † |

† Kombinacija zidnog elementa i morta nije uobičajena, vrijednost nije dana

Za predmetnu konstrukciju karakteristična tlačna čvrstoća ziđa iznosi:

$$f_k = K \cdot f^{0,7} \cdot f^{0,3} = 0,45 \cdot 11,5^{0,65} \cdot 10^{0,25} = 4,96 \text{ N/mm}^2$$

1.3.2 Posmična čvrstoća ziđa

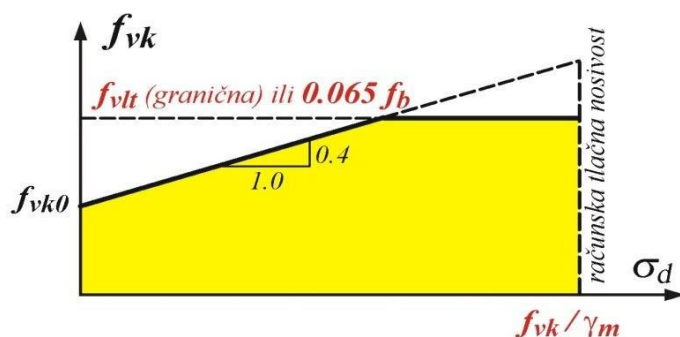
Zidane konstrukcije su često podvrgnute posmičnom djelovanju, istovremeno s tlačnim opterećenjem. Poznato je da posmična čvrstoća pada s povećanjem visine zida, dok raste s porastom debljine. Također, dokazano je da stupanj zasićenosti vodom punih glinenih blokova za vrijeme zidanja ima utjecaj na početnu posmičnu čvrstoću, čvrstoća je vrlo mala i promjenljiva ovisno o tome je li opeka zasićena vodom ili je suha. Slom zidnih panela uslijed posmika je uglavnom u dijagonalnom vlaku. Pri malom predtlačnom naprezanju, razvijaju se stepenaste pukotine uglavnom duž fuga, približno pod kutom od 45° , a mjestimično odstupaju od tog pravca. Ako se predtlačno naprezanje poveća, glavna vlačna naprezanja

prouzrokuju slom pod većim kutom u odnosu na horizontalnu ravninu, te pukotine prolaze vertikalno kroz fuge. Predloženo je da se za kriterij sloma uzme kritična vrijednost glavnih vlačnih naprezanja. Pojava prve pukotine u ziđu je u suglasju s ovim kriterijem, ali vrijednost glavnog vlačnog naprezanja pri slomu nastupa tek pri povećanju predtlačnog naprezanja.

Karakteristična posmična čvrstoća nearmiranog ziđa zidanog mortom opće namjene, tankoslojnim mortom debljine sljubnica 0,5 do 3,0 mm ili lakog morta se može odrediti ispitivanjem ili prema izrazu:

$$f_{vk} = f_{vk0} + 0,4\sigma_d$$

ali ne više od $0,065f_b$ ili f_{vlt}



Slika 1.9: Ovisnost posmične čvrstoće i tlačnog naprezanja

gdje su:

f_{vk0} karakteristična posmična čvrstoća, pri nultom tlačnom naprezanju

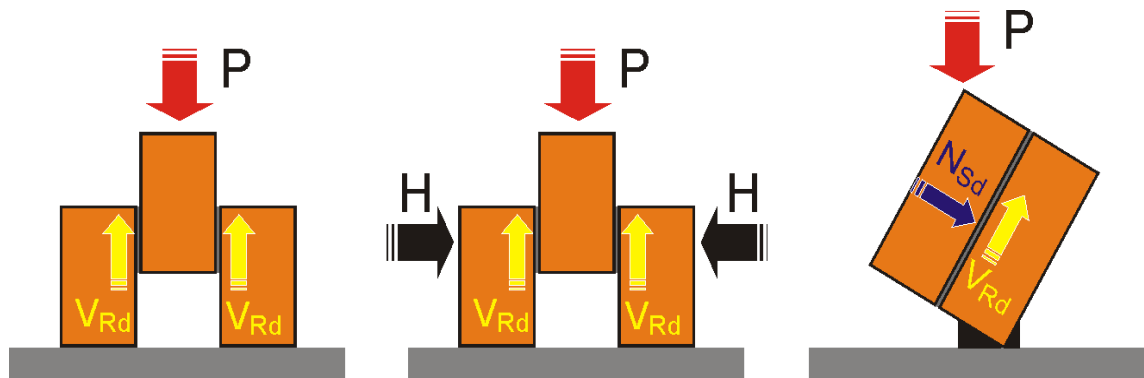
f_{vlt} limitirajuća vrijednost od f_{vk}

σ_d proračunsko tlačno naprezanje okomito na posmik u elementu na razini na kojoj se promatra, uzimajući u obzir odgovarajuću kombinaciju opterećenja koja se bazira na jednolikoj raspodjeli naprezanja u tlačnom dijelu zida koji pruža posmičnu nosivost.

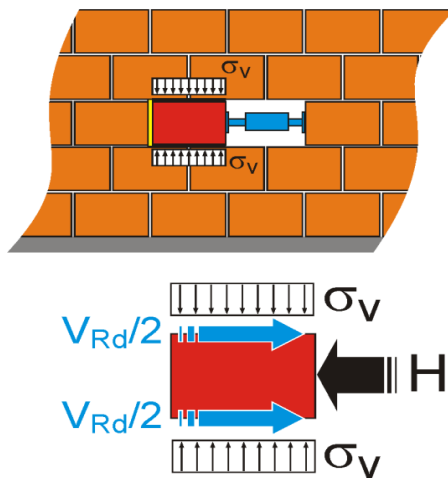
f_b normalizirana tlačna čvrstoća zidnih elemenata za smjer djelovanja opterećenja na ispitane uzorke, okomito na naliježuću površinu.

Eksperimentalno određivanje posmične čvrstoće, f_{vk} , vrši se na uzorcima (Slika 1.10.)

- a) bez normalnog naprezanja
- b) dodavanjem normalnog naprezanja
- c) uvijek prisutnim tlačnim naprezanjem



Slika 1.10: Ispitivanje posmične čvrstoće zida



Slika 1.11: Ispitivanje posmične čvrstoće zida – in situ

Karakteristična posmična čvrstoća nearmiranog ziđa zidanog mortom opće namjene, tankoslojnim mortom debljine sljubnica 0,5 do 3,0 mm ili lakog morta uz uvjet da vertikalne sljubnica nisu ispunjene mortom, ali su sa susjednim plohamama zidnih elemenata postavljene jedna uz drugu, definirana je izrazom:

$$f_{vk} = 0,5 f_{vko} + 0,4 \sigma_d$$

ali ne više od $0,045 f_b$ ili f_{vlt}

Početna posmična čvrstoća ziđa, f_{vko} , može biti određena ispitivanjem ili na osnovu vrijednosti danih u Tablici 1.6.

Tablica 1.6: Vrijednosti početne posmične čvrstoće f_{vk0}

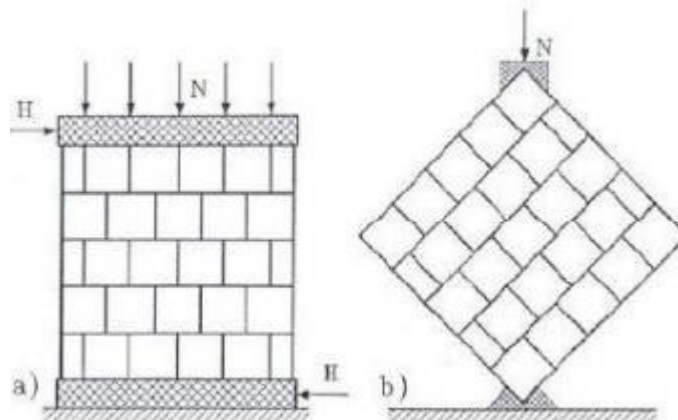
| Zidni element | f _{vk0} (N/mm ²) | | Tankoslojni mort (debljine horizontalnih sljubnica $\geq 0,5$ mm i $\leq 3,0$ mm) | Lagani mort |
|--|---------------------------------------|------|--|-------------|
| | Mort opće namjene | | | |
| Glina | M10 – M20 | 0,30 | 0,30 | 0,15 |
| | M2,5 – M9 | 0,20 | | |
| | M1 – M2 | 0,10 | | |
| Calcijsko- silikatni | M10 – M20 | 0,20 | 0,40 | 0,15 |
| | M2,5 – M9 | 0,15 | | |
| | M1 – M2 | 0,10 | | |
| BetonSKI | M10 – M20 | 0,20 | 0,30 | 0,15 |
| Porasti (autoklavirani aerirani) | M2,5 – M9 | 0,15 | | |
| Kameni | M1 – M2 | 0,10 | | |

1.3.3 Vlačna čvrstoća zida

Referentna vlačna čvrstoća ziđa je ona kod koje dolazi do vlačnog otkazivanja kad je zid opterećen istodobno vertikalnim i horizontalnim opterećenjem. Vertikalno je opterećenje stalno prisutno, a horizontalno je povremeno, uzrokovano vjetrom ili potresom.

Referentnu vlačnu čvrstoću može se odrediti ispitivanjem zida opterećenog nepromjenljivim vertikalnim opterećenjem, silom N, i postupno rastućom horizontalnom silom H do dijagonalnog sloma (Slika 1.12..) ili pomoću propisanih tablica.

Vlačna čvrstoća ziđa zidanog sa standardnim mortom (cement/vapno/pijesak) je relativno mala i promjenljiva. Vlačna čvrstoća ziđa može se povećati zbog ravninskog savijanja ili savijanja van ravnine ziđa. U slučaju ravninskog savijanja, vlačna čvrstoća ovisi o adheziji bloka i morta. Stvaranje etringita, na dodiru gline i cementa, koje ovisi o odnosu promjera pora u bloku i veličini mikrokristala etringita, presudno je za vlačnu čvrstoću na kontaktu bloka i cementne paste. Za ostvarivanje mehaničke veze potrebna je veličina pora u bloku veća od 0.05 mm, te ispravno hidratizirani cement iza sloja etringita, usprkos povlačenju dijela vode zbog upijanja bloka. Ako je blok suh i ima visok kapacitet upijanja vode, postojat će djelomično hidratizirane zone u cementnoj pasti debljine nekoliko milimetara, te zbog toga smanjena mehanička čvrstoća. Zato treba naglasiti da je količina vlage u trenutku zidanja od velike važnosti pri određivanju vlačne čvrstoće veze bloka i morta.

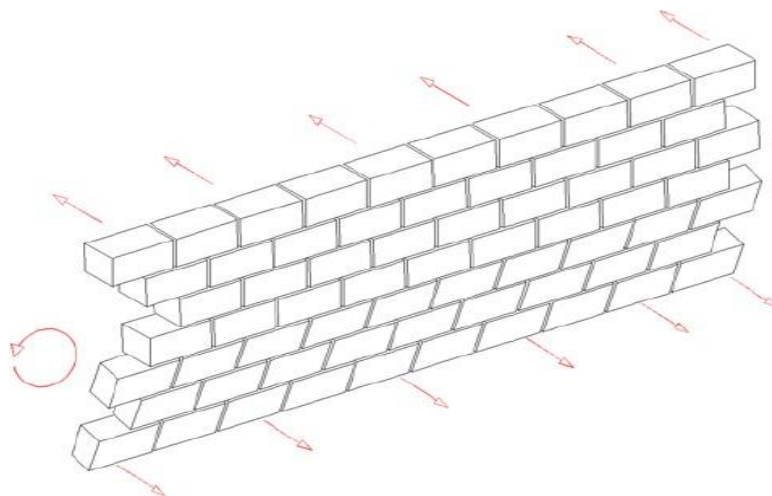


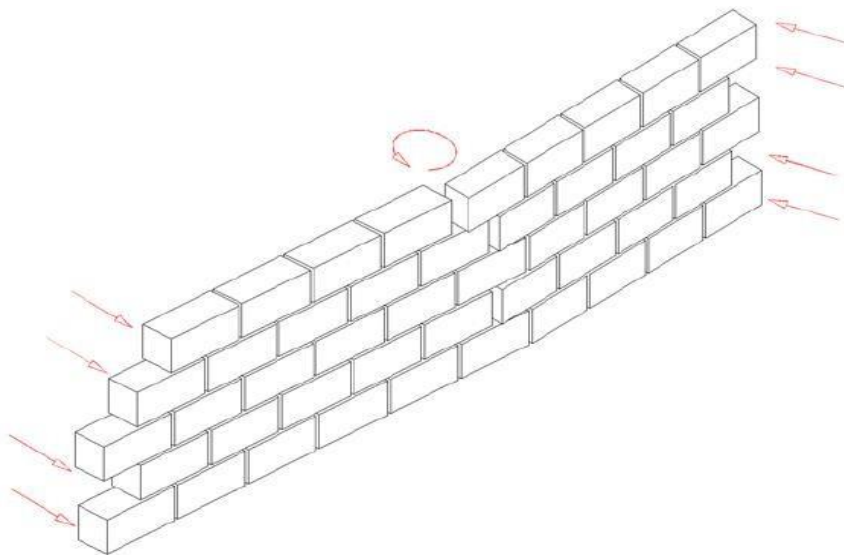
Slika 1.12: Ispitivanje vlačne čvrstoće zida

1.3.4 Savojna čvrstoća zida

Karakteristična čvrstoća na savijanje nearmiranog zida f_{xk} je ona čvrstoća ispod koje ne pada više od 5% rezultata.

U pogledu savijanja izvan ravnine ziđa promatraju se sljedeće situacije: čvrstoća na savijanje u slučaju kada je ravnina otkazivanja paralelna horizontalnim sljubnicama f_{xk1} (Slika 1.13) te čvrstoća na savijanje u slučaju kada je ravnina otkazivanja paralelna vertikalnim sljubnicama f_{xk2} (Slika 1.14.).

Slika 1.13: Ravnina otkazivanja paralelna horizontalnim sljubnicama, f_{xk1}



Slika 1.14: Ravnina otkazivanja okomita na horizontalne sljubnice, f_{xk2}

Karakteristične vrijednosti čvrstoća na savijanje f_{xk1} i f_{xk2} se određuju ispitivanjem. U slučaju kada ispitni podaci za ziđe izrađenih s mortom opće namjene, tankoslojnim i laganim mortom nisu dostupni, čvrstoća na savijanje se može uzeti iz Tablica 1.7. i 1.8., uz uvjet da su tankoslojni mort i lagani mort M5 ili više.

Tablica 1.7: Vrijednosti f_{xk1} , slomna ravnina paralelna horizontalnim sljubnicama

| Zidni element | f_{xk1} (N/mm ²) | | | |
|-------------------------|--------------------------------|-----------------------------|---------------|---------------|
| | Mort opće namjene | | koslojni mort | Lagani mort |
| | $f_m < 5 \text{ N/mm}^2$ | $f_m \geq 5 \text{ N/mm}^2$ | | |
| Glineni | 0,10 | 0,10 | 0,15 | 0,10 |
| Kalcijsko-silikatni | 0,05 | 0,10 | 0,20 | Ne koristi se |
| Betonski | 0,05 | 0,10 | 0,20 | Ne koristi se |
| Porasti | 0,05 | 0,10 | 0,15 | 0,10 |
| Industrijski kamen | 0,05 | 0,10 | Ne koristi se | Ne koristi se |
| Obrađeni prirodni kamen | 0,05 | 0,10 | 0,15 | Ne koristi se |

Tablica 1.8: Vrijednosti f_{xk2} , slomna ravnina okomita na horizontalne sljubnice

| Zidni element | f_{xk2} (N/mm ²) | | | |
|-------------------------|-----------------------------------|--------------------------------|---------------|---------------|
| | Mort opće namjene | | koslojni mort | Lagani mort |
| | $f_m < 5$ N/mm ² | $f_m \geq 5$ N/mm ² | | |
| Glineni | 0,20 | 0,40 | 0,15 | 0,10 |
| Kalcijsko-silikatni | 0,20 | 0,40 | 0,30 | Ne koristi se |
| Betonski | 0,20 | 0,40 | 0,30 | Ne koristi se |
| Porasti | $\rho < 400$ kg/m ³ | 0,20 | 0,20 | 0,15 |
| | $\rho \geq 400$ kg/m ³ | 0,20 | 0,40 | 0,30 |
| Industrijski kamen | 0,20 | 0,40 | Ne koristi se | Ne koristi se |
| Obrađeni prirodni kamen | 0,20 | 0,40 | 0,15 | Ne koristi se |

1.3.5 Deformacijska svojstva zida

Modul elastičnosti E

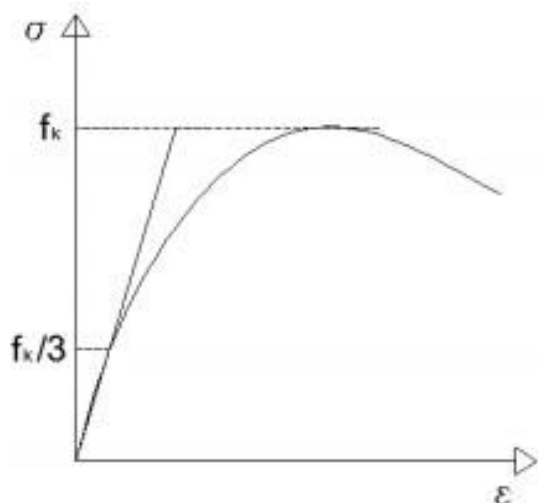
Modul elastičnosti u slučajevima kada se ne proučavaju dugotrajni efekti se određuje ispitivanjem. U nedostatku eksperimentalnih ispitivanja, sekantni modul elastičnosti pod opterećenjem (do 1/3 slomnog opterećenja, *Slika 1.15.*) za sve vrste ziđa uzima se kao:

$$E = K_E \cdot f_k$$

gdje je:

- K_E koeficijent čija je preporučena vrijednost 1000, osim ako nije posebno definirano u nacionalnom dodatku
- f_k karakteristična tlačna čvrstoća ziđa Modul elastičnosti za predmetnu konstrukciju iznosi:

$$E = K_E \cdot f_k = 1000 \cdot 4,94 = 4960 \text{ MPa}$$



Slika 1.15: Dijagram naprezanja-relativna deformacija

Modul posmika G

Modul posmika G uzima se kao 40 % vrijednosti modula elastičnosti E; $G = 0,4 E$

Pri proračunu na djelovanje potresa uzima se kao; $G = 0,167 E$

Modul posmika za predmetnu konstrukciju iznosi:

$$G = 0,4 \cdot E = 0,4 \cdot 4960 = 1984 \text{ MPa}$$

Za potresno djelovanje modul posmika iznosi:

$$G = 0,167 \cdot E = 0,167 \cdot 4960 = 828,23 \text{ Mpa}$$

2. Tehnički opis

2.1. Općenito

Predmet ovog Diplomskog rada je proračun stambene zgrade s konstruktivnim sustavom zidanih zidova. Predmetna građevina je stambena zgrada na četiri etaže, tlocrtno je približno pravokutna. Tlocrte dimenzije navedene konstrukcije su $L_x= 25,95$ m, $L_y=14,25$. Ukupna bruto površina kata građevine iznosi $369,8\text{ m}^2$.

Visina etaže je 3,20 m, dok je debljina ploče 0,17 m, što čini 12,8 m ukupne visine objekta mjereno od podne ploče prizemlja.

Nosivu konstrukciju čine vertikalni konstrukcijski elementi izrađeni od ziđa i armiranog betona u samoj jezgri konstrukcije, te horizontalni konstrukcijski elementi odnosno armirano- betonske međukatne ploče debljine 0,17m. Pokrov konstrukcije čini neprohodni ravni krov izведен od AB ploče također debljine 0,17m. Konstrukcija je ojačana vertikalnim i horizontalnim serklažima. Iznad vanjskih vrata i prozora postavljeni su nadvoji. Svi armirano betonski elementi, dakle vertikalni i horizontalni serklaži, nadvoji, ploče i jezgra, su izvedeni od betona klase C 25/30, armiranog čelikom za armiranje B500B.

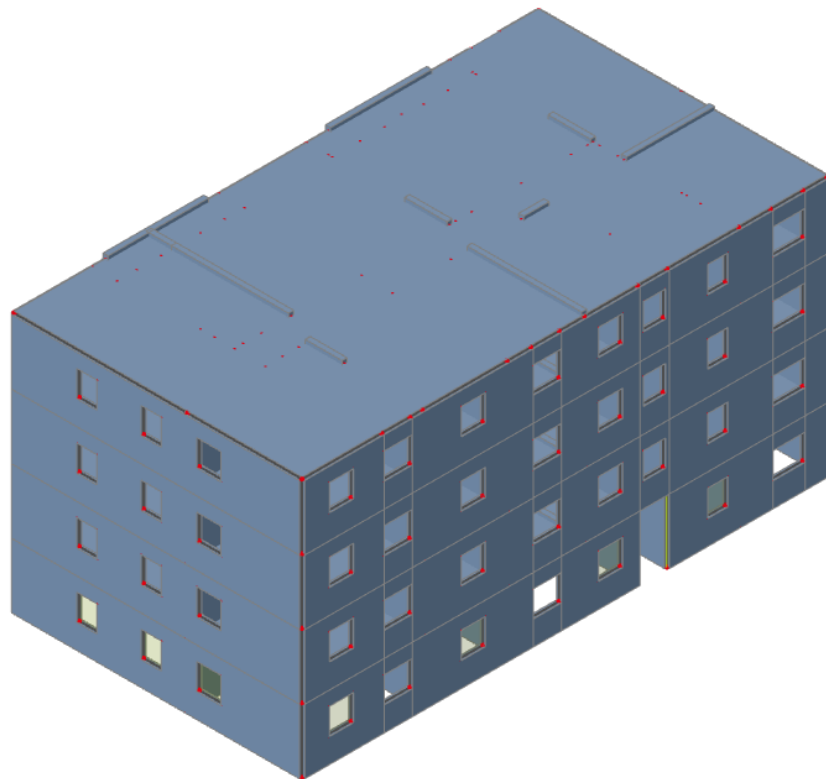
Konstrukcija temelja je armirano-betonska, a sastoji se od: temeljnih traka, nadtemeljnih zidova i podne ploče Svi elementi temelja izrađeni su od betona klase C30/37 i armirani čelikom za armiranje B500B.

Gravitacijska djelovanja se preko međukatnih ploča prenose na zidove te horizontalne i vertikalne serklaže – do temelja. Horizontalna djelovanja se dominantno preuzimaju po zidovima.

2.2. Proračunski modeli

Proračunski model je napravljen u računalnom programu Scia Engineer. Scia Engineer je integrirana platforma sa velikim izborom građevinskih materijala za strukturne analize i dizajna svih vrsta projekata. Cilj ove analize je bio provjeriti zadovoljava li model uvjete KGS i GSU.ho

U nastavku je dan opis modela i korištenih materijala u modelu.



Slika 2.1: Model zgrade izrađen u računalnom programu Scia Engineer

2.3. Konstruktivne pojedinosti

2.3.1 Temelji

Temeljenje je izvršeno na stjenovitom tlu tipa B. Temelji su trakasti, dimenzija 0,50 x 0,50 m te 0.80 x 0.50 m zbog uvjeta da kontaktna naprezanja ne premaše nosivost tla.

Nadtemeljni zid je dimenzija 0,30 x 0,70 m. Podna ploča je debljine 15 cm. Svi elementi temelja izrađeni su od betona klase C30/37 i armirani čelikom za armiranje B500B.

2.3.2 Zidovi

Nosivi zidovi izgrađeni su od blok opeke POROTHERM PROFI 25. To je brušena opeka koja je prirodni i ekološki prihvatljiv proizvod s odličnim toplinskim, seizmičkim i zvučnim svojstvima. Izrađena je od prirodnih materijala gline, pijeska i piljevine, a nakon eksploatacije može se u potpunosti reciklirati. Odlikuje se s mnoštvom karakteristika poput 50% bržom izgradnjom, 90% manjim utroškom morta u odnosu na klasičnu opeku, odličnim mehaničkim karakteristikama dobivenim ispitivanjima, brzim i ekonomičnim zidanjem, minimalnom upotrebo alata, uređaja i manjim utroškom žbuke.

Za zidanje rabljen je produžni mort marke M10 ($f_m=10,0 \text{ N/mm}^2$), kojemu odgovara sljedeći volumni sastav: cement : hidratizirano vapno : pijesak = $1 : (\frac{1}{4} - \frac{1}{2}) : (4 - 4\frac{1}{4})$

Obvezno je popunjavanje mortom horizontalnih i uspravnih sljubnica između zidnih blokova. Karakteristike bloka opeke prikazane su u tablici 2.1., a fizikalna svojstva su prikazana u tablici 2.2.

Tablica 2.1:Karakteristike blok opeke nosivih zidova

| | | | |
|----------------------------|---|--------------|--|
| Dimenzije | | 37,5x25x24,9 | cm |
| Debljina zida | d | 25 | cm |
| NF | | 12,00 | NF/kom |
| Masa | m | 18,5 | kg |
| Potrošnja opeke | | 10,5 | kom/m ² |
| Potrošnja opeke | | 42,7 | kom/m ³ |
| Utrošak tankoslojnog morta | | 2,5 // 10,0 | l/m ² // l/m ³ |
| Utrošak DRYFIX.extra | | 150 // 610 | ml/m ² // ml/m ³ |

Tablica 2.2:Fizikalna svojstva opeke

| | | | |
|---|-----------|---------|-------------------|
| Toplinska provodljivost, 10 dry unit | λ | 0,145 | W/mK |
| Bruto volumen | ρ | 700 | kg/m ³ |
| Specifični toplinski kapacitet | c | 920 | J/kgK |
| Faktor otpora difuziji vodene pare | μ | 5/10 | |
| Računska dozvoljena vlažnost | x_r | 2,6 | % |
| Maks. dozvoljena vlažnost | x_{max} | 5,4 | % |
| Računska debljina sloja kondenzirane vodne pare | | 0,05 | m |
| Razred raspona / Razred dopuštenih odstupanja | | T1+/R1+ | |
| Reakcija pri požaru | | A1 | |
| Otpornost na zamrzavanje | | F0 | |
| Sadržaj aktivnih topljivih soli | | S0 | |

Pregradni zidovi i zidovi ispune povezani su u smjeru okomitom na vlastitu ravninu s nosivim zidovima odnosno nosivim dijelovima konstrukcije, te stropnim dijelovima konstrukcije u skladu s proračunom zidane konstrukcije. Zidovi ukupno opterećenje prenose preko temelja u tlo.

2.3.3 Međukatna konstrukcija

Međukatna konstrukcija iznad etaže izvedena je kao a-b ploče debljine 17 cm, od betona C25/30 i armirana s B-500B. Horizontalni serklaži (b/h=25/25 cm) izvedeni su zajedno s pločom, od betona C25/30 i armirani čelikom za armiranje B500B.

2.3.4 Ostale konstrukcije

Pokrov konstrukcije čini ravni krov izведен od armirano-betonske ploče također debljine 17cm.

Vertikalni AB serklaži postavljeni su prema pravilima za zidane zgrade, uglavnom s dimenzijama 25x25 cm, a gdje je bilo potrebno izvedeni su serklaži većih dimenzija. Horizontalni AB serklaži su dimenzija 25x25 cm.

Horizontalni serklaži postavljeni su ispod međukatne konstrukcije (armirano-betonske ploče, dimenzija 25x25 cm. Iznad vrata i prozora postavljeni su nadvoji dimenzija 25x25 cm. Svi armirano betonski elementi, dakle vertikalni i horizontalni serklaži, nadvoji, ploče i jezgra, su izvedeni od betona klase C 25/30 i armirani čelikom za armiranje B500B.

3. Materijali

3.1. Zidni elementi

3.1.1 Blok opeka **POROTHERM 25 PROFI**

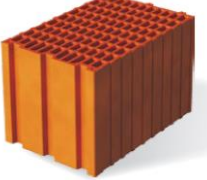
Materijalne karakteristike korištenog zidnog elemenata dane su u Tablici 2.1. i Tablici 2.2.

Opeka je prvi i najstariji umjetno proizvedeni građevinski materijal (umjetni kamen). Danas se masovno koristi u stanogradnji, ali i za izvedbu nekih većih građevina iz estetskih razloga.

Sirovina za proizvodnju opeke je zemljani materijal, danas prvenstveno glina. Glina ne smije biti premasna niti previše pjeskovita, mora biti bez soli i ostalih štetnih primjesa. Glinena masa se u ciglani istiskuje kroz kalupe i automatski se reže u komade predviđene duljine ili visine. Komadi se suše i pritom im se oduzima 10-20% vlage. Nakon toga se obavlja pečenje u kružnim ili tunelskim pećima na temperaturi od 900-1000 °C oko 24 h. Cijeli proces pečenja s pregrijavanjem i hlađenjem traje oko 1 dan

Tehničke karakteristike materijala prikazane su u Tablici 3.1.

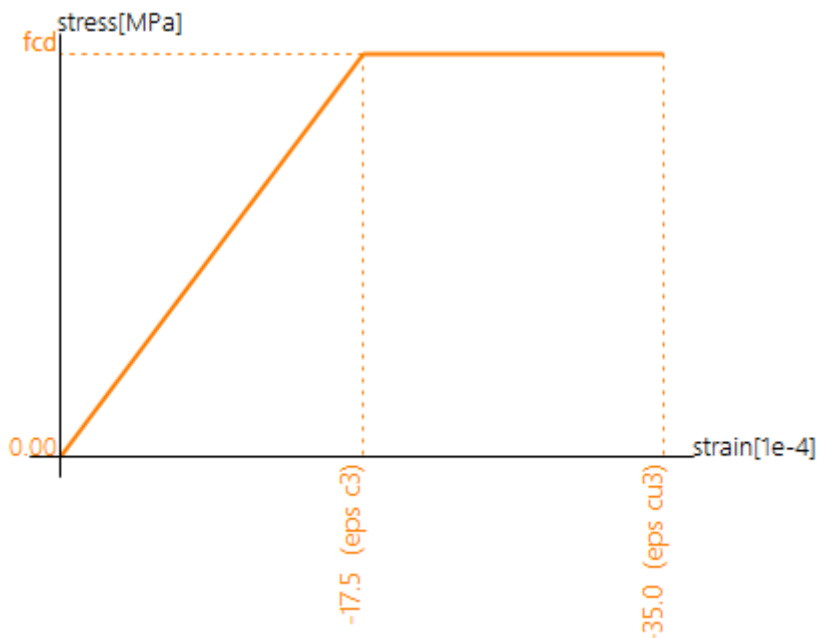
Tablica 3.1: Tehničke karakteristike materijala

| Naziv zidnog elementa | POROTHERM 25 PROFI | |
|---|-----------------------|--|
| Fotografija | |  |
| Dimenzije [cm] | 37,5×25×24,9 | |
| Masa cca. [kg/kom] | 18,5 | |
| Tlačna čvrstoća [N/mm ²] | 10 | |
| Potrošnja | [kom/m ²] | 10,5 |
| | [kom/m ³] | 42,7 |

3.1.2 Beton

Temelji I nadtemeljni zidovi izrađeni su od betona klase C30/37, dok su svi ostali elementi (horizontalni, vertikalni serklaži, nadvoji, međukatne ploče) izrađeni od betona klase C25/30.

Radni dijagram betona klase C25/30 prikazan je na slici 3.1. (Slika 3.1.):



Slika 3.1: Radni dijagram betona

Karakteristike betona klase C25/30;

- Karakteristična tlačna čvrstoća $f_{ck} = 25,0 \text{ Mpa}$
- Posmična čvrstoća $\tau_{Rd} = 0,30 \text{ Mpa}$
- Srednja vlačna čvrstoća $f_{ct,m} = 2,6 \text{ Mpa}$
- Modul elastičnosti $E = 30500 \text{ Mpa}$
- Modul posmika $G = 12200 \text{ Mpa}$

Karakteristike betona klase C30/37;

- Karakteristična tlačna čvrstoća $f_{ck} = 30,0 \text{ MPa}$
- Srednja vlačna čvrstoća $f_{ct,m} = 2,9 \text{ Mpa}$
- Modul elastičnosti $E = 33000 \text{ Mpa}$

3.1.3 Armatura

Svi AB elementi armirani su čelikom B500B. Radni dijagram čelika prikazan je na slici 3.2. (Slika 3.2.):

Parametri čelika za armiranje su:

- Karakteristična vlačna čvrstoća $f_yk = 500 \text{ MPa}$
- Modul elastičnosti $E = 210000 \text{ MPa}$



Slika 3.2: Radni dijagram čelika

4. Analiza opterećenja

Djelovanja se klasificiraju prema promjenljivosti tijekom vremena :

- stalna djelovanja G (vlastita težina, nepokretna oprema (dodatno stalno), pritisak tla, pritisak vode, prednapinjanje, slijeganje oslonaca, deformacije uslijed načina izgradnje konstrukcije)
- promjenljiva djelovanja Q (uporabno opterećenje, opterećenje snijegom i opterećenje vjetrom, djelovanje temperature, opterećenje ledom, promjena razine površine vode, opterećenje valovima)
- izvanredna djelovanja A (eksplozije, udar vozila, potres, požar, slijeganje i klizanje terena).

Stalna opterećenja su ona za koje se smatra da će vjerojatno djelovati na konstrukciju u cijelom vijeku trajanja, ili imati promjenu intenziteta ali su te promjene zanemarive u odnosu na srednju vrijednost.

Promjenjiva opterećenja su ona za koje je vjerojatno da će djelovati tijekom zadane proračunske situacije te da će imati promjenu intenziteta tijekom vremena.

Izvanredna opterećenja su općenito kratkog vremena trajanja, a vjerojatnost njihovog nastupanja u planiranom vijeku trajanja je mala.

4.1. Djelovanja na konstrukciju

Djelovanja se klasificiraju:

- stalna djelovanja G (vlastita težina, nepokretna oprema (dodatno stalno), pritisak tla, pritisak vode, prednapinjanje, slijeganje oslonaca, deformacije uslijed načina izgradnje konstrukcije)
- promjenljiva djelovanja Q (uporabno opterećenje, opterećenje snijegom i opterećenje vjetrom, djelovanje temperature, opterećenje ledom, promjena razine površine vode, opterećenje valovima)
- izvanredna djelovanja A (eksplozije, udar vozila, potres, požar, slijeganje i klizanje terena).

Stalna opterećenja su ona za koje se smatra da će vjerojatno djelovati na konstrukciju u cijelom vijeku trajanja, ili imati promjenu intenziteta ali su te promjene zanemarive u odnosu na srednju vrijednost.

Promjenjiva opterećenja su ona za koje je vjerojatno da će djelovati tijekom zadane proračunske situacije te da će imati promjenu intenziteta tijekom vremena.

Izvanredna opterećenja su općenito kratkog vremena trajanja, a vjerojatnost njihovog nastupanja u planiranom vijeku trajanja je mala.

4.1.1 Stalno djelovanje

- **Vlastita težina**

U računalnom modelu vlastita težina nosive konstrukcije, ploča, stupova, greda i nosivih zidova zadana je automatski.

- **Dodatno stalno opterećenje**

a) Krovna ploča

| | |
|---|-------------------------------|
| završni sloj poda, izolacije, instalacije, žbuka: | 0,5kN/m ² |
| a-c estrih, d=4 cm: | 1,0 kN/m ² |
| | ukupno: 1,5 kN/m ² |

b) Međukatne ploče

| | |
|---|--------------------------------|
| pregradni zidovi: | 0,5kN/m ² |
| završni sloj poda, izolacije, instalacije, žbuka: | 0,5 kN/m ² |
| a-c estrih, d=5 cm, $\gamma=25$ kN/  | 1,25 kN/ m ² |
| | ukupno: 2,25 kN/m ² |

4.1.2 Promjenjivo opterećenje

Uporabna opterećenja se uglavnom svrstavaju u promjenljiva i slobodna. Uporabno opterećenje u zgradama je ono koje proizlazi iz samog korištenja i uglavnom je modelirano jednoliko raspoređenim opterećenjem. Karakteristične vrijednosti ove vrste opterećenja dane su u ovisnosti o namjeni. U nekim slučajevima važna su i koncentrirana uporabna opterećenja i to sama ili u kombinaciji s kontinuiranim opterećenjem. Prostorije u zgradama ovisno o namjeni svrstane su u pet osnovnih razreda i neke podrazrede s odgovarajućim karakterističnim opterećenjem.

Tablica 4.1 Razredi prostorija

| | |
|---|---|
| A | Stambene prostorije, odjeljenja u bolnicama, hotelske sobe |
| B | Uredi |
| C | Površine na kojima je moguće okupljanje ljudi (5 podrazreda prema vjerojatnoj gustoći okupljanja i gužve) |
| D | Prodajne površine |
| E | Površine za skladištenje |

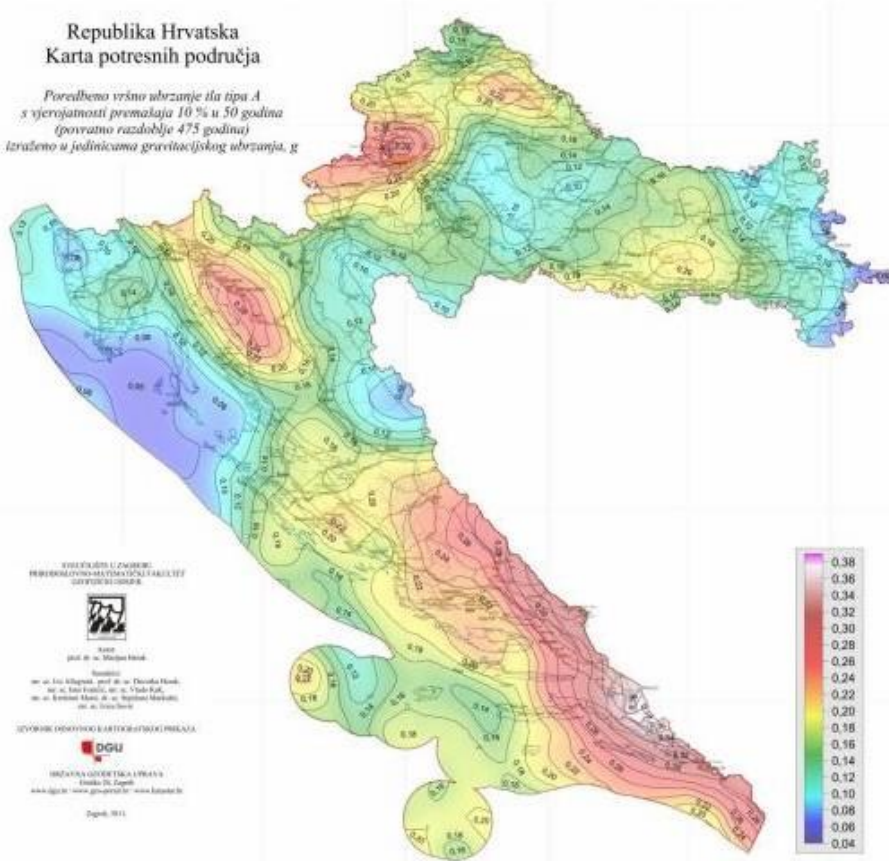
Tablica 4.2 Uporabna opterećenja u zgradama

| Opterećenje | qk [kN/m ²] | Qk [kN] |
|---------------------|-------------------------|---------|
| A - općenito | 2,0 | 2,0 |
| - stubišta | 3,0 | 2,0 |
| - balkoni | 4,0 | 2,0 |
| B | 3,0 | 2,0 |
| C - C1 | 3,0 | 4,0 |
| - C2 | 4,0 | 4,0 |
| - C3 | 5,0 | 4,0 |
| - C4 | 5,0 | 7,0 |
| - C5 | 5,0 | 4,0 |
| D - D1 | 5,0 | 4,0 |
| - D2 | 5,0 | 7,0 |
| E | 6,0 | 7,0 |

4.1.3 Opterećenje potresom

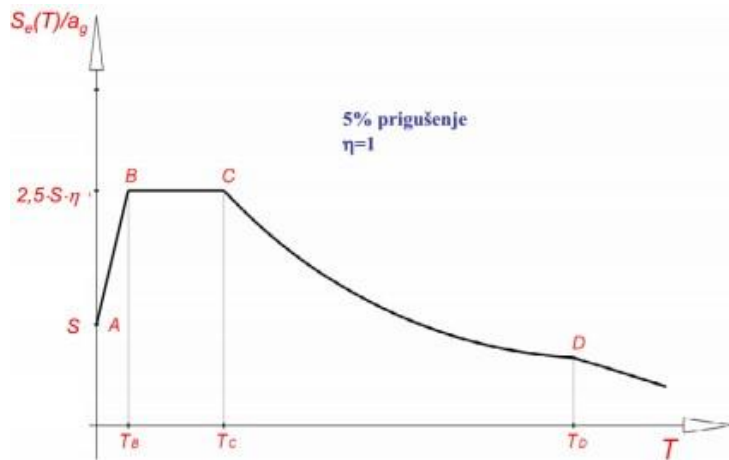
Potresno djelovanje određujemo iz računskog ubrzanja tla koje ag, koje odgovara povratnom periodu potresa od 475 godina.

Za područje Splita poredbeno vršno ubrzanje iznosi ag = 0,22 g.



Slika 4.1: Seizmička karta Hrvatske

Horizontalno gibanje tla na površini Zemlje uzrokovano potresom modelira se s elastičnim spektrom odgovora ubrzanja podloge. Računsko ubrzanje tla ag ovisi o stupnju seizmičkog rizika i određuje se na temelju odgovarajućih seizmoloških ispitivanja lokacije građevine ili prema usvojenim vrijednostima za seizmička područja državnog teritorija. Seizmičko djelovanje obično se predstavlja sa tri komponente (gibanje točke opisuje s dvije horizontalne i jednom vertikalnom komponentom). Za određivanje jedne komponente seizmičkog djelovanja obično se koristi spektar seizmičkog Ubrazanja tla u jednom translacijskom smjeru. Elastični spektar odgovora (ubrzanja) definira se analitički i kvalitativno prema crtežu 4.2.



Slika 4.2: Elastični spektar odgovora za horizontalno seizmičko djelovanje

Utjecaj potresa na konstrukciju ovisi i o vrsti tla na kojem se konstrukcija gradi.

Proračunska konstrukcija spada u razred tla B za koji vrijedi:

- Nanosi vrlo zbijenoga pijeska, šljunka ili vrlo krute gline debljine najmanje nekoliko desetaka metara, sa svojstvom postupnoga povećanja mehaničkih svojstava s dubinom. vs od 360 do 800 m/s

Za odgovarajući spektar ubrzanja uzimamo iduće parametre:

Tablica 4.3: Potresni parametri koji opisuju elastični spektar titranja za pojedine razrede tla

| Kategorija tla | S | β_0 | k_1 | k_2 | T_B | T_C | T_D |
|----------------|-----|-----------|-------|-------|-------|-------|-------|
| B | 1.2 | 2.5 | 1.0 | 2.0 | 0.15 | 0.5 | 2.0 |

Faktor ponašanja predstavlja duktilnost konstrukcije (tablica 4.4.)

Tablica 4.4: Tipovi gradnje i faktor ponašanja

| Tipovi gradnje | Faktor ponašanja | |
|--|------------------|------------------|
| | EN 1998-1 | NA ¹⁾ |
| Nearmirano zide – samo EN 1996 (preporuka: mala seizmičnost) | 1,5 | |
| Nearmirano zide – EN 1996 i EN 1998-1 | 1,5 – 2,5 | 2,0 |
| Omeđeno zide | 2,0 – 3,0 | 2,5 |
| Armirano zide | 2,5 – 3,0 | 2,5 |

Faktor ponašanja odražava duktilnost konstrukcije, odnosno njenu sposobnost da prihvata reducirane seizmičke sile bez krtih lomova u postelastičnom području deformacija

→ Djelovanje vjetra i snijega na konstrukciju je zanemarivo malo, u odnosu na potresno djelovanje, zbog čega se ne uzima u proračun.

4.2. Kombinacije opterećenja

Koeficijenti sigurnosti i kombinacije opterećenja

Parcijalni koeficijenti sigurnosti za materijale:

Beton $\gamma_c=1,5$

Čelik za armiranje, $\gamma_s=1,15$ Za zide je usvojeno $\gamma_M=2,5$

Tablica 4.5:Kombinacije korištene za proračun

| Kombinacija | Faktoriranje |
|-------------|-------------------|
| GSU | $1,0 G + 0,5 Q$ |
| GSN | $1,35 G + 1,50 Q$ |
| GSU 2 | $1,0 G + 0,3 Q$ |

5. Proračun potrebne armature za AB serklaže

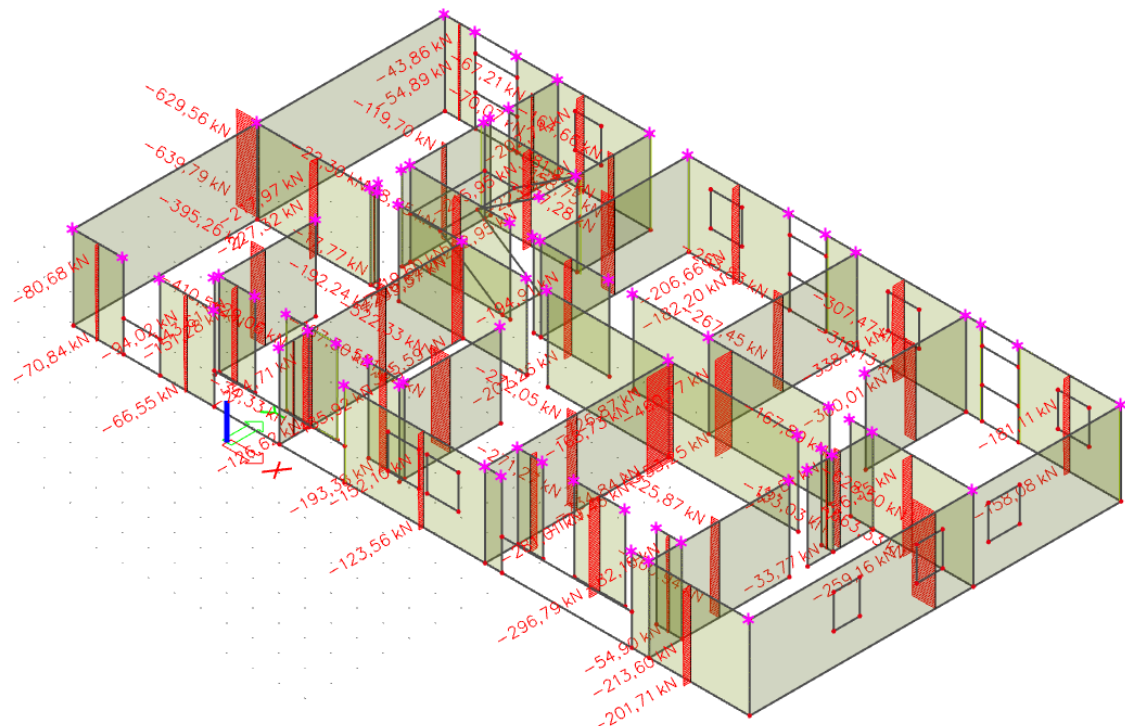
Kombinacija za izračuna unutarnjih sila u zidovima računalnim programom SCIA Engineer 18.1:

$$GSN : 1.35 \cdot (G + \Delta G) + 1.5 \cdot Q$$

$$GSU2 : 1.0 \cdot (G + \Delta G) + 0.3 \cdot Q$$

5.1. Proračun zidova na vertikalna opterećenja

5.1.1 Prikaz rezultata



Slika 5.1: Dijagram uzdužnih sila N [kN] za opterećenje GSN

5.1.2 Podaci za proračun zidova

Za vanjske nosive zidove:

- srednja tlačna čvrstoća bloka: $f_{ck,sred}=10.0 \text{ MPa}$
- normalizirana tlačna čvrstoća bloka: $f_b=10.0*1.15= 11.5 \text{ MPa}$
- grupa zidnih blokova: 2b ($K=0.45$)
- mort: M10 ($f_m=10.0 \text{ MPa}$)
 - tlačna čvrstoća ziđa: $f_k=K * f_b^{0.65} * f_m^{0.25} = 0.45*11.5^{0.65} * 10^{0.25} = 4.96 \text{ MPa}$

Parcijalni koeficijent sigurnosti za materijale: ziđe: $\gamma_M=2.2$

beton: $\gamma_c=1.5$ čelik: $\gamma_s=1$.

Debljina nosivih zidova: $t=25 \text{ cm}$

računska uzdužna sila: $N_{sd} = N_g * 1.35 + N_q * 1.5$

računska nosivost na uzdužnu silu: $N_{Rd} = F_{i,m} * A * f_k / \gamma_M$

U proračunu zidova na vertikalna djelovanja dokazuje se da je $N_{sd} < N_{Rd}$

Proračun se provodi tablično kako je prikazano na slijedećoj stranici gdje je: $L =$ računska duljina zida [m];

$t =$ debljina zida [m];

L' i b' = utjecajna duljina i širina međukatne ploče koja se oslanja na zid [m]; $n =$ broj etaža (broj međukatnih ploča);

$N_{ed} =$ računsko vertikalno djelovanje:

$N_{rd} =$ računska nosivost;

$o =$ duljina otvora [m];

$A_z =$ računska površina zida: $A_z = (L-o) \cdot t$ [m].

Tablica 5.1: Dokaz mehaničke otpornosti zidova na vertikalno djelovanje, smjer x (EN 1996-3)

Dokaz mehaničke otpornosti zida i stupova na vertikalna djelovanja (EN 1996-3)

| | | | | | | | | |
|-------------|------|-----|--|--|--|---------|------|---|
| $h =$ | 3,20 | m | = katna visina | | | $g_M =$ | 2,00 | = parcijalni faktor sigurnosti za zid |
| $f_k =$ | 4,96 | MPa | = tlačna čvrstoća zida | | | $g_c =$ | 1,50 | = parcijalni faktor sigurnosti za beton |
| $f_{c,k} =$ | 25,0 | MPa | = karakteristična tlačna čvrstoća betona | | | $n =$ | 4 | = broj etaža |

$$N_{Ed} = 1.3N_g + 1.5N_q$$

$$N_{Rd} = F f_d A$$

| zid / stup | dimenzije zida i otvora | | | | računsko vert.djel. N_{Ed} [kN] | koef. vitkosti F | računska nosivost N_{Rd} [kN] | N_{Sd}/N_{Rd} [%] |
|------------------|-------------------------|--------------------------|----------------------------|---|---|--------------------------|---------------------------------------|------------------------|
| | debljina zida [m] | duljina zida L [m] | duljina otvora o [m] | netto pov. zida/stupa A_i [m ²] | | | | |
| | X smjer | | | | | | | |
| Z 1/A-B | 0,25 | 1,05 | 0,00 | 0,26 | 54,9 | 0,70 | 456 | 12 |
| Z 1/C-E | 0,25 | 3,00 | 1,00 | 0,50 | 223,9 | 0,70 | 868 | 26 |
| Z 1/F-H | 0,25 | 3,80 | 1,20 | 0,65 | 206,7 | 0,70 | 1128 | 18 |
| Z 1/I-K | 0,25 | 5,90 | 1,20 | 1,18 | 338,2 | 0,70 | 2040 | 17 |
| Z 1/L-M | 0,25 | 3,90 | 1,20 | 0,68 | 181,1 | 0,70 | 1172 | 15 |
| Z 2/D-E | 0,25 | 3,55 | 0,00 | 0,89 | 223,0 | 0,70 | 1541 | 14 |
| Z 3/D-E | 0,25 | 3,55 | 0,00 | 0,89 | 226,8 | 0,70 | 1541 | 15 |
| Z 3/F-G | 0,25 | 2,80 | 0,00 | 0,70 | 207,3 | 0,70 | 1215 | 17 |
| Z 3/H-K | 0,25 | 7,40 | 0,00 | 1,85 | 460,8 | 0,70 | 3212 | 14 |
| Z 3/L-M | 0,25 | 4,70 | 0,00 | 1,18 | 259,2 | 0,70 | 2040 | 13 |
| Z 4/A-D | 0,25 | 4,40 | 0,00 | 1,10 | 227,3 | 0,70 | 1910 | 12 |
| Z 4/D-G | 0,25 | 4,70 | 0,00 | 1,18 | 305,6 | 0,70 | 2040 | 15 |
| Z 4/G-L | 0,25 | 9,50 | 0,00 | 2,38 | 734,8 | 0,70 | 4123 | 18 |
| Z 5/D-N | 0,25 | 1,25 | 0,00 | 0,31 | 151,3 | 0,70 | 543 | 28 |
| Z 5/O-P | 0,25 | 1,70 | 0,00 | 0,43 | 254,7 | 0,70 | 738 | 35 |
| Z 5/R-G | 0,25 | 1,25 | 0,00 | 0,31 | 193,4 | 0,70 | 543 | 36 |
| Z 5/J-S | 0,25 | 0,85 | 0,00 | 0,21 | 179,5 | 0,70 | 369 | 49 |
| Z 5/T-U | 0,25 | 1,82 | 0,00 | 0,46 | 296,8 | 0,70 | 790 | 38 |
| Z 5/V-L | 0,25 | 0,95 | 0,00 | 0,24 | 82,1 | 0,70 | 412 | 20 |
| Z 6/A-B | 0,25 | 1,80 | 0,00 | 0,45 | 80,7 | 0,70 | 781 | 10 |
| Z 6/C-N | 0,25 | 1,95 | 0,00 | 0,49 | 94,0 | 0,70 | 846 | 11 |
| Z 6/G-J | 0,25 | 6,00 | 2,40 | 0,90 | 152,1 | 0,70 | 1562 | 10 |
| Z 6/L-M | 0,25 | 4,50 | 0,00 | 1,13 | 213,6 | 0,70 | 1953 | 11 |

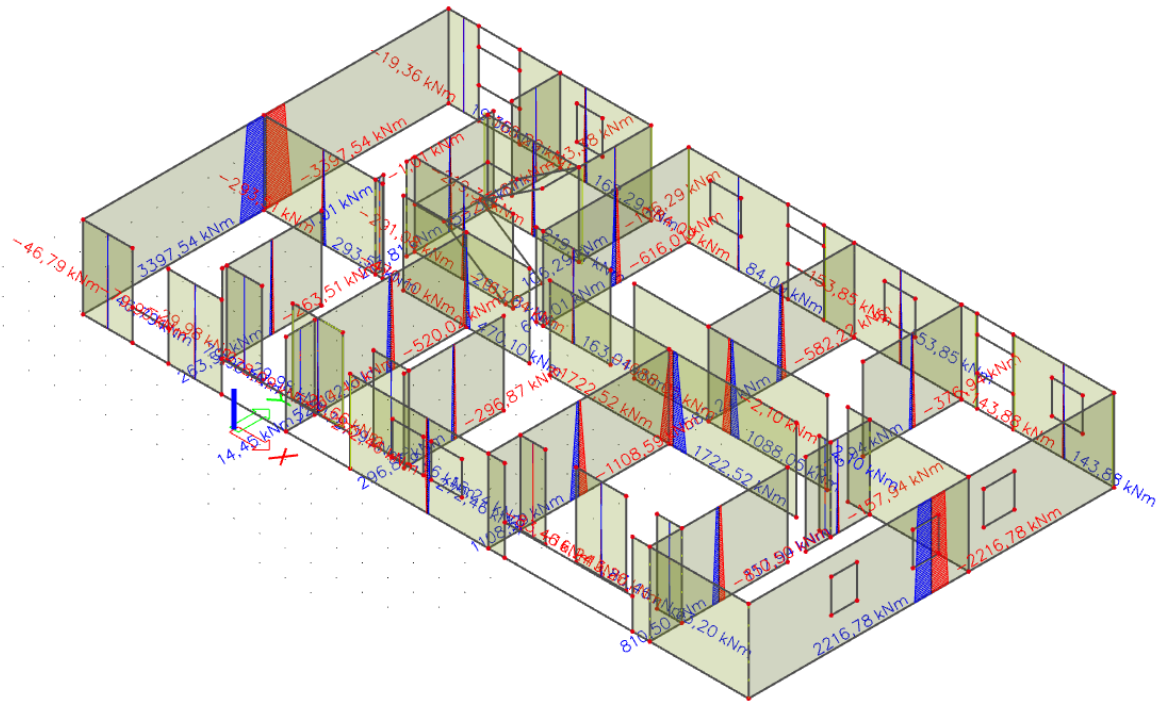
Tablica 5.2: Dokaz mehaničke otpornosti zidova na vertikalno djelovanje, smjer y (EN 1996-3)

| Dokaz mehaničke otpornosti zida i stupova na vertikalna djelovanja (EN 1996-3) | | | | | | | |
|--|------|-----|--|--|--|---------|------|
| $h =$ | 3,20 | m | = katna visina | | | $g_M =$ | 2,00 |
| $f_k =$ | 4,96 | MPa | = tlačna čvrstoća zida | | | $g_c =$ | 1,50 |
| $f_{c,k} =$ | 25,0 | MPa | = karakteristična tlačna čvrstoća betona | | | n = | 4 |

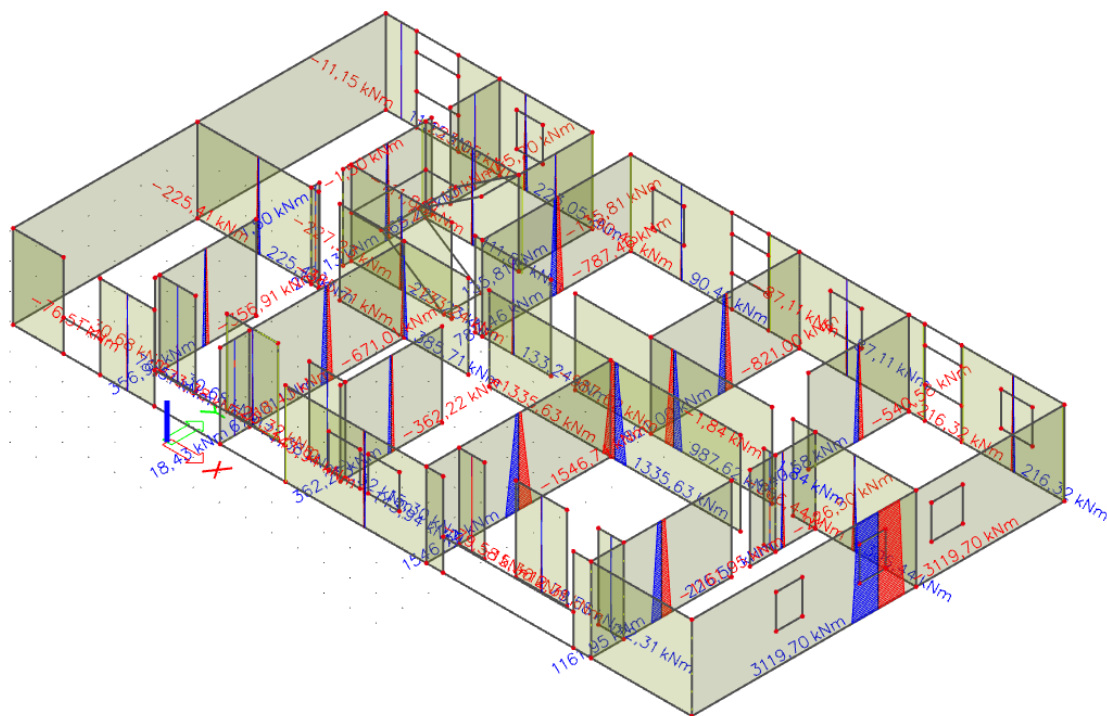
| | Y smjer | | | | | | | |
|---------|---------|-------|------|------|-------|------|------|----|
| Z A/1-6 | 0,25 | 14,25 | 0,00 | 3,56 | 639,8 | 0,70 | 6185 | 10 |
| Z D/1-2 | 0,25 | 1,80 | 0,00 | 0,45 | 70,1 | 0,70 | 781 | 9 |
| Z D/2-3 | 0,25 | 2,80 | 0,00 | 0,70 | 129,0 | 0,70 | 1215 | 11 |
| Z D/4-5 | 0,25 | 3,80 | 0,00 | 0,95 | 410,6 | 0,70 | 1649 | 25 |
| Z E/1-2 | 0,25 | 2,80 | 0,00 | 0,70 | 164,7 | 0,70 | 1215 | 14 |
| Z E/4-5 | 0,25 | 5,80 | 0,00 | 1,45 | 192,2 | 0,70 | 2517 | 8 |
| Z E/5-6 | 0,25 | 1,25 | 0,00 | 0,31 | 34,3 | 0,70 | 543 | 6 |
| Z F/1-3 | 0,25 | 5,70 | 0,00 | 1,43 | 381,2 | 0,70 | 2474 | 15 |
| Z G/4-5 | 0,25 | 3,70 | 0,00 | 0,93 | 531,7 | 0,70 | 1606 | 33 |
| Z J/1-3 | 0,25 | 5,70 | 0,00 | 1,43 | 267,5 | 0,70 | 2474 | 11 |
| Z J/4-6 | 0,25 | 7,05 | 0,00 | 1,76 | 272,1 | 0,70 | 3060 | 9 |
| Z K/1-3 | 0,25 | 3,70 | 0,00 | 0,93 | 310,1 | 0,70 | 1606 | 19 |
| Z L/3-4 | 0,25 | 2,40 | 0,00 | 0,60 | 183,0 | 0,70 | 1042 | 18 |
| Z L/4-5 | 0,25 | 4,00 | 0,00 | 1,00 | 260,9 | 0,70 | 1736 | 15 |
| Z M/1-6 | 0,25 | 14,25 | 3,20 | 2,76 | 663,3 | 0,70 | 4796 | 14 |

5.2. Proračun zidova na potresno djelovanje

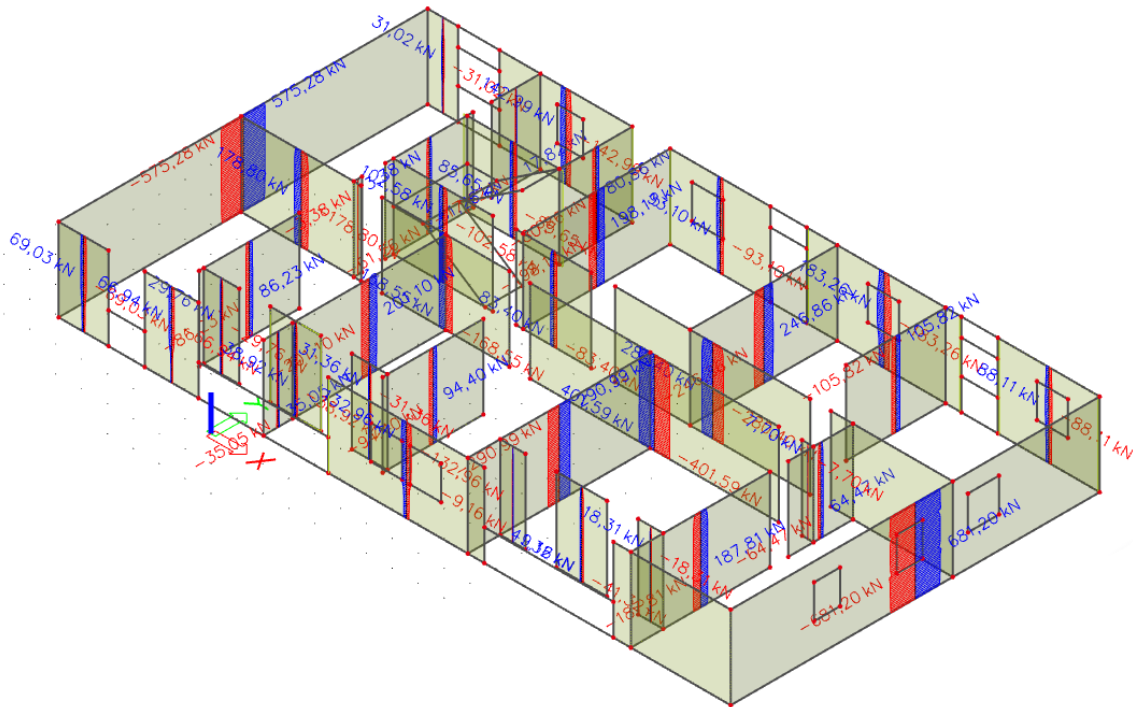
5.2.1 Prikaz rezultata



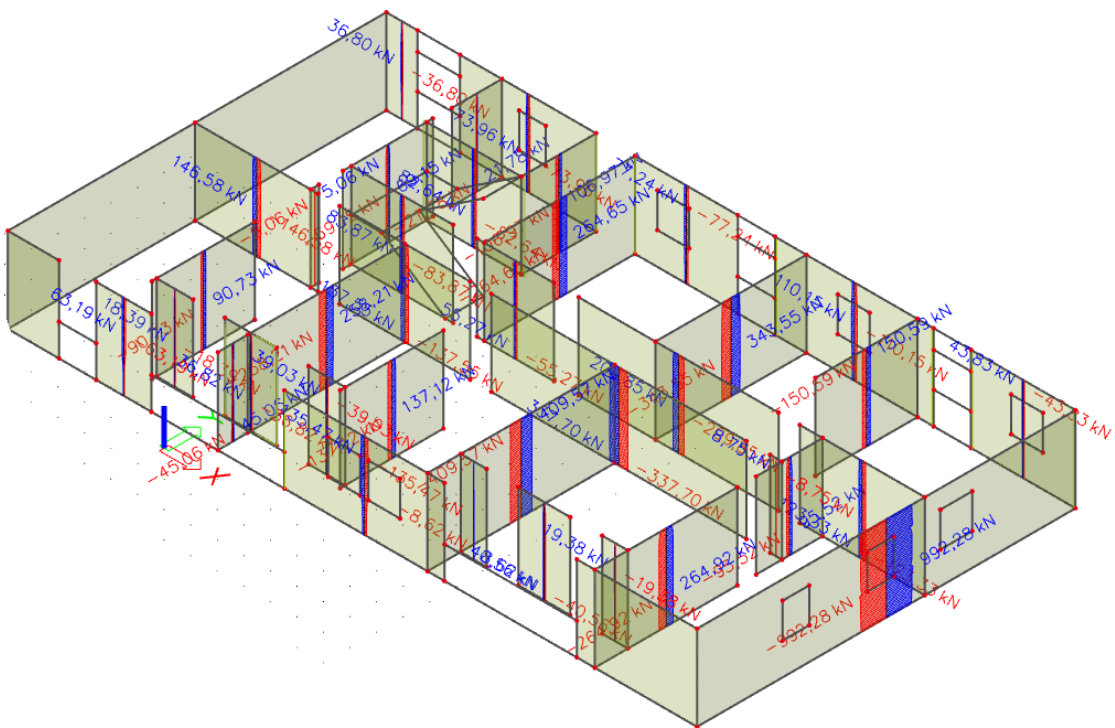
Slika 5.2: Dijagram momenata M [kN/m] za kombinaciju 1,25Sx



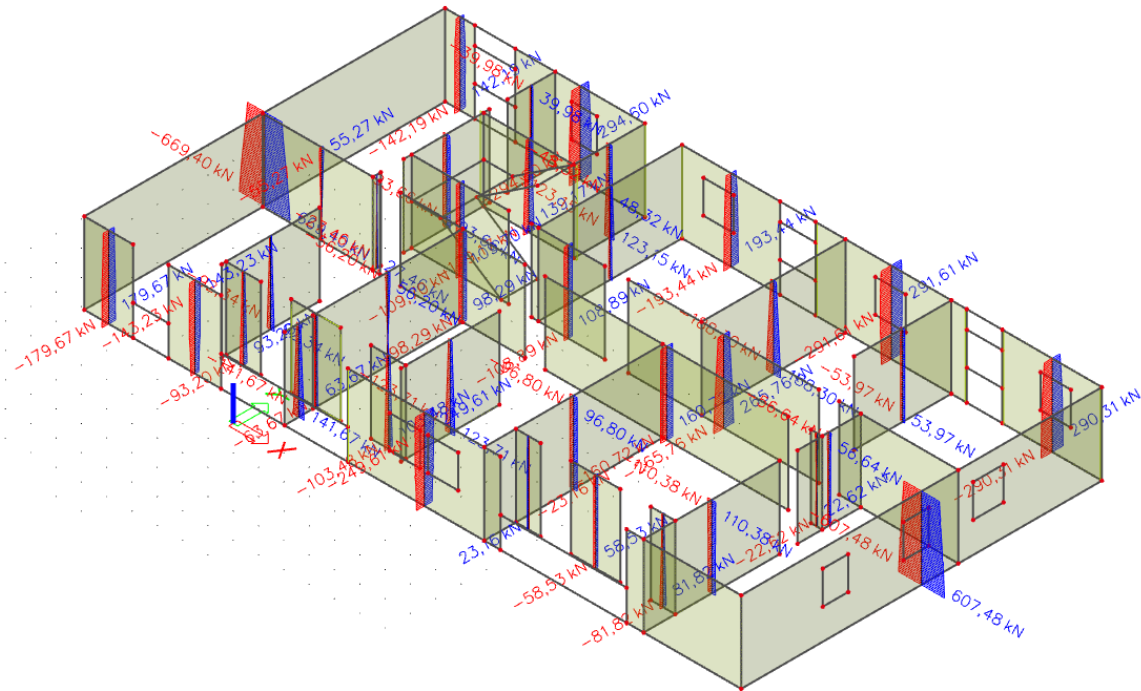
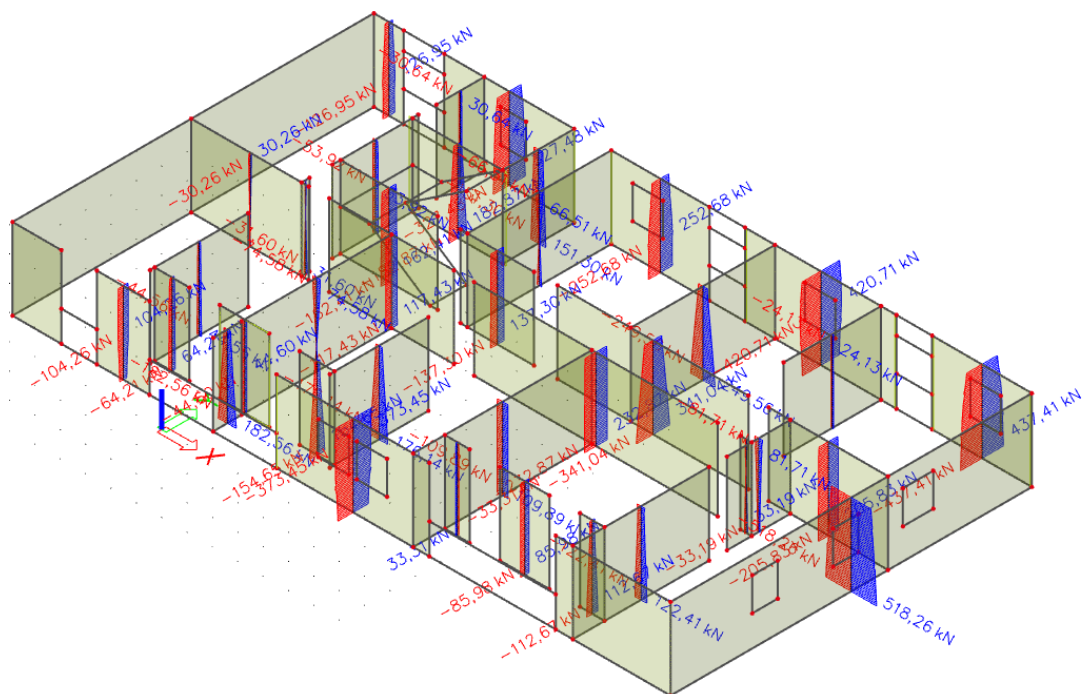
Slika 5.3: Dijagram momenata M [kN/m] za kombinaciju 1,32Sy

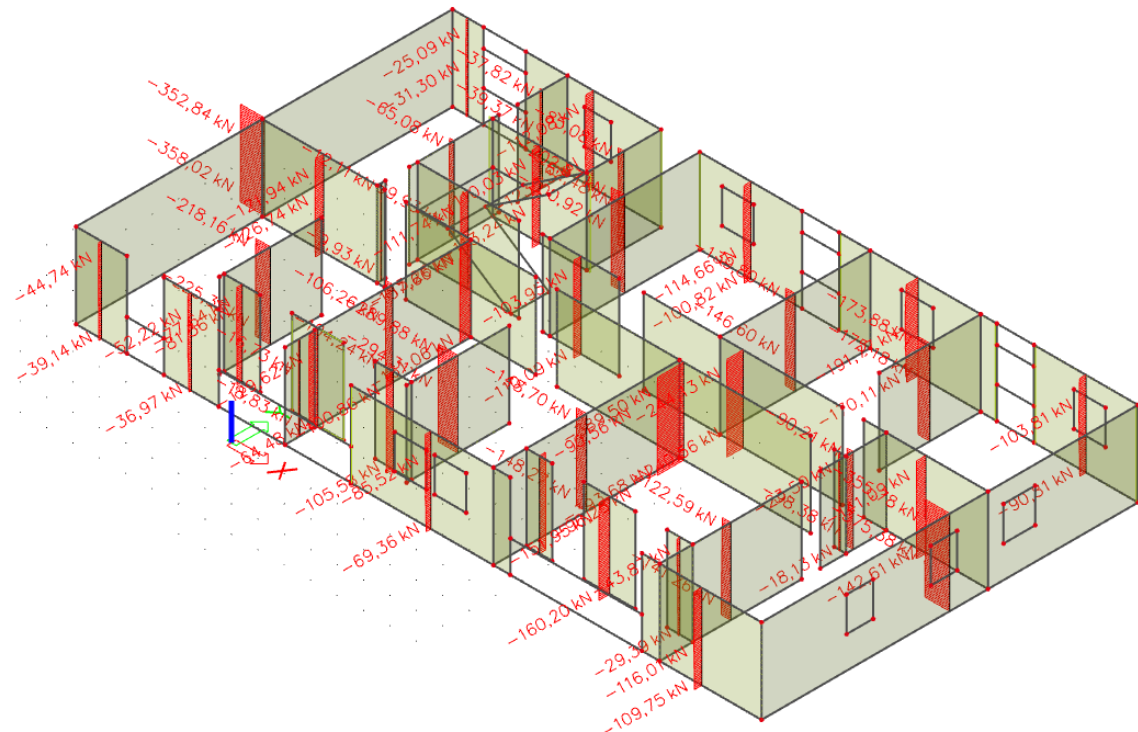


Slika 5.4: Dijagram poprečnih sila V [kN] za kombinaciju 1,32 Sy



Slika 5.5: Dijagram poprečnih sila V [kN] za kombinaciju 1,25 Sx

Slika 5.6: Dijagram uzdužnih sila N [kN] za kombinaciju 1,25 SxSlika 5.7: Dijagram uzdužnih sila N [kN] za kombinaciju 1,32 Sy



Slika 5.8: Dijagram uzdužnih sila N [kN] za kombinaciju GSU2

5.2.2 Proračun ukupne potresne poprečne sile

- Zona seizmičnosti: VIII ($a_g = 0,22$)
 - Kategorija tla: B → S=1,2 (faktor tla)
 - Tip spektra: 1 (visoka seizmičnost)
 - Broj katova: 4
 - Visina kata: h= 3,2 m

parcijalni koef. sigurnosti za materijale: ziđe: $\gamma_M=2,2$

beton: $\gamma_c=1.5$ çelik: $\gamma_s=1.15$

U proračunu zidova na potres dokazuje se da je:

Računska vertikalna sila:

$$N_{Sd} = N_p + N_{KOMB} \quad [kN]$$

Statička visina:

$$d = L - \frac{t}{2} \quad [m]$$

Krak unutarnjih sila:

$$z = d \cdot 0,8 \quad [m]$$

Duljina tlačne zone:

$$x_u = 2 \cdot (d - z) = 2 \cdot (d - d \cdot 0,8) = 0,4d \quad [m]$$

Računska nosivost:

$$F_{m,Rd} = x_u \cdot t \cdot f_k \cdot 1000 \quad [kN]$$

U proračunu zidova na potres dokazuje se:

$$(1) \quad V_{Ed} < V_{Rd}$$

Računska nosivost:

$$V_{Rd} = \frac{f_{vk} \cdot L \cdot t}{\gamma_m} \quad [kN]$$

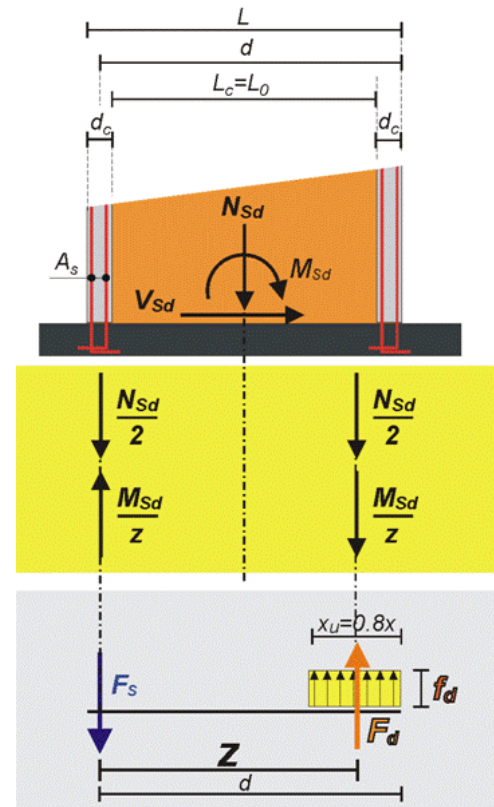
$$(2) \quad F_{Ed} < F_{Rd}$$

Računsko djelovanje:

$$F_{Ed} = \frac{M_{Ed,p}}{z} + \frac{N_{Ed}}{2} \quad [kN]$$

Potrebna armatura:

$$A_s = \frac{\frac{M_{Sd}}{z} - \frac{N_{Sd}}{2}}{\frac{f_s}{\gamma_s}}$$



Slika 5.9: Raspodjela potresnih sila

U nastavku je prikazan tablični proračun potresne otpornosti zidova (Tablica 5.3. i Tablica 5.4.), koji dominantno preuzimaju potresno djelovanje, u dva međusobno okomita smjera

Tablica 5.3: Proračun sila od potresa, smjer x

| | | |
|------------|-------------|--|
| M_{ed} | 24788,8 kNm | = ukupan moment od potresa |
| E | 4960,0 MPa | = modul elastičnosti |
| G | 826,7 MPa | = modul posmika |
| f_k | 4,96 MPa | = tlačna čvrstoća zida |
| f_{vk} | 0,75 MPa | = posmična čvrstoća zida |
| γ_m | 1,50 | = parcijalni faktor sigurnosti za zid |
| γ_s | 1,00 | = parcijalni faktor sigurnosti za armaturu |

$$k_l = \left(1 - \frac{t \sum_i}{0.85A} \right)$$

$$K_e = \frac{GA}{1.2h \left[1 + \alpha \frac{G(h)^2}{E(L)} \right]}$$

| | 1 | 2 | 3 | 4 | 5 | moment | poprečna | uzdužna | računska | duljina | 15 | 16 | 17 | 18 | 19 | Armat. | |
|---------|-------|---------------------|--------|-------|----------------|---------------|------------|---------------|----------|------------|---------------|----------|---------------|-----------------|-----------------|--------|------|
| Zid | zida | zida | otvora | zida | od potresa | silak komb | vert. sila | visina | silu | djelovanje | računska | računska | | | | | |
| $t [m]$ | L [m] | A [m ²] | Li [m] | H [m] | M_{ss} [kNm] | N_{sd} [kN] | N_p [kN] | N_{sa} [kN] | d [m] | z [m] | F_{sd} [kN] | xu [m] | V_{rd} [kN] | F_{sd}/F_{rd} | V_{sd}/V_{rd} | As | |
| Z 1A-B | 0,25 | 1,05 | 0,28 | 0,00 | 3,20 | 19,4 | 31,0 | -142,9 | 31,3 | -111,6 | 0,9 | 0,74 | -29,6 | 0,37 | 131,3 | 23,6 | 6,5 |
| Z 1C-E | 0,25 | 3,00 | 0,75 | 1,00 | 3,20 | 223,1 | 143,0 | -327,5 | 123,2 | -204,3 | 2,9 | 2,30 | -5,1 | 1,15 | 375,0 | 1426,0 | 38,1 |
| Z 1F-H | 0,25 | 3,80 | 0,95 | 1,20 | 3,20 | 90,4 | 93,1 | -252,7 | 114,7 | -138,0 | 3,7 | 2,94 | -38,3 | 1,47 | 475,0 | 1822,8 | 19,6 |
| Z 1I-K | 0,25 | 5,90 | 1,48 | 1,20 | 3,20 | 153,9 | 183,3 | -420,7 | 191,8 | -228,9 | 5,8 | 4,62 | -81,2 | 2,31 | 737,5 | 2864,4 | 24,8 |
| Z 1L-M | 0,25 | 3,90 | 0,98 | 1,20 | 3,20 | 216,3 | 88,1 | -437,4 | 103,8 | -335,6 | 3,8 | 3,02 | -95,2 | 1,51 | 487,5 | 1872,4 | 18,1 |
| Z 2D-E | 0,25 | 3,55 | 0,89 | 0,00 | 3,20 | 139,2 | 85,7 | -108,9 | 110,0 | 1,1 | 3,4 | 2,74 | 51,4 | 1,37 | 443,8 | 1698,8 | 19,3 |
| Z 3D-E | 0,25 | 3,55 | 0,89 | 0,00 | 3,20 | 291,1 | 102,6 | -110,0 | 115,3 | 5,3 | 3,4 | 2,74 | 108,9 | 1,37 | 443,8 | 1698,8 | 23,1 |
| Z 3F-G | 0,25 | 2,80 | 0,70 | 0,00 | 3,20 | 163,0 | 83,4 | -108,9 | 110,1 | 1,2 | 2,7 | 2,14 | 76,8 | 1,07 | 350,0 | 1326,8 | 23,8 |
| Z 3H-K | 0,25 | 7,40 | 1,85 | 0,00 | 3,20 | 1088,1 | 280,4 | -265,8 | 244,1 | -216,8 | 7,3 | 5,82 | 176,1 | 2,91 | 925,0 | 3808,4 | 30,3 |
| Z 3L-M | 0,25 | 4,70 | 1,18 | 0,00 | 3,20 | 411,0 | 152,1 | -162,4 | 142,2 | -20,3 | 4,6 | 3,66 | 102,2 | 1,83 | 587,5 | 2269,2 | 25,9 |
| Z 4A-D | 0,25 | 4,40 | 1,10 | 0,00 | 3,20 | 293,5 | 178,8 | -137,3 | 126,7 | -10,6 | 4,3 | 3,42 | 80,5 | 1,71 | 550,0 | 2120,4 | 32,5 |
| Z 4D-G | 0,25 | 4,70 | 1,18 | 0,00 | 3,20 | 470,1 | 168,6 | -341,0 | 161,1 | -180,0 | 4,6 | 3,66 | 38,5 | 1,83 | 587,5 | 2269,2 | 28,7 |
| Z 4G-L | 0,25 | 9,50 | 2,38 | 0,00 | 3,20 | 1722,5 | 401,6 | -205,8 | 393,7 | 187,9 | 9,4 | 7,50 | 323,6 | 3,75 | 1187,5 | 4650,0 | 33,8 |
| Z 5D-N | 0,25 | 1,25 | 0,31 | 0,00 | 3,20 | 30,0 | 29,8 | -93,2 | 81,4 | -11,8 | 1,1 | 0,90 | 27,4 | 0,45 | 156,3 | 558,0 | 19,0 |
| Z 5O-P | 0,25 | 1,70 | 0,43 | 0,00 | 3,20 | 78,1 | 38,9 | -117,4 | 129,6 | 12,2 | 1,6 | 1,26 | 68,1 | 0,63 | 212,5 | 781,2 | 18,3 |
| Z 5R-G | 0,25 | 1,25 | 0,31 | 0,00 | 3,20 | 29,7 | 31,4 | -233,9 | 105,6 | -128,3 | 1,1 | 0,90 | -31,2 | 0,45 | 156,3 | 558,0 | 20,1 |
| Z 5S | 0,25 | 0,85 | 0,21 | 0,00 | 3,20 | 16,2 | 9,2 | -64,2 | 96,3 | 32,1 | 0,7 | 0,58 | 44,0 | 0,29 | 106,3 | 359,6 | 8,6 |
| Z 5T-J | 0,25 | 1,82 | 0,46 | 0,00 | 3,20 | 83,5 | 41,3 | -58,5 | 160,2 | 101,7 | 1,7 | 1,36 | 112,4 | 0,68 | 227,5 | 840,7 | 18,2 |
| Z 5W-L | 0,25 | 0,95 | 0,24 | 0,00 | 3,20 | 25,3 | 18,3 | -154,7 | 29,4 | -125,3 | 0,8 | 0,66 | -24,3 | 0,33 | 118,8 | 409,2 | 15,4 |
| Z 6A-B | 0,25 | 1,80 | 0,45 | 0,00 | 3,20 | 46,7 | 69,0 | -179,7 | 44,7 | -134,9 | 1,7 | 1,34 | -32,6 | 0,67 | 225,0 | 830,8 | 30,7 |
| Z 6C-N | 0,25 | 1,95 | 0,49 | 0,00 | 3,20 | 80,0 | 66,9 | -143,0 | 52,2 | -90,8 | 1,8 | 1,46 | 9,4 | 0,73 | 243,8 | 905,2 | 27,5 |
| Z 6G-J | 0,25 | 6,00 | 1,50 | 2,40 | 3,20 | 272,5 | 132,1 | -373,5 | 85,5 | -287,9 | 5,9 | 4,70 | -86,0 | 2,35 | 750,0 | 2914,0 | 17,6 |
| Z 6L-M | 0,25 | 4,50 | 1,13 | 0,00 | 3,20 | | | | 116,0 | 116,0 | 4,4 | 3,50 | 58,0 | 1,75 | 562,5 | 2170,0 | 0,0 |

Tablica 5.4: Proračun sila od potresa, smjer y

Proračun sila od potresa

| | | |
|--------------|-------------|--|
| V_{ed} = | 3287,4 kN | = ukupna poprečna sila od potresa |
| M_{ed} = | 32683,9 kNm | = ukupan moment od potresa |
| E = | 4960,0 MPa | = modul elastičnosti |
| G = | 826,7 MPa | = modul posmika |
| f_z = | 4,96 MPa | = tlачna čvrstoća zida |
| f_{vk} = | 0,75 MPa | = posmčna čvrstoća zida |
| γ_M = | 1,50 | = parcijalni faktor sigurnosti za zide |
| γ_s = | 1,00 | = parcijalni faktor sigurnosti za armaturu |

$$K_{e,ov} = K_e \cdot k_I$$

$$k_I = \left(1 - \frac{t \sum l}{0.85 A} \right)$$

$$K_e = \frac{G A}{1.2 h \left[1 + \alpha \left(\frac{G}{E} \left(\frac{h}{L} \right)^2 \right) \right]}$$

| | 1 | 2 | 3 | 4 | 5 | 6 | 7 | 8 | 9 | 10 | 11 | 12 | 13 | 14 | 15 | 16 | 17 | 18 | 19 |
|-------|-------------|---------------------|-------------|-------------|-----------------------|----------------------|---------------------|---------------------|----------------------|----------------------|----------------------|------------|------------|------------|------------|------------|------------|------------|------|
| Zd | dubina zida | površina zida | dubina zida | visina zida | moment poprečna | uzdužna | uzdužna | uzdužna | uzdužna | uzdužna | uzdužna | uzdužna | uzdužna | uzdužna | uzdužna | uzdužna | uzdužna | uzdužna | |
| Zd | zida | zida | zida | zida | od potresa | zida | od potresa | zida | od pot. | zida od pot. | zida kontakta | vert. sila | |
| t [m] | L [m] | A [m ²] | L [m] | H [m] | M _{sd} [kNm] | V _{sd} [kN] | N _Q [kN] | N _Q [kN] | N _{sd} [kN] | N _{sd} [kN] | N _{sd} [kN] | d [m] | |
| ZAM-6 | 0,25 | 14,25 | 3,56 | 0,00 | 3,20 | 3397,5 | 614,9 | -526,0 | 358,0 | -168,0 | 14,1 | 11,30 | 216,7 | 5,65 | 1781,3 | 7006,0 | 34,5 | 3,1 | 8,8 |
| ZDV-2 | 0,25 | 1,80 | 0,45 | 0,00 | 3,20 | 65,2 | 21,8 | -30,6 | 37,8 | 42,85 | 1,7 | 1,34 | 70,1 | 0,67 | 225,0 | 830,8 | 9,7 | 8,4 | 0,6 |
| ZDZ-3 | 0,25 | 2,80 | 0,70 | 0,00 | 3,20 | 265,1 | 69,2 | -53,9 | 65,1 | 70,94 | 2,7 | 2,14 | 159,4 | 1,07 | 350,0 | 1326,8 | 19,8 | 12,0 | 2,0 |
| ZDz-5 | 0,25 | 3,80 | 0,95 | 0,00 | 3,20 | 356,9 | 90,7 | -44,6 | 225,4 | 224,06 | 3,7 | 2,94 | 233,4 | 1,47 | 475,0 | 1822,8 | 19,1 | 12,8 | 0,2 |
| ZEH-2 | 0,25 | 2,80 | 0,70 | 0,00 | 3,20 | 135,8 | 107,0 | -151,3 | 85,1 | 80,42 | 2,7 | 2,14 | 103,7 | 1,07 | 350,0 | 1326,8 | 30,6 | 7,8 | 0,5 |
| ZEH-5 | 0,25 | 5,80 | 1,45 | 0,00 | 3,20 | 671,0 | 258,2 | -4,6 | 104,2 | 104,2 | 5,7 | 4,54 | 199,9 | 2,27 | 725,0 | 2814,8 | 35,6 | 7,1 | 2,2 |
| ZEE-6 | 0,25 | 1,25 | 0,31 | 0,00 | 3,20 | 18,4 | 45,1 | -182,56 | 18,83 | 198,26 | 1,1 | 0,90 | 119,6 | 0,45 | 156,3 | 558,0 | 28,8 | 21,4 | -1,8 |
| ZFI-3 | 0,25 | 5,70 | 1,43 | 0,00 | 3,20 | 787,5 | 264,7 | -66,5 | 202,9 | 289,84 | 5,6 | 4,46 | 323,5 | 2,23 | 712,5 | 2765,2 | 37,1 | 11,7 | 0,7 |
| ZGd-5 | 0,25 | 3,70 | 0,93 | 0,00 | 3,20 | 362,2 | 137,1 | -176,1 | 294,3 | 156,94 | 3,6 | 2,86 | 205,1 | 1,43 | 462,5 | 1773,2 | 29,6 | 11,6 | 1,1 |
| ZJH-3 | 0,25 | 5,70 | 1,43 | 0,00 | 3,20 | 821,0 | 343,6 | -249,6 | 146,6 | 151,52 | 5,6 | 4,46 | 259,8 | 2,23 | 712,5 | 2765,2 | 48,2 | 9,4 | 2,5 |
| ZJH-6 | 0,25 | 7,05 | 1,76 | 0,00 | 3,20 | 1546,7 | 40957,0 | -109,9 | 148,3 | 173,5 | 6,9 | 5,54 | 365,9 | 2,77 | 881,3 | 3434,8 | 4647,6 | 10,7 | 4,4 |
| ZKH-3 | 0,25 | 3,70 | 0,93 | 0,00 | 3,20 | 540,6 | 150,6 | -24,1 | 175,2 | 98,61 | 3,6 | 2,86 | 238,3 | 1,43 | 462,5 | 1773,2 | 32,6 | 13,4 | 3,2 |
| ZLJ-4 | 0,25 | 2,40 | 0,60 | 0,00 | 3,20 | 226,5 | 95,5 | -81,7 | 98,4 | 141 | 2,3 | 1,82 | 195,0 | 0,91 | 300,0 | 1128,4 | 31,8 | 17,3 | 1,2 |
| ZLJ-5 | 0,25 | 4,00 | 1,00 | 0,00 | 3,20 | 1162,0 | 264,9 | -122,4 | 141,3 | 126,9 | 3,9 | 3,10 | 437,9 | 1,55 | 500,0 | 1922,0 | 53,0 | 22,8 | 7,2 |
| ZMW-6 | 0,25 | 14,25 | 3,56 | 3,20 | 3119,2 | 992,3 | -518,3 | 375,6 | 62,52 | 14,1 | 11,30 | 307,3 | 5,65 | 1781,3 | 7006,0 | 55,7 | 4,4 | 5,6 | |

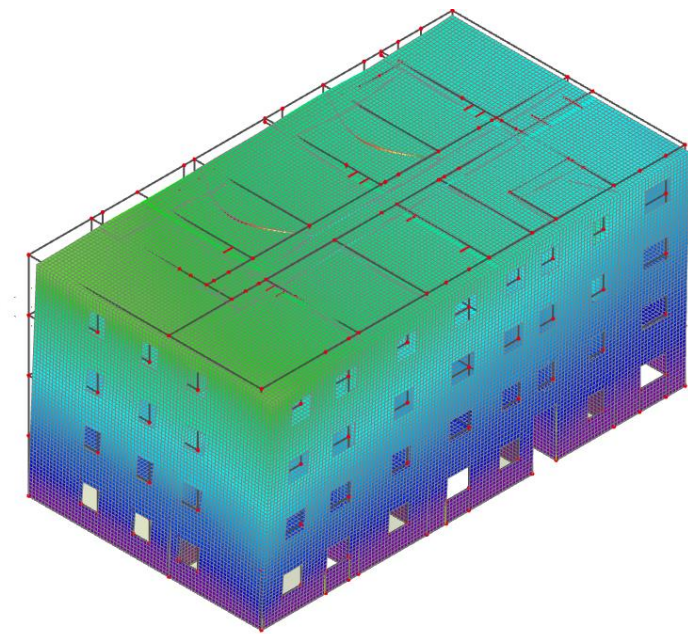
6. Proračun ostalih konstruktivnih elemenata

6.1. Rezultati proračuna

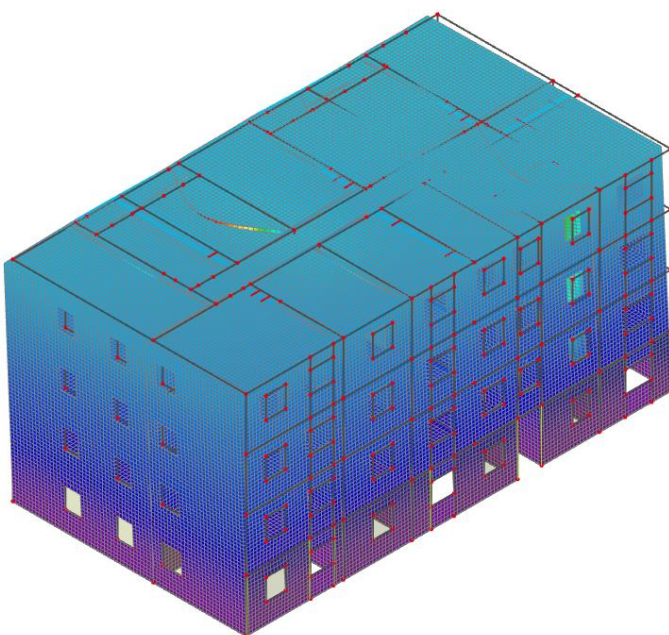
Tablica 6.1: Prikaz vrijednosti prvih 20 vlastitih vektora

| Mode | mega [rad/: s] | Period [s] | Freq. [Hz] | Damp ratio | $W_{xi}/W_{x\text{tot}}$ | $W_{yi}/W_{y\text{tot}}$ | $W_{zi}/W_{z\text{tot}}$ | $V_{xi_R}/W_{x\text{tot}}$ | $V_{yi_R}/W_{y\text{tot}}$ | $V_{zi_R}/W_{z\text{tot}}$ |
|------|----------------|------------|------------|------------|--------------------------|--------------------------|--------------------------|-----------------------------|-----------------------------|-----------------------------|
| 1 | 27.4601 | 0.23 | 4.37 | 0 | 0.140599 | 0.567379 | 7.80126e-05 | 0.0931796 | 0.00864655 | 0.0347509 |
| 2 | 27.9729 | 0.22 | 4.45 | 0 | 0.479195 | 0.178267 | 0.000181736 | 0.0318646 | 0.0409927 | 0.00616876 |
| 3 | 30.5784 | 0.21 | 4.87 | 0 | 0.00166997 | 0.000308818 | 2.55922e-06 | 5.89797e-05 | 0.00517898 | 1.47766e-05 |
| 4 | 31.3195 | 0.20 | 4.98 | 0 | 0.00112488 | 0.000201526 | 7.08851e-06 | 5.87465e-05 | 0.00639812 | |
| 5 | 31.4918 | 0.20 | 5.01 | 0 | 0.00194343 | 0.000929839 | 1.96533e-06 | 0.000146586 | 0.000245502 | 0.0156726 |
| 6 | 32.9263 | 0.19 | 5.24 | 0 | 0.128801 | 0.000746481 | 0.000190318 | 0.000293985 | 0.0161049 | 0.00506897 |
| 7 | 35.5387 | 0.18 | 5.66 | 0 | 0.000497324 | 0.000484647 | 0.091238 | 1.41069e-06 | 0.0162655 | 0.00027677 |
| 8 | 39.0767 | 0.16 | 6.22 | 0 | 0.00864018 | 0.00526556 | 0.0250033 | 0.00644533 | 0.0241297 | 0.354815 |
| 9 | 39.5149 | 0.16 | 6.29 | 0 | 0.0230062 | 0.00599723 | 0.0136714 | 0.0255443 | 0.0266735 | 0.368891 |
| 10 | 40.9564 | 0.15 | 6.52 | 0 | 0.00302595 | 2.68957e-05 | 0.0106633 | 0.00258627 | 0.00468627 | 0.014023 |
| 11 | 42.0288 | 0.15 | 6.69 | 0 | 0.000401391 | 0.00016408 | 0.0106703 | 0.0313142 | 0.0104075 | 0.00279372 |
| 12 | 44.1086 | 0.14 | 7.02 | 0 | 0.0031245 | 1.13155e-07 | 1.666639e-05 | 5.69572e-07 | 0.00281041 | 0.000496376 |
| 13 | 44.5368 | 0.14 | 7.09 | 0 | 0.0059813 | 7.51745e-06 | 0.000673989 | 0.000534461 | 0.000263457 | 0.000271442 |
| 14 | 44.8315 | 0.14 | 7.14 | 0 | 0.0023096 | 9.43991e-05 | 0.0236352 | 0.00078315 | 0.0164887 | 4.80507e-05 |
| 15 | 46.1982 | 0.14 | 7.35 | 0 | 0.000986477 | 2.63558e-06 | 2.43077e-05 | 8.88612e-07 | 0.00102571 | 7.42934e-07 |
| 16 | 55.1826 | 0.11 | 8.78 | 0 | 0.0003632 | 2.10545e-05 | 0.00664606 | 0.0276509 | 0.0296414 | 0.00015965 |
| 17 | 56.1904 | 0.11 | 8.94 | 0 | 2.55278e-05 | 2.42977e-05 | 1.18432e-06 | 5.35677e-06 | 0.0089842 | 0.000141908 |
| 18 | 57.1892 | 0.11 | 9.10 | 0 | 3.04909e-05 | 3.90316e-06 | 0.000565783 | 2.94018e-05 | 0.00379827 | 0.00143268 |
| 19 | 57.7629 | 0.11 | 9.19 | 0 | 0.00169304 | 0.000492118 | 0.00477801 | 0.00110355 | 0.0129022 | 9.96395e-07 |
| 20 | 57.9994 | 0.11 | 9.23 | 0 | 1.43437e-05 | 0.000486417 | 0.00519334 | 0.000263941 | 0.00293608 | 2.39328e-05 |
| 0 | 0 | 0.00 | 0.00 | 0 | 0.79805 | 0.766903 | 0.19728 | 0.221882 | 0.173471 | 0.805791 |

S obzirom da u proračunu masa nije postignuto uključenje od minimalno 90.0% mase potresne sile se povećavaju sa koeficijentom $100/80=1.25$ kako bi nadoknadili tu razliku.



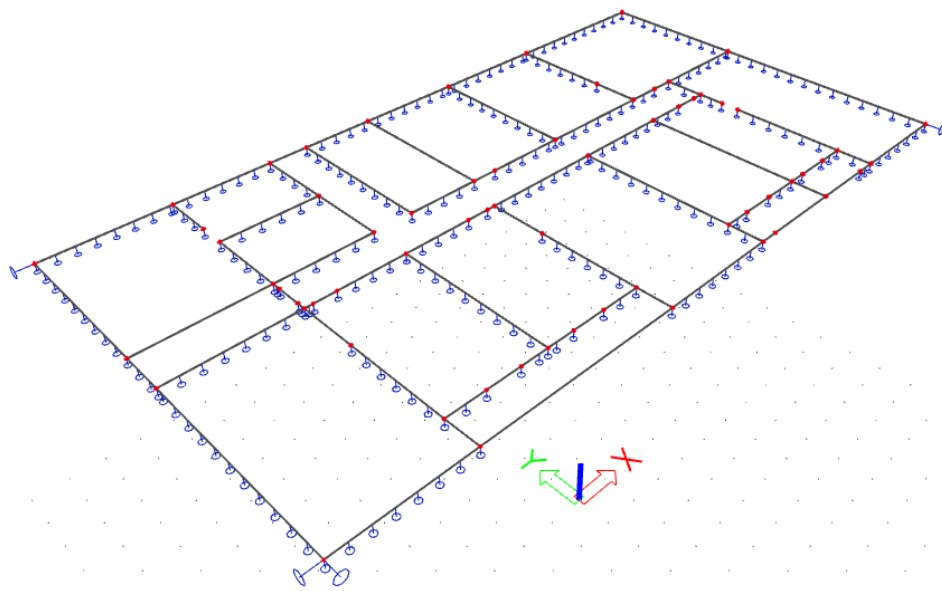
Slika 6.1: Prvi vlastiti vektor modela



Slika 6.2: Drugi vlastiti vektor modela

6.2. Ploče

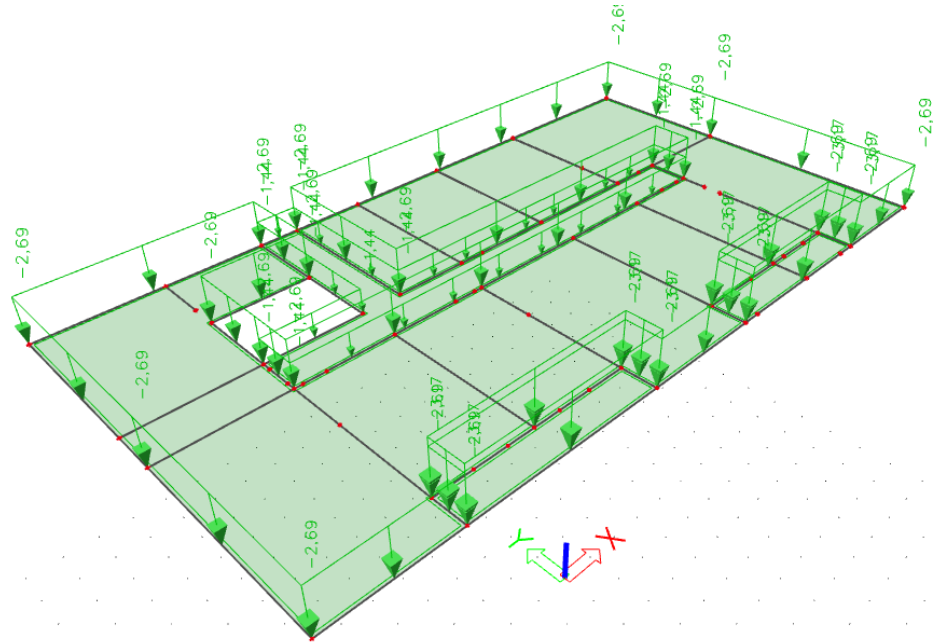
Model ploče je napravljen u programskom paketu Scia Engineer 2018. Sve ploče napravljene su od betona klase C25/30 (Slika) te armirane čelikom za armiranje B500B. Tlocrt ploča prikazan je na *Slici 6.3.*, a shema ležajeva na *6.4.*.



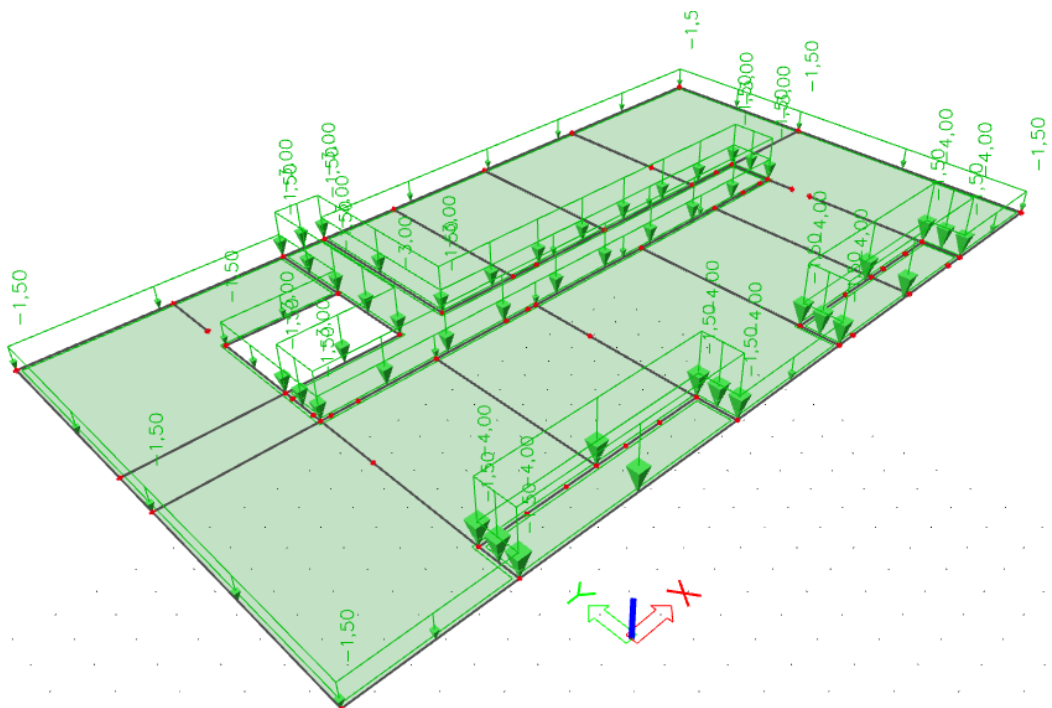
Slika 6.3: Shema ležajeva

6.2.1. Opterećenja

Opterećenje ploče dijeli se na stalno i promjenjivo. U stalno opterećenje spada vlastita težina G i dodatno stalno opterećenje dG . Promjenjivo opterećenje Q predstavlja uporabno opterećenje i utjecaj pokretne opreme. Vlastita težina zadana je automatski.

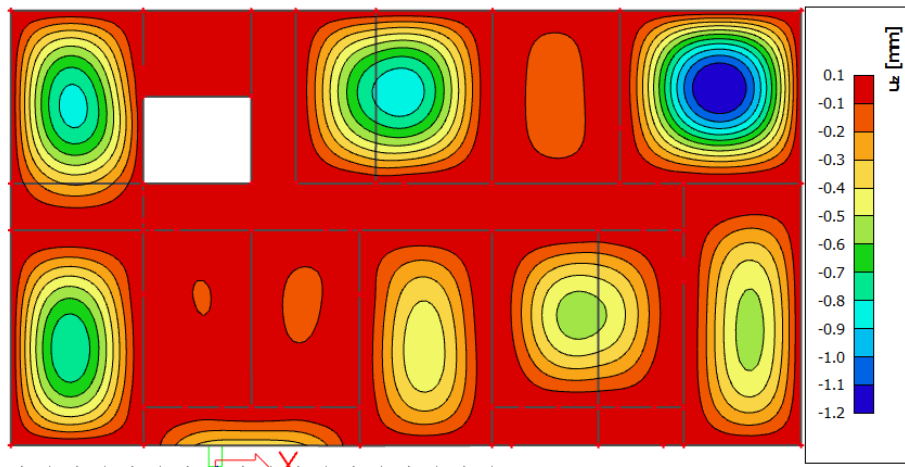


Slika 6.4: Stalno opterećenje G [kN/m²]



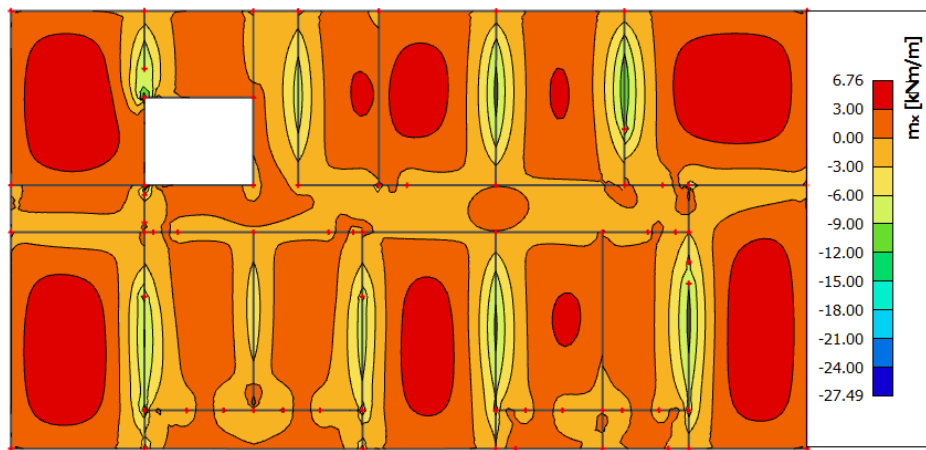
Slika 6.5: *Promjenjivo opterećenje Q [kN/m^2]*

6.2.2. Prikaz rezultata

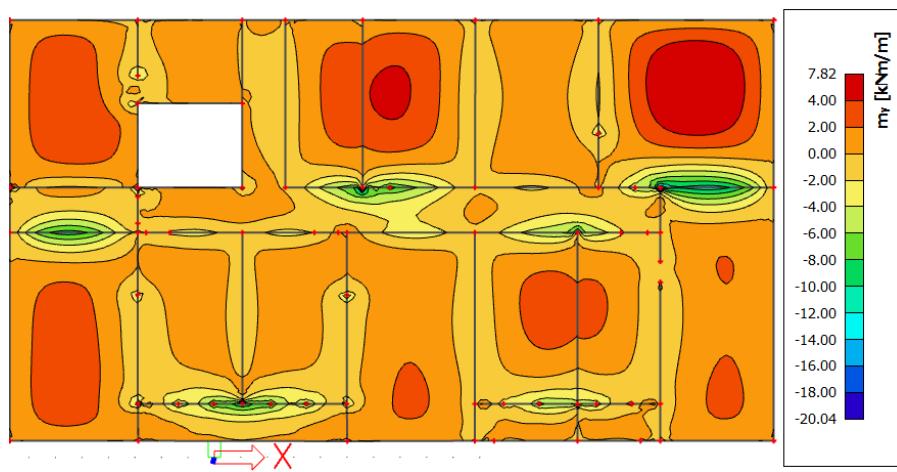


Slika 6.6 Progibi ploča [mm] za kombinaciju GSU-2 ($\delta_{EL} \leq L/1250$)

Maksimalni progib ploča iznosi 1,2 mm dok je dopušteni progib $\delta_{EL} \leq L/1250 = 8,58/1250 = 6,8$ mm.



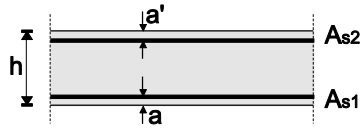
Slika 6.7: Momenți savijanja $M_{Ed,X}$ [kNm/m] za GSN



Slika 6.8: Momenți savijanja $M_{Ed,y}$ [kNm/m] za GSN

6.2.3. Proračun armature ploče

Poprečni presjek ploče



$h=17 \text{ cm}$

zaštitni sloj: $a=2.0 \text{ cm}$; $a'=2.0 \text{ cm}$

$d=14.5 \text{ cm}$

C 25/30

$f_{ck}=25.0 \text{ MPa}$

$E_{cm}=31.5 \text{ GPa}$

$\gamma_c=1.5$

B 500B

$f_y=500 \text{ MPa}$

$\gamma_s=1.15$

Ploča POZICIJE P101

Limitirajući moment savijanja:

$$M_{Ed,lim}=0.159*(b_w*d^2)*f_{cd}$$

$$M_{Ed,lim}=0.159*(1.0*0.145^2)*(25/1.5)*1000=55,72 \text{ kNm}$$

Min. i max. % armature za ploču:

$$A_{s,min}=0.0015*b*d=0.0015*100*14.5=2.18 \text{ cm}^2/\text{m}$$

$$A_{s,min}=0.6*b*d/f_{yk}=0.6*100*14.5/500=1.74 \text{ cm}^2/\text{m}$$

$$A_{s,max}=0.31*b*d*(f_{cd}/f_{yd})=0.31*100*14.5*(25/1.5)/(500/1.15)=17,23 \text{ cm}^2/\text{m}$$

Za proračun armature ploča usvaja se $\zeta \approx 0.9$. Potrebna armatura:

$$A_{s1,s2}=M_{Sd}*100/(\zeta*d*f_{yd})=M_{Sd}*100/(0.9*14.5*(50/1.15))=$$

$$A_{s1,s2}=M_{Sd}*0.176$$

Napomena: Prethodni izrazi vrijede za moment M_{Sd} u [kNm] i armaturu $A_{s1,s2}$ u [cm^2].

Dobivenu armaturu zbog preraspodjele umanjiti nad ležajem za 15 % i povećati u polju 25%.

Računska nosivost na poprečnu silu bez poprečne armature:

$$V_{Rd,c}=[C_{Rd,c}*k*(100*\rho_1*f_{ck})^{1/3}+k_1*\sigma_{cp}]*b_w*d$$

$$C_{Rd,c}=0.18/\gamma_c=0.18/1.5=0.12; k_1=0.15$$

$$k=1+(200/d)^{(1/2)} \leq 2; (d \text{ u mm}); k=1+(200/145)^{(1/2)}=2.17=2.0$$

$$\rho_1=A_{s1}/(b_w d) \leq 0.02 = 3.85/(100*14.5) = 0.0027$$

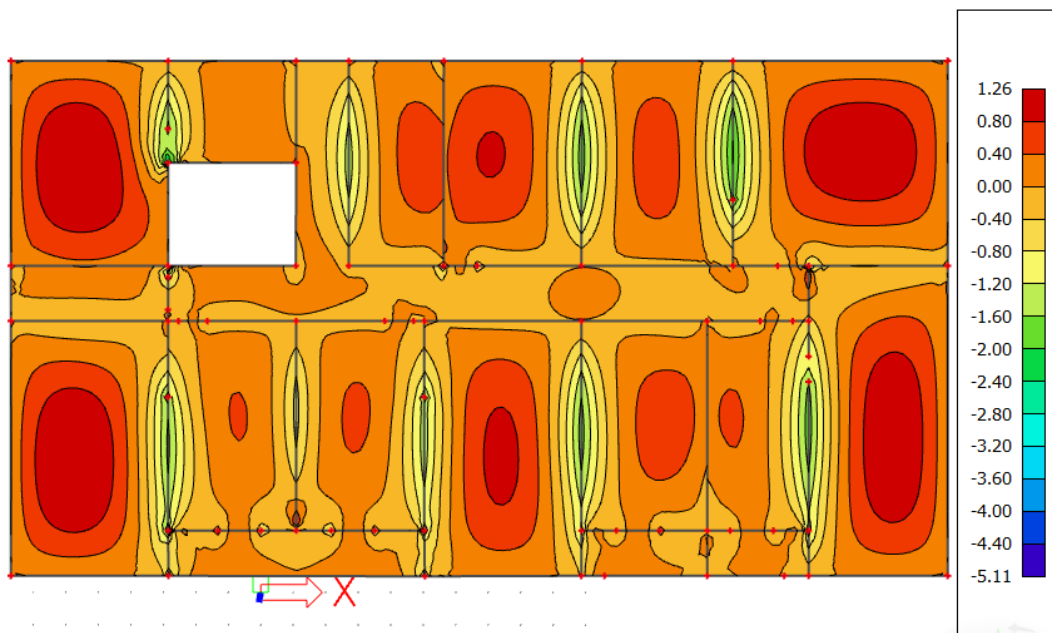
$$V_{Rd,c}=(0.12*2.00*(100*0.0027*25)^{(1/3)}+0.15*0.0)*1.0*0.145*100$$

$$0 V_{Rd,c}=65,76 \text{ kN/m}$$

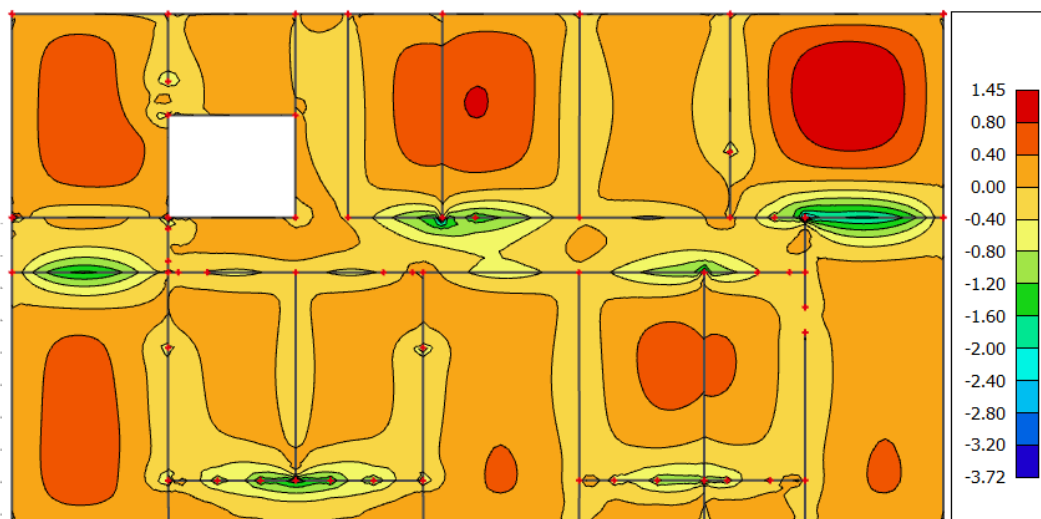
$$V_{min}=0.035*k^{3/2}*f_{ck}^{1/2}=0.035*2.00^{(3/2)}*25.0^{(1/2)}=0.495$$

$$V_{Rd,c,min}=$$

$$(V_{min}+k_1*\sigma_{cp})*b_w*d=(0.495+0.15*0.0)*1.0*0.145*1000=72 \text{ kN/m}$$



Slika 6.9: Armatura u ploči smjer x-x [cm^2/m] za GSN



Slika 6.10: Armatura u ploči smjer y-y [cm^2/m] za GSN

Proračunata armatura odnosi se na egzaktne vrijednosti momenata savijanja u pločama za uobičajenu kombinaciju. Međutim, radi preraspodjele potrebno je izračunatu armaturu u polju povećati za 30%, odnosno smanjiti na ležaju za 15%.

Možemo očitati da je za armiranje donje zone ploče mjerodavan moment:

$$As=1,45 \text{ cm}^2/\text{m}$$

Moment M je uvećan za 25% radi preraspodjele opterećenja.

$$As=1,9 \text{ kNm}^2/\text{m} \rightarrow \text{odabрано Q-226}$$

Moment M je smanjen za 15% radi preraspodjele opterećenja.

$$As=5,11 \text{ cm}^2/\text{m}$$

$$As,k= 4,34 \text{ kNm}^2/\text{m} \rightarrow \text{odabрано R-503}$$

Q226-donja zona u poljima Q335-gornja zona na ležajevima R503-gornja zona na ležajevima

6.3. Proračun širine pukotina

$$W_k \leq W_g$$

Karakteristična širina pukotine:

$$W_k = S_{r,max} \cdot (\varepsilon_{sm} - \varepsilon_{cm})$$

$S_{r,max}$ – maksimalni razmak pukotina

ε_{sm} – srednja deformacija armature pod relevantnom kombinacijom opterećenja, s uključenim efektom od prinudnih deformacija

ε_{cm} – srednja deformacija betona između pukotina

$$(\varepsilon_{sm} - \varepsilon_{cm}) = \frac{\sigma_s - k_t \cdot \frac{f_{ct,eff}}{\rho_{\rho,eff}} \cdot (1 + \alpha_e \cdot \rho_{\rho,eff})}{E_s} \geq 0.6 \cdot \frac{\sigma_s}{E_s}$$

σ_s – naprezanje vlačne armature u potpuno raspucanom betonskom presjeku ($\sigma_s \approx \frac{M_{sd}}{0.9 \cdot d \cdot A_s}$)

α_e – odnos modula elastičnosti betona i čelika (E_s/E_c)

$\rho_{\rho,eff}$ – efektivni koeficijent armiranja vlačne zone betona ($A_s/A_{c,eff}$)

$f_{ct,eff}$ – srednja vrijednost vlačne čvrstoće betona u trenutku očekivane pukotine

k_t – faktor trajanja opterećenja

$k_t = 0.6$ – za kratkotrajno opterećenje

$k_t = 0.4$ – za dugotrajno opterećenje

$$S_{r,max} = k_3 \cdot c + k_1 \cdot k_2 \cdot k_4 \cdot \frac{\emptyset}{\rho_{\rho,eff}}$$

\emptyset – promjer šipke

c – zaštitni sloj betona

k_1 – faktor prionjivosti šipke i betona

$k_1 = 0.8$ – za rebrastu armaturu

k_2 – faktor razdiobe deformacija po presjeku

$k_2 = 0.5$ – za savijanje

$k_3 = 3.4$

$k_4 = 0.425$

- Granična širina pukotine:

$$W_g = 0.3 \text{ mm}$$

6.3.1. Proračun širine pukotina za ploče

$$M_{Ed} = 7,82 \text{ kNm}$$

$$\text{Odabran } Q226 \rightarrow A_s = 2,26 \text{ cm}^2/\text{m}$$

$$\sigma_s = \frac{M_{Ed}}{0.9 \cdot d \cdot A_s} = \frac{782}{0.9 \cdot 13.5 \cdot 2,26} = 28,48 \text{ kNm/cm}^2$$

$$\alpha_e = \frac{E_s}{E_c} = \frac{200}{31.5} = 6.36$$

$$A_{c,eff} = b_w \cdot a \cdot 2.5 = 100 \cdot 3 \cdot 2.5 = 750.0 \text{ cm}^2$$

$$\rho_{\rho,eff} = \frac{A_s}{A_{c,eff}} = \frac{2,26}{750.0} = 0.00301$$

$$(\varepsilon_{sm} - \varepsilon_{cm}) = \frac{\sigma_s - k_t \cdot \frac{f_{ct,eff}}{\rho_{\rho,eff}} \cdot (1 + \alpha_e \cdot \rho_{\rho,eff})}{E_s} \geq 0.6 \cdot \frac{\sigma_s}{E_s}$$

$$\frac{284,8 - 0.4 \cdot \frac{2,6}{0,00301} \cdot (1 + 2,26 \cdot 0,00301)}{200000.0} \geq 0.6 \cdot \frac{0,28}{200000.0}$$

$$-0.000315 \geq 0.00000084$$

$$S_{r,max} = k_3 \cdot c + k_1 \cdot k_2 \cdot k_4 \cdot \frac{\emptyset}{\rho_{\rho,eff}} = 3.4 \cdot 3.0 + 0.8 \cdot 0.5 \cdot 0.425 \cdot \frac{9}{0,00301} = 518,505 \text{ mm}$$

$$W_k = S_{r,max} \cdot (\varepsilon_{sm} - \varepsilon_{cm}) = 518,506 \cdot 0.000315 = 0.163 \text{ mm} \leq 0.3 \text{ mm}$$

Proračun pukotina zadovoljava !

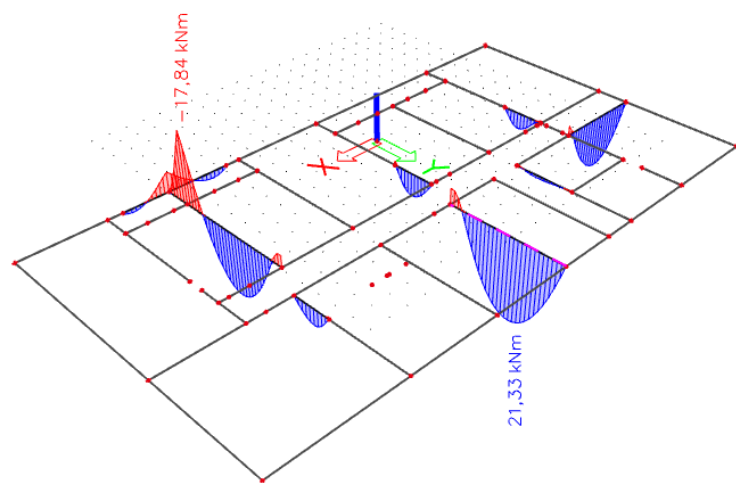
6.4. Grede

Ukoliko moment savijanja prekoračuje vrijednost graničnog momenta nosivosti $M_{Rd,lim}$ dolazi do drobljenja betona, te je potrebno dvostruko armiranje. Granični moment nosivosti računa se prema sljedećem izrazu:

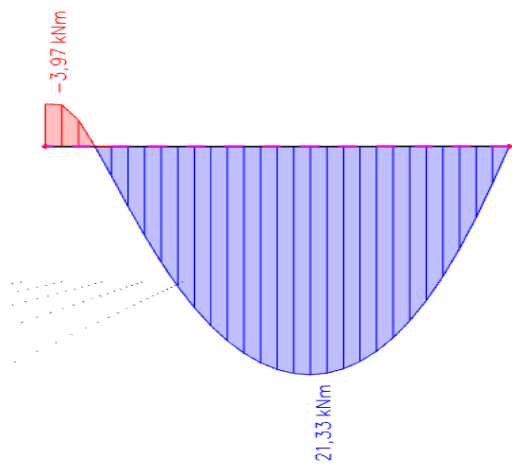
6.4.1. Proračun potrebe armature u gredama

PRORAČUN NA MOMENT SAVIJANJA;

Rezne sile



Slika 6.11: Momenti savijanja $MS_{d,y}$ [kNm] na gredama za osnovnu kombinaciju
GSN-1=1,35G +1,50Q1



Slika 6.12: Mjerodavni momenti savijanja $MS_{d,y}$ [kNm] na gredama za osnovnu kombinaciju
GSN-1=1,35G +1,50Q1

Mjerodavne rezne sile u gredama iznose:

$$M_{sd}, \text{polje} = 21,33 \text{ kNm}$$

$$M_{sd}, \text{ležaj} = -17,84 \text{ kNm}$$

Beton: C 25/30 ; $f_{ck} = 25 \text{ MPa}$
 $f_{cd} = 25/1,5 = 16,67 \text{ MPa}$
 Armatura: B 500B
 $F_{yd} = 500/1,15 = 434,8 \text{ MPa}$

Mjerodavne rezne sile u gredama iznose (maksimalni moment i pripadajuća uzdužna i poprečna sila):

$$M_{ed} = 21,33 \text{ kNm}; V_{ed} = 14,69 \text{ kN}$$

$$A_{s,min} = 0,0015 * b_w * d = 0,0015 * 250 * 500 = 1,88 \text{ cm}^2$$

$$A_{s,max} = 0,31 * b_w * d * (f_{cd}/f_{yd}) = 14,85 \text{ cm}^2$$

Granični moment nosivosti

$$M_{Ed,lim} = \mu_{ed,lim} * b * d^2 * f_{cd} = 0,159 * 0,25 * 0,5^2 * 16,67 = 165,66 \text{ kNm}$$

$$M_{rd,lim} \geq M_{eds}$$

Nije potrebna tlačna armatura

Vlačna armatura:

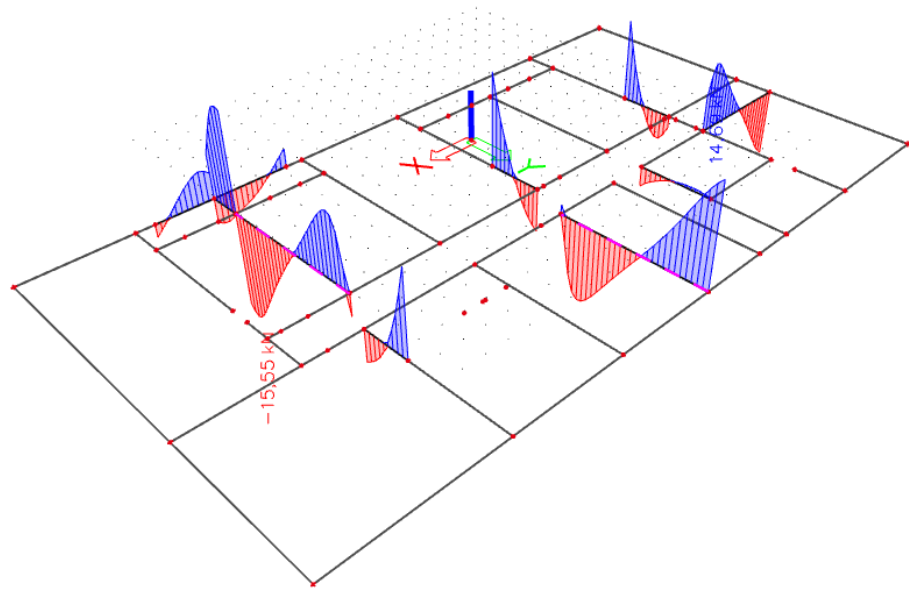
PRORAČUN NA POPREČNU SILU;

$$\mu_{ed} = M_{eds} / (b * d^2 * f_{cd}) = 21,33 * 100 / (25 * 50^2 * 1,67) = 0,020$$

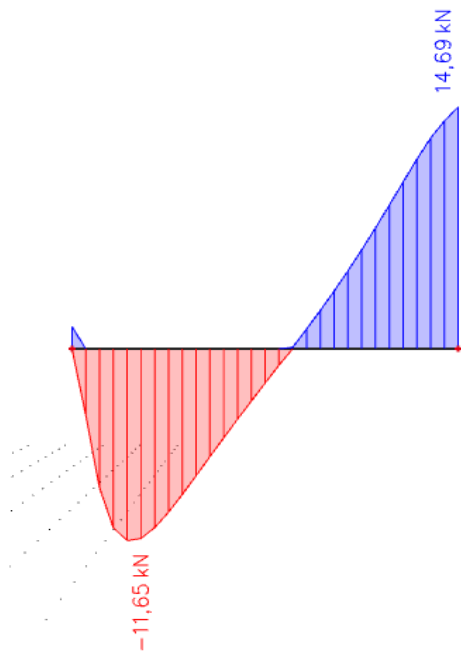
$$\varepsilon_{c2} = 0,8\%; \zeta = 0,974; \xi = 0,074$$

$$A_{s1} = M_{Sd} * 100 / (\zeta * d * f_{yd}) = 21,33 * 100 / (0,974 * 500 * 43,48) = 1,0 \text{ cm}^2$$

Odabrano je 2Ø12 ($A_{s1} = 2,21 \text{ cm}^2$)



Slika 6.13: Poprečne sile VSd,z [kN] na gredama za osnovnu kombinaciju GSN-I=1,35G +1,50Q1



Slika 6.14: Mjerodavna poprečna sila VSd,z [kN] na gredama za osnovnu kombinaciju
GSN-I=1,35G +1,50Q

Proračunska posmična otpornost elementa bez poprečne armature:

$$V_{Rd,C} = [C_{Rd,c} * k * (100 * I * f_{ck})^{1/3} + k_1 * \sigma_{cp}] * b_w * d \geq (v_{min} + k_1 * \sigma_{cp}) * b_w * d \quad (f_{ck} u \text{ MPa})$$

$$V_{Rd,C} = [0,12 * 1,63 * (100 * 0,002 * 25)^{1/3} + 0,15 * 0] * 250 * 500 = 41808,82 \text{ N} = 41,81 \text{ kN}$$

$$(0,45 + 0,15 * 0) * 250 * 500 = 56250 \text{ N} = 56,25 \text{ kN}$$

$$k = 1 + (200/500)^{1/2} = 1,63 \leq 2.0 \quad (\text{d u mm})$$

$$= A_{s1} / (b_w * d) = 0,002 \leq 0,02$$

$$v_{min} = 0,035 * k^{3/2} * f_{ck}^{1/2} = 0,45$$

$$C_{Rd,c} = 0,18 / \gamma_c = 0,12 \quad k_1 = 0,15$$

$$V_{Rd,C} < (v_{min} + k_1 * \sigma_{cp}) * b_w * d$$

Nije zadovoljeno!

$$V_{ed} = 14,69 < V_{rdc} = 56,25$$

Nosivost tlačnih štapova:

$$V_{Rd,max} = 0,5 * v * f_{cd} * b_w * d = 0,5 * 0,54 * 16,67 * 250 * 500 = 562613 \text{ N} = 562,61 \text{ kN}$$

$$v = 0,6(1 - f_{ck}/250) = 0,6(1 - 25/250) = 0,54$$

Minimalna armatura - vilice:

$$A_{sw,min} = v_{min} * s_w * b_w / m = 0,0011 * s_w * b_w / m$$

Nosivost na poprečnu silu s armaturom:

$$V_{Rd,s} = A_{sw} * f_{yw,d} * m * z / s_w; A_{sw} = površina jedne grane vilice$$

$$s_w = razmak spona; f_{yw,d} = 500 / 1,15 = 434,8 \text{ MPa}; m = 2 \text{ (reznost)}$$

$$V_{ed} / V_{rd} = 15,4 / 562,61 = 0,027 \rightarrow s = 30$$

Potrebna računska poprečna armatura!

$$A_{sw,min} = \frac{\rho_{min} \cdot s_w \cdot b_w}{m} = \frac{0,0011 \cdot 30 \cdot 25}{2} = 0,41 \text{ cm}^2$$

Odabrane minimalne spone: **Ø10/30** ($A_{sw} = 0,79 \text{ cm}^2$)

$$f_{ywd} = \frac{f_{yk}}{\gamma_s}; \quad B \cdot 500B \Rightarrow f_{ywd} = \frac{500}{1.15} = 434.8 \text{ MPa} = 43.48 \text{ kN/cm}^2$$

$$V_{Rd} = V_{Rd,s} = \frac{A_{sw}}{s} \cdot z \cdot f_{ywd} \cdot m \cdot ctg \theta$$

$$V_{Rd,s} = \frac{0.79}{30} \cdot (0.9 \cdot 45) \cdot 43.48 \cdot 2 = 92.74 \text{ kN}$$

$$V_{Ed} < V_{Rd}$$

Postaviti spone **Ø10/30** ($A_{sw}=0.79 \text{ cm}^2$)

6.5. Temelji

Proračun temelja je izvršen pojednostavljenim postupkom, gdje će se odrediti širina temeljnih traka s obzirom na uzdužnu silu na dodiru temelj-tlo i dopuštenog naprezanja u tlu.

Iz dobivenih reakcija na linijskim osloncima ispod zidova uzete se srednje vrijednosti naprezanja na zidovima.

$$B = N_{sd}/(\sigma R_d \cdot L)$$

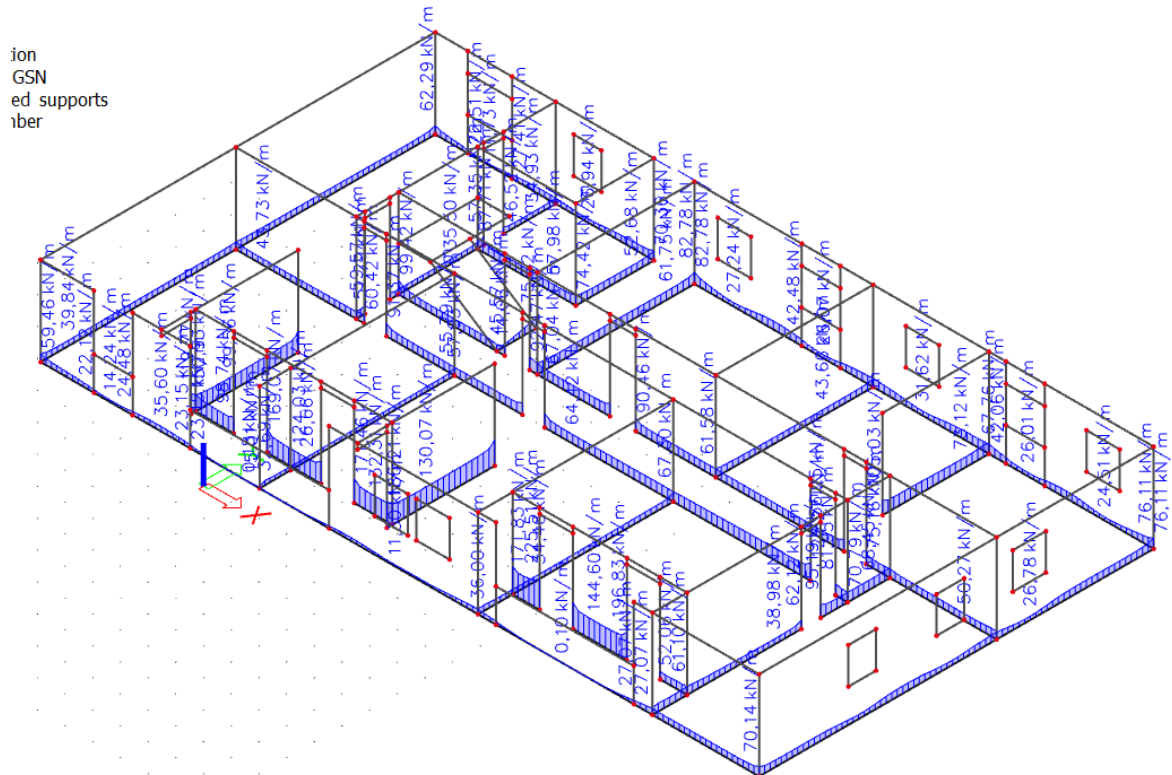
gdje je:

- B - širina temelja

- L - duljina temelja

- N_{sd} - uzdužna sila na dodiru temelj-tlo (dobivena od vlastite težine zida, vlastite težine temelja, stalnog opterećenja, promjenjivog opterećenja.

N_{sd} se uzima kao faktorizirana vrijednost: $N_{sd} = 1,35 \cdot N_g + 1,5 \cdot N_q$



Slika 6.15: Reakcije na linijskim osloncima Rz za kombinaciju GSN

σ_{Rd} – računska nosivost tla, $\sigma_{Rd} = 0,30$ Mpa. Proračun temelja prikazat će se u tablici 6.3. i 6.4

Tablica 6.3:Prikaz proračuna širina temeljnih traka

| Temeljna traka | 1 duljina temelja L [m] | 2 računska nosivost σ_{Ed} [kPa] | 3 minimalna širina temelja m |
|----------------|----------------------------|--|---------------------------------|
| T 1/A-M | 25,95 | 41,7 | 0,14 |
| T 2/D-E | 3,55 | 73,0 | 0,24 |
| T 3/A-M | 25,95 | 72,0 | 0,24 |
| T 4/A-M | 25,95 | 74,7 | 0,25 |
| T 5/D-G | 7,10 | 135,9 | 0,45 |
| T 5/J-L | 6,30 | 142,0 | 0,47 |
| T 6/A-M | 25,95 | 26,7 | 0,09 |
| | | | |
| T A/1-6 | 14,25 | 51,1 | 0,17 |
| T D/1-6 | 14,25 | 68,2 | 0,23 |
| T E/1-6 | 14,25 | 42,9 | 0,14 |
| T F/1-3 | 5,70 | 72,3 | 0,24 |
| T G/3-6 | 7,05 | 154,1 | 0,51 |
| T J/1-6 | 14,25 | 51,8 | 0,17 |
| T K/1-3 | 7,10 | 84,1 | 0,28 |
| T L/3-6 | 8,60 | 66,4 | 0,22 |
| T M/1-6 | 14,25 | 51,5 | 0,17 |

Tablica 6.4:Prikaz proračuna naprezanja ispod temeljnih traka

| Temeljna traka | 1 širina temelja b [m] | 2 duljina temelja L [m] | 3 $N_{sd}=1,35 \cdot N_g + 1,5 \cdot N_q$ N_{sd} [kN] | 4 računska nosivost σ_{Ed} [kN] | 5 σ_{Ed}/σ_{Rd} [%] |
|----------------|---------------------------|----------------------------|---|---|------------------------------------|
| T 1/A-M | 0,50 | 25,95 | 1083,15 | 83,5 | 0,28 |
| T 2/D-E | 0,50 | 3,55 | 259,15 | 146,0 | 0,49 |
| T 3/A-M | 0,50 | 25,95 | 1868,66 | 144,0 | 0,48 |
| T 4/A-M | 0,50 | 25,95 | 1939,50 | 149,5 | 0,50 |
| T 5/D-G | 0,80 | 7,10 | 964,89 | 169,9 | 0,57 |
| T 5/J-L | 0,80 | 6,30 | 894,54 | 177,5 | 0,59 |
| T 6/A-M | 0,50 | 25,95 | 693,38 | 53,4 | 0,18 |
| | | | | | |
| T A/1-6 | 0,50 | 14,25 | 727,75 | 102,1 | 0,34 |
| T D/1-6 | 0,50 | 14,25 | 971,99 | 136,4 | 0,45 |
| T E/1-6 | 0,50 | 14,25 | 611,33 | 85,8 | 0,29 |
| T F/1-3 | 0,50 | 5,70 | 411,94 | 144,5 | 0,48 |
| T G/3-6 | 0,80 | 7,05 | 1086,69 | 192,7 | 0,64 |
| T J/1-6 | 0,50 | 14,25 | 737,44 | 103,5 | 0,35 |
| T K/1-3 | 0,50 | 7,10 | 596,97 | 168,2 | 0,56 |
| T L/3-6 | 0,50 | 8,60 | 571,38 | 132,9 | 0,44 |
| T M/1-6 | 0,50 | 14,25 | 733,16 | 102,9 | 0,34 |

7. Glavni projekt fizike zgrade

Proračun fizike zgrade je rađen pomoću računalnog programa KI EXPERT PLUS.

Verzija KI EXPERT PLUS namijenjena je projektantima i uskladena je u potpunosti s Tehničkim propisom o racionalnoj uporabi energije i toplinskoj zaštiti u zgradama („Narodne novine“ broj 128/2015), Algoritmom za proračun potrebne energije za grijanje i hlađenje prostora zgrade prema HRN EN ISO 13790 te najnovijim Pravilnikom o energetskom pregledu zgrade i energetskom certificiranju („Narodne novine“ broj 88/17.)

7.1. Tehnički opis

Osnovni cilj energetskog pregleda zgrade je prikupljanjem i obradom podataka o tehničkim sustavima zgrade dobiti uvid u energetska svojstva zgrade.

Predmetna građevina je stambena zgrada na četiri etaže.. Ukupna bruto površina kata građevine iznosi $369,8 \text{ m}^2$. Visina etaže je 3,20 m, dok je debljina ploče 0,17 m, što čini ukupnu visinu od 12,8 m. Obujam grijanog dijela zgrade iznosi $4002,39 \text{ m}^3$, ploština pročelja $1090,82 \text{ m}^2$ dok je površina otvora 130 m^2

Vanjski zidovi izvedeni su od blok opeke $d=25\text{cm}$. Unutrašnja žbuka je vapneno cementna dok se sa vanjske strane redaju slojevi ljepila, mineralne vune i silikatne žbuke . Unutrašnji zidovi su također od blok opeke debljine $d=25\text{cm}$ te obostrano premazani vapneno- cementnom žbukom.

Pod je izведен od armiranog betona debljine 15 cm, a termoizolaciju i hidroizolaciju postavljamo sa unutrašnje strane građevine. Međukatna konstrukcija je debljine 17 cm te sadržava plivajući pod radi smanjenja udarne buke. Slojevi koji čine međukatnu konstrukciju su cementni estrih, LDS, podna ploča-TPT, armirani beton i cementna žbuka. Krovna konstrukcija je izvedena kao ravni krov .Termoizolacija (XPS) je izvedena sa vanjske strane krova u debljini od 15 cm. .

7.2. Podaci o lokaciji objekta

Predmetna građevina se nalazi u 5. zoni globalnog Sunčevog zračenja sa srednjom mjesecnom temperaturom vanjskog zraka najhladnijeg mjeseca na lokaciji zgrade $\Theta_{e,mj,min} > 3^{\circ}\text{C}$ i unutarnjom temperaturom $\Theta_i \geq 18^{\circ}\text{C}$.

Lokacija:

Referentna postaja: Split Marjan

| | I | II | III | IV | V | VI | VII | VIII | IX | X | XI | XII | God. |
|------------------------------|----------------------------|------|------|------|------|------|------|------|------|------|---------------------------|-------|------|
| Temperature zraka (° C) | | | | | | | | | | | | | |
| m | 8,5 | 7,7 | 10,4 | 15,3 | 20,4 | 25,4 | 25 | 27,6 | 22,9 | 15,8 | 11,9 | 10,7 | 16,9 |
| min | -3 | -2,9 | -1,5 | 2,6 | 8,8 | 14,1 | 18,6 | 16,4 | 12,5 | 6,1 | 1,8 | -2,8 | -3 |
| max | 15 | 15,4 | 18,7 | 23,8 | 28,1 | 32,2 | 32,2 | 32,9 | 29,4 | 23,7 | 23,4 | 16,5 | 32,9 |
| Tlak vodene pare (Pa) | | | | | | | | | | | | | |
| m | 680 | 690 | 790 | 960 | 1280 | 1550 | 1620 | 1640 | 1510 | 1220 | 970 | 750 | 1140 |
| Relativna vlažnost zraka (%) | | | | | | | | | | | | | |
| m | 61 | 58 | 60 | 60 | 56 | 54 | 49 | 52 | 59 | 63 | 65 | 61 | 58 |
| Brzina vjetra (m/s) | | | | | | | | | | | | | |
| m | 3,5 | 5 | 4,7 | 4,2 | 3,5 | 3 | 3,1 | 3 | 3,3 | 3,9 | 4,7 | 4,7 | 4 |
| Broj dana grijanja | | | | | | | | | | | | | |
| | Temperatura vanjskog zraka | | | | | | | | | | $\leq 10^{\circ}\text{C}$ | 83,1 | |
| | | | | | | | | | | | $\leq 12^{\circ}\text{C}$ | 121,6 | |
| | | | | | | | | | | | $\leq 15^{\circ}\text{C}$ | 168,4 | |

| Orij | [°] | I | II | III | IV | V | VI | VII | VIII | IX | X | XI | XII | God. |
|--------|-------|---|-----|-----|-----|-----|-----|-----|------|-----|-----|-----|-----|------|
| | | Globalno Sunčev zračenje (MJ/m ²) | | | | | | | | | | | | |
| S | 0 | 191 | 267 | 424 | 533 | 677 | 749 | 777 | 665 | 501 | 370 | 207 | 161 | 5522 |
| | 15 | 256 | 337 | 483 | 561 | 681 | 738 | 773 | 691 | 560 | 457 | 275 | 219 | 6032 |
| | 30 | 309 | 389 | 517 | 564 | 657 | 698 | 738 | 685 | 591 | 520 | 328 | 268 | 6265 |
| | 45 | 345 | 421 | 526 | 541 | 605 | 631 | 672 | 647 | 591 | 555 | 364 | 301 | 6199 |
| | 60 | 361 | 430 | 507 | 493 | 529 | 539 | 578 | 579 | 561 | 559 | 379 | 318 | 3834 |
| | 75 | 358 | 414 | 464 | 424 | 435 | 431 | 465 | 486 | 502 | 533 | 373 | 317 | 5202 |
| | 90 | 335 | 376 | 398 | 339 | 330 | 316 | 342 | 376 | 418 | 476 | 347 | 298 | 4351 |
| SE, SW | 0 | 191 | 267 | 424 | 533 | 677 | 749 | 777 | 665 | 501 | 370 | 207 | 161 | 5522 |
| | 15 | 237 | 316 | 466 | 554 | 681 | 742 | 775 | 685 | 544 | 431 | 254 | 202 | 5886 |
| | 30 | 271 | 351 | 489 | 557 | 664 | 714 | 752 | 683 | 566 | 474 | 289 | 233 | 6043 |
| | 45 | 292 | 369 | 492 | 539 | 626 | 664 | 704 | 655 | 565 | 494 | 310 | 253 | 5961 |
| | 60 | 298 | 368 | 473 | 501 | 567 | 594 | 633 | 604 | 539 | 489 | 314 | 259 | 3639 |
| | 75 | 288 | 349 | 434 | 445 | 492 | 507 | 544 | 532 | 490 | 460 | 303 | 252 | 5094 |
| | 90 | 263 | 313 | 378 | 377 | 406 | 413 | 444 | 445 | 422 | 409 | 276 | 232 | 4376 |
| E, W | 0 | 191 | 267 | 424 | 533 | 677 | 749 | 777 | 665 | 501 | 370 | 207 | 161 | 5522 |
| | 15 | 192 | 268 | 422 | 528 | 670 | 740 | 768 | 659 | 499 | 370 | 209 | 162 | 5485 |
| | 30 | 193 | 267 | 416 | 514 | 648 | 715 | 742 | 641 | 490 | 368 | 209 | 163 | 5367 |
| | 45 | 191 | 262 | 402 | 491 | 614 | 675 | 703 | 611 | 473 | 361 | 206 | 161 | 5150 |
| | 60 | 183 | 251 | 378 | 457 | 567 | 621 | 649 | 568 | 445 | 345 | 198 | 155 | 4817 |
| | 75 | 171 | 232 | 346 | 413 | 508 | 555 | 581 | 513 | 407 | 319 | 185 | 144 | 4372 |
| | 90 | 153 | 207 | 304 | 360 | 440 | 480 | 504 | 447 | 358 | 284 | 165 | 130 | 3831 |
| NE, NW | 0 | 191 | 267 | 424 | 533 | 677 | 749 | 777 | 665 | 501 | 370 | 207 | 161 | 5522 |
| | 15 | 146 | 215 | 372 | 494 | 651 | 731 | 751 | 623 | 444 | 301 | 160 | 121 | 5009 |
| | 30 | 115 | 173 | 319 | 443 | 600 | 680 | 693 | 561 | 383 | 244 | 127 | 95 | 4434 |
| | 45 | 87 | 144 | 276 | 391 | 635 | 609 | 618 | 494 | 330 | 205 | 98 | 74 | 3862 |
| | 60 | 78 | 104 | 237 | 345 | 472 | 536 | 543 | 435 | 287 | 153 | 81 | 69 | 3340 |
| | 75 | 72 | 88 | 171 | 290 | 414 | 470 | 476 | 373 | 216 | 113 | 75 | 63 | 2821 |
| | 90 | 64 | 81 | 133 | 202 | 319 | 374 | 370 | 265 | 143 | 104 | 68 | 57 | 2181 |
| E, N | 0 | 191 | 267 | 424 | 533 | 677 | 749 | 777 | 665 | 501 | 370 | 207 | 161 | 5522 |
| | 15 | 117 | 185 | 346 | 478 | 637 | 716 | 734 | 604 | 417 | 264 | 131 | 95 | 4721 |
| | 30 | 87 | 109 | 253 | 400 | 559 | 634 | 643 | 509 | 314 | 153 | 91 | 78 | 3830 |
| | 45 | 83 | 101 | 175 | 306 | 454 | 519 | 518 | 391 | 203 | 125 | 125 | 74 | 3036 |
| | 60 | 78 | 95 | 158 | 212 | 333 | 382 | 371 | 259 | 159 | 119 | 81 | 69 | 2317 |
| | 75 | 72 | 88 | 146 | 185 | 227 | 238 | 227 | 200 | 150 | 112 | 75 | 63 | 1782 |
| | 90 | 64 | 81 | 133 | 168 | 208 | 211 | 210 | 186 | 140 | 104 | 68 | 57 | 1631 |

Zona 1 - Zona 1

| Uvjet | Status |
|---|-------------|
| Koeficijenti prolaska topline | ZADOVOLJAVA |
| Difuzija | ZADOVOLJAVA |
| Dinamičke toplinske karakteristike | ZADOVOLJAVA |
| Korisna energija | ZADOVOLJAVA |
| Primarna energija | ZADOVOLJAVA |
| Potrebni podaci | Zona 1 |
| Oplošje grijanog dijela zgrade – A [m ²] | 2389,34 |
| Obujam grijanog dijela zgrade – V _e [m ³] | 4065,90 |
| Obujam grijanog zraka – V [m ³] | 3252,72 |
| Faktor oblika zgrade - f ₀ [m ⁻¹] | 0,59 |
| Ploština korisne površine grijanog dijela zgrade – A _k | 1270,60 |
| Ukupna ploština pročelja – A _{uk} [m ²] | 1459,82 |
| Ukupna ploština prozora – A _{wuk} [m ²] | 134,07 |

Gradjevni dijelovi zgrade, slojevi i obrada**Vanjski zidovi 1 - Z1 g-v**

| R.b. | Materijal | d [cm] | λ [W/mK] | μ [-] | sd [m] | ρ [kg/m³] |
|---------------------------|------------------------------|--------|----------|--------|--------|-----------|
| 1 | 3.03 Vapneno-cementna | 2,000 | 1,000 | 20,00 | 0,40 | 1800,00 |
| 2 | 1.10 Šuplji blokovi od gline | 25,000 | 0,420 | 6,00 | 1,50 | 900,00 |
| 3 | Polimerno-cementno ljepilo | 0,500 | 0,900 | 14,00 | 0,07 | 1650,00 |
| 4 | 7.01 Mineralna vuna (MW) | 6,000 | 0,034 | 1,00 | 0,06 | 25,00 |
| 5 | Polimerno-cementno ljepilo | 0,500 | 0,900 | 14,00 | 0,07 | 1650,00 |
| 6 | Impregnacijski predpremaz | 0,100 | 1,600 | 30,00 | 0,03 | 1100,00 |
| 7 | 3.16 Silikatna žbuka | 0,200 | 0,900 | 60,00 | 0,12 | 1800,00 |
| | | | | | | |
| Definirane ploštine [m²]: | | | | Istok | 178,97 | |
| | | | | Sjever | 300,74 | |
| | | | | Zapad | 194,33 | |
| | | | | Jug | 286,76 | |

Vanjski zidovi 2 - Z3 n-v

| R.b. | Materijal | d [cm] | λ [W/mK] | μ [-] | sd [m] | ρ [kg/m³] |
|---------------------------|------------------------------|--------|----------|--------|--------|-----------|
| 1 | 3.03 Vapneno-cementna | 2,000 | 1,000 | 20,00 | 0,40 | 1800,00 |
| 2 | 1.10 Šuplji blokovi od gline | 25,000 | 0,420 | 6,00 | 1,50 | 900,00 |
| 3 | Polimerno-cementno ljepilo | 0,500 | 0,900 | 14,00 | 0,07 | 1650,00 |
| 4 | 7.01 Mineralna vuna (MW) | 6,000 | 0,034 | 1,00 | 0,06 | 25,00 |
| 5 | Polimerno-cementno ljepilo | 0,500 | 0,900 | 14,00 | 0,07 | 1650,00 |
| 6 | Impregnacijski predpremaz | 0,100 | 1,600 | 30,00 | 0,03 | 1100,00 |
| 7 | 3.16 Silikatna žbuka | 0,200 | 0,900 | 60,00 | 0,12 | 1800,00 |
| | | | | | | |
| Definirane ploštine [m²]: | | | | Sjever | 11,88 | |

Zidovi prema negrijanim prostorijama 1 - Z2 g-n

| R.b. | Materijal | d [cm] | λ [W/mK] | μ [-] | sd [m] | ρ [kg/m ³] |
|--|--|--------|------------------|-------------|--------|-----------------------------|
| 1 | 3.03 Vapneno-cementna | 2,000 | 1,000 | 20,00 | 0,40 | 1800,00 |
| 2 | 1.08 Šuplji blokovi od gline | 25,000 | 0,480 | 10,00 | 2,50 | 1100,00 |
| 3 | Knauf Insulation ploča za pregradne zidove AKUSTIK | 4,000 | 0,037 | 1,10 | 0,04 | 16,00 |
| 4 | Polimerno-cementno ljeplilo | 0,500 | 0,900 | 14,00 | 0,07 | 1650,00 |
| 5 | 3.03 Vapneno-cementna | 2,000 | 1,000 | 20,00 | 0,40 | 1800,00 |
| | | | | | | |
| Definirana ploština [m ²]: | | | | | | 565,65 |

Zidovi između grijanih dijelova različitih korisnika 1 - Z4 g-g

| R.b. | Materijal | d [cm] | λ [W/mK] | μ [-] | sd [m] | ρ [kg/m ³] |
|--|--|--------|------------------|-------------|--------|-----------------------------|
| 1 | 3.03 Vapneno-cementna | 2,000 | 1,000 | 20,00 | 0,40 | 1800,00 |
| 2 | 1.08 Šuplji blokovi od gline | 25,000 | 0,480 | 10,00 | 2,50 | 1100,00 |
| 3 | Knauf Insulation ploča za pregradne zidove AKUSTIK | 4,000 | 0,037 | 1,10 | 0,04 | 16,00 |
| 4 | Polimerno-cementno ljeplilo | 0,500 | 0,900 | 14,00 | 0,07 | 1650,00 |
| 5 | 3.03 Vapneno-cementna | 2,000 | 1,000 | 20,00 | 0,40 | 1800,00 |
| | | | | | | |
| Definirana ploština [m ²]: | | | | | | 562,56 |

Stropovi između grijanih dijelova različitih korisnika 1 - Mk1 g-g

| | | | | | | |
|--|---|--------|-------|-----------|-------|---------|
| 1 | 3.19 Cementni estrih | 5,000 | 1,600 | 50,00 | 2,50 | 2000,00 |
| 2 | Knauf Insulation LDS 35 | 0,020 | 0,500 | 205000,00 | 20,00 | 500,00 |
| 3 | Knauf Insulation podna ploča NaturBoard TPT | 5,000 | 0,036 | 1,10 | 0,06 | 130,00 |
| 4 | Knauf Insulation LDS 35 | 0,020 | 0,500 | 205000,00 | 20,00 | 500,00 |
| 5 | 2.01 Armirani beton | 17,000 | 2,600 | 110,00 | 18,70 | 2500,00 |
| 6 | 3.01 Cementna žbuka | 1,500 | 1,600 | 30,00 | 0,45 | 2000,00 |
| | | | | | | |
| Definirana ploština [m ²]: | | | | | | 353,07 |

Podovi na tlu 1 - P1 g-tlo

| R.b. | Materijal | d [cm] | λ [W/mK] | μ [-] | sd [m] | ρ [kg/m ³] |
|--|---|--------|------------------|-----------|--------|-----------------------------|
| 1 | 3.19 Cementni estrih | 6,000 | 1,600 | 50,00 | 3,00 | 2000,00 |
| 2 | Knauf Insulation LDS 100 | 0,020 | 0,500 | 350000,00 | 20,00 | 450,00 |
| 3 | 7.03 Ekstrudirana polistir. | 8,000 | 0,036 | 140,00 | 11,20 | 37,50 |
| 4 | Geotekstil 150-200 g/m ² | 0,020 | 0,200 | 1000,00 | 0,20 | 900,00 |
| 5 | 5.01 Bitum. traka s uloškom | 1,000 | 0,230 | 50000,00 | 500,00 | 1100,00 |
| 6 | 2.03 Beton | 15,000 | 2,000 | 100,00 | 15,00 | 2400,00 |
| 7 | 6.04 Pijesak, šljunak, tucanik (drobljenac) | 30,000 | 0,810 | 3,00 | 0,90 | 1700,00 |
| Definirana ploština [m ²]: | | | | | | 317,65 |

Podovi na tlu 2 - P2 n-tlo

| R.b. | Materijal | d [cm] | λ [W/mK] | μ [-] | sd [m] | ρ [kg/m ³] |
|--|---|--------|------------------|-----------|--------|-----------------------------|
| 1 | 3.19 Cementni estrih | 6,000 | 1,600 | 50,00 | 3,00 | 2000,00 |
| 2 | Knauf Insulation LDS 100 | 0,020 | 0,500 | 350000,00 | 20,00 | 450,00 |
| 3 | 7.03 Ekstrudirana polistir. | 8,000 | 0,036 | 140,00 | 11,20 | 37,50 |
| 4 | Geotekstil 150-200 g/m ² | 0,020 | 0,200 | 1000,00 | 0,20 | 900,00 |
| 5 | 5.01 Bitum. traka s uloškom | 1,000 | 0,230 | 50000,00 | 500,00 | 1100,00 |
| 6 | 2.03 Beton | 15,000 | 2,000 | 100,00 | 15,00 | 2400,00 |
| 7 | 6.04 Pijesak, šljunak, tucanik (drobljenac) | 30,000 | 0,810 | 3,00 | 0,90 | 1700,00 |
| Definirana ploština [m ²]: | | | | | | 35,42 |

Ravni krovovi iznad grijanog prostora 1 - K1 g-v

| R.b. | Materijal | d [cm] | λ [W/mK] | μ [-] | sd [m] | ρ [kg/m ³] |
|--|-------------------------------------|--------|------------------|-------------|----------|-----------------------------|
| 1 | 3.01 Cementna žbuka | 1,500 | 1,600 | 30,00 | 0,45 | 2000,00 |
| 2 | 2.01 Armirani beton | 17,000 | 2,600 | 110,00 | 18,70 | 2500,00 |
| 3 | Bitumenska ljepenka (traka) | 0,300 | 0,230 | 50000,00 | 150,00 | 1100,00 |
| 4 | Aluminijksa folija 0,05 mm | 0,001 | 160,000 | 30000000,00 | 1,00 | 2800,00 |
| 5 | Bitumenska ljepenka (traka) | 0,300 | 0,230 | 50000,00 | 150,00 | 1100,00 |
| 6 | Geotekstil 150-200 g/m ² | 0,020 | 0,200 | 1000,00 | 0,20 | 900,00 |
| 7 | 7.03 Ekstrudirana polistir. | 15,000 | 0,036 | 140,00 | 21,00 | 37,50 |
| 8 | Geotekstil 500 g/m ² | 0,020 | 0,200 | 1000,00 | 0,20 | 900,00 |
| 9 | Tvrda guma (ebonit), kruta | 1,500 | 0,170 | 1000000,00 | 1.500,00 | 1200,00 |
| 10 | 2.03 Beton | 3,000 | 2,000 | 100,00 | 3,00 | 2400,00 |
| Definirana ploština [m ²]: | | | | | | 317,65 |

| Ravni krovovi iznad grijanog prostora 2 - K2 n-v | | | | | | |
|---|-------------------------------------|---------------|-----------------|--------------|---------------|-----------------------------|
| R.b. | Materijal | d [cm] | λ [W/mK] | μ [-] | sd [m] | ρ [kg/m³] |
| 1 | 3.01 Cementna žbuka | 1,500 | 1,600 | 30,00 | 0,45 | 2000,00 |
| 2 | 2.01 Armirani beton | 17,000 | 2,600 | 110,00 | 18,70 | 2500,00 |
| 3 | Bitumenska ljepenka (traka) | 0,300 | 0,230 | 50000,00 | 150,00 | 1100,00 |
| 4 | Aluminijска folija 0,05 mm | 0,001 | 160,000 | 30000000,00 | 1,00 | 2800,00 |
| 5 | Bitumenska ljepenka (traka) | 0,300 | 0,230 | 50000,00 | 150,00 | 1100,00 |
| 6 | Geotekstil 150-200 g/m ² | 0,020 | 0,200 | 1000,00 | 0,20 | 900,00 |
| 7 | 7.03 Ekstrudirana polistir. | 15,000 | 0,036 | 140,00 | 21,00 | 37,50 |
| 8 | Geotekstil 500 g/m ² | 0,020 | 0,200 | 1000,00 | 0,20 | 900,00 |
| 9 | Tvrda guma (ebonit), kruta | 1,500 | 0,170 | 1000000,00 | 1.500,00 | 1200,00 |
| 10 | 2.03 Beton | 3,000 | 2,000 | 100,00 | 3,00 | 2400,00 |
| Definirana ploština [m ²]: | | | | | 35,42 | |

| Otvori (prozirni i neprozirni elementi) zgrade | | | | |
|---|-------------------------------|---------------------|---------------------------|----------|
| Naziv otvora | Uw [W/m² K] | Orijentacija | Aw [m²] | n |
| P 100 x120 g-v | 1,40 | Istok | 1,20 | 8,00 |
| P 120 x120 g-v | 1,40 | Istok | 1,44 | 4,00 |
| | 1,40 | Jug | 1,44 | 8,00 |
| P 140 x120 g-v | 1,40 | Jug | 1,68 | 4,00 |
| P 160 x120 g-v S | 1,40 | Sjever | 1,92 | 4,00 |
| V 90 x 210 g-v | 1,40 | Jug | 1,89 | 8,00 |
| V 120 x 210 g-v | 1,40 | Jug | 2,52 | 16,00 |
| P 120 x120 n-v S | 1,40 | Sjever | 1,44 | 3,00 |
| V 110 x 210 n-v S | 1,40 | Sjever | 2,31 | 1,00 |
| V 90 x 200 g-n | 2,00 | Jug | 1,80 | 6,00 |
| P 120 x120 g-v S | 1,40 | Sjever | 1,44 | 12,00 |
| P 140 x120 g-v S | 1,40 | Sjever | 1,68 | 8,00 |

Zaštita od prekomjernog Sunčevog zračenja (ljetni period)

| Podaci o definiranim prostorijama s najvećim udjelom ostakljenja u površini pročelja. | | | | | | | |
|---|---------------------|--------------------------|--------------------------------------|----------|--------------------------|------------|--------------------|
| Naziv prostorije | Orijentacija | A [m²] | A_g [m²] | f | g_{tot f} | max | Zadovoljava |
| soba 1 | Jug | 9,12 | 2,30 | 0,25 | 0,04 | 0,20 | Da |

Podaci o otvorima koji su uzeti u obzir prilikom navedenog proračuna.

| Naziv prostorije | Naziv otvora | fc | A_g [m²] | g_⊥ | n |
|-------------------------|---------------------|-----------|--------------------------------------|----------------------|----------|
| soba 1 | P 120 x120 g-v | 0,30 | 1,15 | 0,60 | 2 |

Sustav grijanja i emergent za grijanje

| | |
|---|------------------------------|
| Sustav grijanja: | Lokalno |
| Vrijeme rada sustava: | Sustavi s prekidom rada noću |
| Udio vremena s definiranom unutarnjom temperaturom – $f_{H,hr}$ | 0,71 |
| Omjer dana u tjednu s definiranom unutarnjom temperaturom (za hlađenje) – $f_{C,day}$: | 1,00 |
| Vrsta energenta za grijanje: | Električna energija |
| Vrsta i način korištenja obnovljivih izvora energije: | |
| Udio obnovljive energije u isporučenoj energiji [%]: | 0,00 |

Proračun i ocjena fizikalnih svojstava zgrade u odnosu na racionalnu uporabu energije i toplinsku zaštitu

Unutarnja projektna temperatura grijanja: 20,00 °C

Proračun građevnih dijelova zgrade

| Naziv građevnog dijela | A [m ²] | U [W/m ² K] | U _{max} [W/m ² K] | OK |
|------------------------|---------------------|------------------------|---------------------------------------|----|
| Z1 g-v | 960,80 | 0,39 | 0,45 | ✓ |
| Z3 n-v | 11,88 | 0,39 | 0,45 | ✓ |
| Z2 g-n | 565,65 | 0,52 | 0,60 | ✓ |
| Z4 g-g | 562,56 | 0,52 | 0,80 | ✓ |
| Mk1 g-g | 353,07 | 0,57 | 0,80 | ✓ |
| P1 g-tlo | 317,65 | 0,40 | 0,50 | ✓ |
| P2 n-tlo | 35,42 | 0,40 | 0,50 | ✓ |
| K1 g-v | 317,65 | 0,30 | 0,30 | ✓ |
| K2 n-v | 35,42 | 0,30 | 0,30 | ✓ |

| Vanjski zidovi 1 - Z1 g-v | | | | | | | | | | | | |
|--|---|-----------------------------------|---|---|-----------------------|----------------|-----------------------|-------------------------|-----------------|-----------------|--|--|
| Opći podaci o građevnom dijelu | | | | | | | | | | | | |
| | | A _{gd} [m ²] | A _I | A _z | A _s | A _J | A _{sl} | A _{sz} | A _{Jl} | A _{Jz} | | |
| | | 960,80 | 178,97 | 194,33 | 300,74 | 286,76 | 0,00 | 0,00 | 0,00 | 0,00 | | |
| Toplinska zaštita: | | | U [W/m ² K] = 0,39 ≤ 0,45 | | | ZADOVOLJAVA | | | | | | |
| Površinska vlažnost: (Rizik okruženja s pljesni φ _{si} ≤ 0,8) | | | fRsi = 0,39 ≤ 0,90 | | | ZADOVOLJAVA | | | | | | |
| Unutarnja kondenzacija: | | | ΣM _{a,god} = 0,00 | | | ZADOVOLJAVA | | | | | | |
| Dinamičke karakteristike: | | | 283,70 ≥ 100 kg/m ² U = 0,39 ≤ 0,45 | | | ZADOVOLJAVA | | | | | | |
| | Slojevi građevnog dijela u smjeru toplinskog | | | d[cm] | ρ[kg/m ³] | λ[W/mK] | R[m ² K/W] | | | | | |
| 1 | 3.03 Vapneno-cementna žbuka | | | 2,000 | 1800,00 | 1,000 | 0,020 | | | | | |
| 2 | 1.10 Šuplji blokovi od gline | | | 25,000 | 900,00 | 0,420 | 0,595 | | | | | |
| 3 | Polimerno-cementno ljepilo | | | 0,500 | 1650,00 | 0,900 | 0,006 | | | | | |
| 4 | 7.01 Mineralna vuna (MW) | | | 6,000 | 25,00 | 0,034 | 1,765 | | | | | |
| 5 | Polimerno-cementno ljepilo | | | 0,500 | 1650,00 | 0,900 | 0,006 | | | | | |
| 6 | Impregnacijski predpremaz | | | 0,100 | 1100,00 | 1,600 | 0,001 | | | | | |
| 7 | 3.16 Silikatna žbuka | | | 0,200 | 1800,00 | 0,900 | 0,002 | | | | | |
| | | | | | | | | R _{si} = 0,130 | | | | |
| | | | | | | | | R _{se} = 0,040 | | | | |
| | | | | | | | | R _T = 2,564 | | | | |
| U pogledu toplinske zaštite, građevni dio s U [W/m ² K] = | | | | U = 0,39 ≤ U _{max} = 0,45 | | | ZADOVOLJAVA | | | | | |
| Plošna masa građevnog dijela 283,70 [kg/m²] | | | | 283,70 ≥ 100 kg/m ² U = 0,39 ≤ 0,45 | | | ZADOVOLJAVA | | | | | |

Vanjski zidovi 2 - Z3 n-v

Opći podaci o građevnom dijelu

| | A _{gd} [m ²] | A _I | A _z | A _s | A _J | A _{sl} | A _{sz} | A _{JI} | A _{JZ} | | | | | | | |
|--|---|----------------|---|---|-----------------------|-----------------|-------------------------|-----------------|-----------------|--|--|--|--|--|--|--|
| | 11,88 | 0,00 | 0,00 | 11,88 | 0,00 | 0,00 | 0,00 | 0,00 | 0,00 | | | | | | | |
| Toplinska zaštita: | | | U [W/m ² K] = 0,39 ≤ 0,45 | | | | ZADOVOLJAVA | | | | | | | | | |
| Površinska vlažnost: (Rizik okruženja s pljesni φ _{Si} ≤ 0,8) | | | fRsi = 0,39 ≤ 0,90 | | | | ZADOVOLJAVA | | | | | | | | | |
| Unutarnja kondenzacija: | | | ΣM _{a,god} = 0,00 | | | | ZADOVOLJAVA | | | | | | | | | |
| Dinamičke karakteristike: | | | 283,70 ≥ 100 kg/m ² U = 0,39 ≤ 0,45 | | | | ZADOVOLJAVA | | | | | | | | | |
| | | | | | | | | | | | | | | | | |
| | | | | | | | | | | | | | | | | |
| | Slojevi građevnog dijela u smjeru toplinskog | | | d[cm] | ρ[kg/m ³] | λ[W/mK] | R[m ² K/W] | | | | | | | | | |
| 1 | 3.03 Vapneno-cementna žbuka | | | 2,000 | 1800,00 | 1,000 | 0,020 | | | | | | | | | |
| 2 | 1.10 Šuplji blokovi od gline | | | 25,000 | 900,00 | 0,420 | 0,595 | | | | | | | | | |
| 3 | Polimerno-cementno ljepilo | | | 0,500 | 1650,00 | 0,900 | 0,006 | | | | | | | | | |
| 4 | 7.01 Mineralna vuna (MW) | | | 6,000 | 25,00 | 0,034 | 1,765 | | | | | | | | | |
| 5 | Polimerno-cementno ljepilo | | | 0,500 | 1650,00 | 0,900 | 0,006 | | | | | | | | | |
| 6 | Impregnacijski predpremaz | | | 0,100 | 1100,00 | 1,600 | 0,001 | | | | | | | | | |
| 7 | 3.16 Silikatna žbuka | | | 0,200 | 1800,00 | 0,900 | 0,002 | | | | | | | | | |
| | | | | | | | R _{si} = 0,130 | | | | | | | | | |
| | | | | | | | R _{se} = 0,040 | | | | | | | | | |
| | | | | | | | R _T = 2,564 | | | | | | | | | |
| U pogledu toplinske zaštite, građevni dio s U [W/m ² K] = | | | | U = 0,39 ≤ U _{max} = 0,45 | | | ZADOVOLJAVA | | | | | | | | | |
| Plošna masa građevnog dijela 283,70 [kg/m²] | | | | 283,70 ≥ 100 kg/m ² U = 0,39 ≤ 0,45 | | | ZADOVOLJAVA | | | | | | | | | |

| Zidovi prema negrijanim prostorijama 1 - Z2 g-n | | | | | | | | | |
|--|---|----------------|--------------------------------------|----------------|------------------------------------|-----------------|-------------------------|-----------------|-----------------|
| Opći podaci o građevnom dijelu | | | | | | | | | |
| | A _{gd} [m ²] | A _i | A _z | A _s | A _j | A _{si} | A _{sz} | A _{ji} | A _{jj} |
| | 565,65 | 0,00 | 0,00 | 0,00 | 0,00 | 0,00 | 0,00 | 0,00 | 0,00 |
| Toplinska zaštita: | | | U [W/m ² K] = 0,52 ≤ 0,60 | | | | ZADOVOLJAVA | | |
| Površinska vlažnost: (Rizik okruženja s pljesni φ _{si} ≤ 0,8) | | | fR _{si} = 0,39 ≤ 0,87 | | | | ZADOVOLJAVA | | |
| Unutarnja kondenzacija: | | | ΣM _{a,god} = 0,00 | | | | ZADOVOLJAVA | | |
| | | | | | | | | | |
| | Slojevi građevnog dijela u smjeru toplinskog | | | d[cm] | ρ[kg/m ³] | λ[W/mK] | R[m ² K/W] | | |
| 1 | 3.03 Vapnenno-cementna žbuka | | | 2,000 | 1800,00 | 1,000 | 0,020 | | |
| 2 | 1.08 Šuplji blokovi od gline | | | 25,000 | 1100,00 | 0,480 | 0,521 | | |
| 3 | Knauf Insulation ploča za pregradne zidove AKUSTIK | | | 4,000 | 16,00 | 0,037 | 1,081 | | |
| 4 | Polimerno-cementno ljepilo | | | 0,500 | 1650,00 | 0,900 | 0,006 | | |
| 5 | 3.03 Vapnenno-cementna žbuka | | | 2,000 | 1800,00 | 1,000 | 0,020 | | |
| | | | | | | | R _{si} = 0,130 | | |
| | | | | | | | R _{se} = 0,130 | | |
| | | | | | | | R _T = 1,907 | | |
| U pogledu toplinske zaštite, građevni dio s U [W/m ² K] = | | | | | U = 0,52 ≤ U _{max} = 0,60 | | ZADOVOLJAVA | | |

| Zidovi između grijanih dijelova različitih korisnika 1 - Z4 g-g | | | | | | | | | | | | | | | |
|--|---|----------------|----------------|--------------------------------------|-----------------------|-----------------|-----------------------|-------------------------|-----------------|--|--|--|--|--|--|
| Opći podaci o građevnom dijelu | | | | | | | | | | | | | | | |
| | A _{gd} [m ²] | A _I | A _Z | A _S | A _J | A _{SI} | A _{SZ} | A _{JI} | A _{JZ} | | | | | | |
| | 562,56 | 0,00 | 0,00 | 0,00 | 0,00 | 0,00 | 0,00 | 0,00 | 0,00 | | | | | | |
| Toplinska zaštita: | | | | U [W/m ² K] = 0,52 ≤ 0,80 | | | | ZADOVOLJAVA | | | | | | | |
| | | | | | | | | | | | | | | | |
| | | | | | | | | | | | | | | | |
| | Slojevi građevnog dijela u smjeru toplinskog | | | d[cm] | ρ[kg/m ³] | λ[W/mK] | R[m ² K/W] | | | | | | | | |
| 1 | 3.03 Vapneno-cementna žbuka | | | 2,000 | 1800,00 | 1,000 | 0,020 | | | | | | | | |
| 2 | 1.08 Šuplji blokovi od gline | | | 25,000 | 1100,00 | 0,480 | 0,521 | | | | | | | | |
| 3 | Knauf Insulation ploča za pregradne zidove AKUSTIK | | | 4,000 | 16,00 | 0,037 | 1,081 | | | | | | | | |
| 4 | Polimerno-cementno ljepilo | | | 0,500 | 1650,00 | 0,900 | 0,006 | | | | | | | | |
| 5 | 3.03 Vapneno-cementna žbuka | | | 2,000 | 1800,00 | 1,000 | 0,020 | | | | | | | | |
| | | | | | | | | R _{si} = 0,130 | | | | | | | |
| | | | | | | | | R _{se} = 0,130 | | | | | | | |
| | | | | | | | | R _T = 1,907 | | | | | | | |
| U pogledu toplinske zaštite, građevni dio s U [W/m ² K] = | | | | U = 0,52 ≤ U _{max} = 0,80 | | | ZADOVOLJAVA | | | | | | | | |

Stropovi između grijanih dijelova različitih korisnika 1 - Mk1 g-g

Opći podaci o građevnom dijelu

| | $A_{gd} [m^2]$ | A_i | A_z | A_s | A_j | A_{si} | A_{sz} | A_{ji} | A_{jz} | | |
|---|---|--------------------------------|-----------------|--------------------------------|------------------|-------------|----------|-------------|----------|--|--|
| | 353,07 | 0,00 | 0,00 | 0,00 | 0,00 | 0,00 | 0,00 | 0,00 | 0,00 | | |
| Toplinska zaštita: | | | | $U [W/m^2 K] = 0,57 \leq 0,80$ | | | | ZADOVOLJAVA | | | |
| | | | | | | | | | | | |
| | | | | | | | | | | | |
| | | | | | | | | | | | |
| | | | | | | | | | | | |
| Slojevi građevnog dijela u smjeru toplinskog | | $d [cm]$ | $\rho [kg/m^3]$ | $\lambda [W/mK]$ | $R [m^2 K/W]$ | | | | | | |
| 1 | 3.19 Cementni estrih | 5,000 | 2000,00 | 1,600 | 0,031 | | | | | | |
| 2 | Knauf Insulation LDS 35 parna brana | 0,020 | 500,00 | 0,500 | 0,000 | | | | | | |
| 3 | Knauf Insulation podna ploča NaturBoard TPT | 5,000 | 130,00 | 0,036 | 1,389 | | | | | | |
| 4 | Knauf Insulation LDS 35 parna brana | 0,020 | 500,00 | 0,500 | 0,000 | | | | | | |
| 5 | 2.01 Admirani beton | 17,000 | 2500,00 | 2,600 | 0,065 | | | | | | |
| 6 | 3.01 Cementna žbuka | 1,500 | 2000,00 | 1,600 | 0,009 | | | | | | |
| | | | | | $R_{si} = 0,170$ | | | | | | |
| | | | | | $R_{se} = 0,100$ | | | | | | |
| | | | | | $R_T = 1,766$ | | | | | | |
| U pogledu toplinske zaštite, građevni dio s $U [W/m^2 K]$ = | | $U = 0,57 \leq U_{max} = 0,80$ | | | | ZADOVOLJAVA | | | | | |

Podovi na tlu 1 - P1 g-tlo

Opći podaci o građevnom dijelu

| | $A_{gd} [m^2]$ | A_i | A_z | A_s | A_j | A_{si} | A_{sz} | A_{ji} | A_{jz} | | |
|---|---|--------------------------------|-----------------|--------------------------------|------------------|-------------|----------|-------------|----------|--|--|
| | 317,65 | 0,00 | 0,00 | 0,00 | 0,00 | 0,00 | 0,00 | 0,00 | 0,00 | | |
| Toplinska zaštita: | | | | $U [W/m^2 K] = 0,40 \leq 0,50$ | | | | ZADOVOLJAVA | | | |
| Površinska vlažnost: (Rizik okruženja s plijesni $\phi_{si} \leq 0,8$) | | | | $f_{RSi} = 0,00 \leq 0,90$ | | | | ZADOVOLJAVA | | | |
| | | | | | | | | | | | |
| Slojevi građevnog dijela u smjeru toplinskog | | $d [cm]$ | $\rho [kg/m^3]$ | $\lambda [W/mK]$ | $R [m^2 K/W]$ | | | | | | |
| 1 | 3.19 Cementni estrih | 6,000 | 2000,00 | 1,600 | 0,038 | | | | | | |
| 2 | Knauf Insulation LDS 100 parna brana | 0,020 | 450,00 | 0,500 | 0,000 | | | | | | |
| 3 | 7.03 Ekstrudirana polistir. pjena (XPS) | 8,000 | 37,50 | 0,036 | 2,222 | | | | | | |
| 4 | Geotekstil 150-200 g/m2 | 0,020 | 900,00 | 0,200 | 0,001 | | | | | | |
| 5 | 5.01 Bitum. traka s uloškom stakl. voala | 1,000 | 1100,00 | 0,230 | 0,043 | | | | | | |
| 6 | 2.03 Beton | 15,000 | 2400,00 | 2,000 | - | | | | | | |
| 7 | 6.04 Pijesak, šljunak, tucanik (drobljenac) | 30,000 | 1700,00 | 0,810 | - | | | | | | |
| | | | | | $R_{si} = 0,170$ | | | | | | |
| | | | | | $R_{se} = 0,000$ | | | | | | |
| | | | | | $R_T = 2,475$ | | | | | | |
| U pogledu toplinske zaštite, građevni dio s $U [W/m^2 K]$ = | | $U = 0,40 \leq U_{max} = 0,50$ | | | | ZADOVOLJAVA | | | | | |

| Podovi na tlu 2 - P2 n-tlo | | | | | | | | | | |
|---|---|-----------------------------------|--------------------------------------|------------------------------------|-----------------------|----------------|-------------------------|-----------------|-----------------|-----------------|
| Opći podaci o građevnom dijelu | | | | | | | | | | |
| | | A _{gd} [m ²] | A _I | A _Z | A _S | A _J | A _{SI} | A _{SZ} | A _{J1} | A _{J2} |
| | | 35,42 | 0,00 | 0,00 | 0,00 | 0,00 | 0,00 | 0,00 | 0,00 | 0,00 |
| Toplinska zaštita: | | | U [W/m ² K] = 0,40 ≤ 0,50 | | | ZADOVOLJAVA | | | | |
| Površinska vlažnost: (Rizik okruženja s plijesni φ _{si} ≤ 0,8) | | | f _{RSI} = 0,00 ≤ 0,90 | | | ZADOVOLJAVA | | | | |
| | | | | | | | | | | |
| | | | | | | | | | | |
| Slojevi građevnog dijela u smjeru toplinskog | | | | d[cm] | ρ[kg/m ³] | λ[W/mK] | R[m ² K/W] | | | |
| 1 | 3.19 Cementni estrih | | | 6,000 | 2000,00 | 1,600 | 0,038 | | | |
| 2 | Knauf Insulation LDS 100 parna brana | | | 0,020 | 450,00 | 0,500 | 0,000 | | | |
| 3 | 7.03 Ekstrudirana polistir. pjena (XPS) | | | 8,000 | 37,50 | 0,036 | 2,222 | | | |
| 4 | Geotekstil 150-200 g/m ² | | | 0,020 | 900,00 | 0,200 | 0,001 | | | |
| 5 | 5.01 Bitum. traka s uloškom stakl. voala | | | 1,000 | 1100,00 | 0,230 | 0,043 | | | |
| 6 | 2.03 Beton | | | 15,000 | 2400,00 | 2,000 | - | | | |
| 7 | 6.04 Pijesak, šljunak, tucanik (drobljenac) | | | 30,000 | 1700,00 | 0,810 | - | | | |
| | | | | | | | R _{si} = 0,170 | | | |
| | | | | | | | R _{se} = 0,000 | | | |
| | | | | | | | R _T = 2,475 | | | |
| U pogledu toplinske zaštite, građevni dio s U [W/m ² K] = | | | | U = 0,40 ≤ U _{max} = 0,50 | | | ZADOVOLJAVA | | | |

| Ravni krovovi iznad grijanog prostora 1 - K1 g-v | | | | | | | | | | |
|---|---|-----------------------------------|---|----------------|----------------|-------------------------|-----------------|-----------------|-----------------|-----------------|
| Opći podaci o građevnom dijelu | | | | | | | | | | |
| | | A _{gd} [m ²] | A _i | A _z | A _s | A _j | A _{si} | A _{sz} | A _{ji} | A _{jj} |
| | | 317,65 | 0,00 | 0,00 | 0,00 | 0,00 | 0,00 | 0,00 | 0,00 | 0,00 |
| Toplinska zaštita: | | | U [W/m ² K] = 0,30 ≤ 0,30 | | | ZADOVOLJAVA | | | | |
| Površinska vlažnost: (Rizik okruženja s plijesni φ _{si} ≤ 0,8) | | | f _{RSi} = 0,39 ≤ 0,93 | | | ZADOVOLJAVA | | | | |
| Unutarnja kondenzacija: | | | ΣM _{a,god} = 0,00 | | | ZADOVOLJAVA | | | | |
| Dinamičke karakteristike: | | | 557,61 ≥ 100 kg/m ² U = 0,30 ≤ 0,30 | | | ZADOVOLJAVA | | | | |
| Slojevi građevnog dijela u smjeru toplinskog | | d[cm] | ρ[kg/m ³] | | λ[W/mK] | R[m ² K/W] | | | | |
| 1 | 3.01 Cementna žbuka | 1,500 | 2000,00 | | 1,600 | 0,009 | | | | |
| 2 | 2.01 Admirani beton | 17,000 | 2500,00 | | 2,600 | 0,065 | | | | |
| 3 | Bitumenska ljepenka (traka) | 0,300 | 1100,00 | | 0,230 | 0,013 | | | | |
| 4 | Aluminijkska folija 0,05 mm | 0,001 | 2800,00 | | 160,000 | 0,000 | | | | |
| 5 | Bitumenska ljepenka (traka) | 0,300 | 1100,00 | | 0,230 | 0,013 | | | | |
| 6 | Geotekstil 150-200 g/m ² | 0,020 | 900,00 | | 0,200 | 0,001 | | | | |
| 7 | 7.03 Ekstrudirana polistir. pjena (XPS) | 15,000 | 37,50 | | 0,036 | 4,167 | | | | |
| 8 | Geotekstil 500 g/m ² | 0,020 | 900,00 | | 0,200 | - | | | | |
| 9 | Tvrda guma (ebonit), kruta | 1,500 | 1200,00 | | 0,170 | - | | | | |
| 10 | 2.03 Beton | 3,000 | 2400,00 | | 2,000 | - | | | | |
| | | | | | | R _{si} = 0,100 | | | | |
| | | | | | | R _{se} = 0,040 | | | | |
| | | | | | | R _T = 4,409 | | | | |
| | | | | | | ΔU = 0,069 | | | | |
| U pogledu toplinske zaštite, građevni dio s U [W/m ² K] = | | | U = 0,30 ≤ U _{max} = 0,30 | | | ZADOVOLJAVA | | | | |
| Plošna masa građevnog dijela 557,61 [kg/m²] | | | 557,61 ≥ 100 kg/m ² U = 0,30 ≤ 0,30 | | | ZADOVOLJAVA | | | | |

| Ravni krovovi iznad grijanog prostora 2 - K2 n-v | | | | | | | | | | | | |
|---|---|-----------------------------------|---|----------------|---|-----------------------|-----------------|-------------------------|-----------------|-----------------|--|--|
| Opći podaci o građevnom dijelu | | | | | | | | | | | | |
| | | A _{gd} [m ²] | A _i | A _z | A _s | A _j | A _{si} | A _{sz} | A _{ji} | A _{jj} | | |
| | | 35,42 | 0,00 | 0,00 | 0,00 | 0,00 | 0,00 | 0,00 | 0,00 | 0,00 | | |
| Toplinska zaštita: | | | U [W/m ² K] = 0,30 ≤ 0,30 | | | ZADOVOLJAVA | | | | | | |
| Površinska vlažnost: (Rizik okruženja s plijesni φ _{si} ≤ 0,8) | | | f _{RSi} = 0,39 ≤ 0,93 | | | ZADOVOLJAVA | | | | | | |
| Unutarnja kondenzacija: | | | ΣM _{a,god} = 0,00 | | | ZADOVOLJAVA | | | | | | |
| Dinamičke karakteristike: | | | 557,61 ≥ 100 kg/m ² U = 0,30 ≤ 0,30 | | | ZADOVOLJAVA | | | | | | |
| Slojevi građevnog dijela u smjeru toplinskog | | | | | d[cm] | ρ[kg/m ³] | λ[W/mK] | R[m ² K/W] | | | | |
| 1 | 3.01 Cementna žbuka | | | | 1,500 | 2000,00 | 1,600 | 0,009 | | | | |
| 2 | 2.01 Armirani beton | | | | 17,000 | 2500,00 | 2,600 | 0,065 | | | | |
| 3 | Bitumenska ljepenka (traka) | | | | 0,300 | 1100,00 | 0,230 | 0,013 | | | | |
| 4 | Aluminijkska folija 0,05 mm | | | | 0,001 | 2800,00 | 160,000 | 0,000 | | | | |
| 5 | Bitumenska ljepenka (traka) | | | | 0,300 | 1100,00 | 0,230 | 0,013 | | | | |
| 6 | Geotekstil 150-200 g/m ² | | | | 0,020 | 900,00 | 0,200 | 0,001 | | | | |
| 7 | 7.03 Ekstrudirana polistir. pjena (XPS) | | | | 15,000 | 37,50 | 0,036 | 4,167 | | | | |
| 8 | Geotekstil 500 g/m ² | | | | 0,020 | 900,00 | 0,200 | - | | | | |
| 9 | Tvrda guma (ebonit), kruta | | | | 1,500 | 1200,00 | 0,170 | - | | | | |
| 10 | 2.03 Beton | | | | 3,000 | 2400,00 | 2,000 | - | | | | |
| | | | | | | | | R _{si} = 0,100 | | | | |
| | | | | | | | | R _{se} = 0,040 | | | | |
| | | | | | | | | R _T = 4,409 | | | | |
| | | | | | | | | ΔU = 0,069 | | | | |
| U pogledu toplinske zaštite, građevni dio s U [W/m ² K] = | | | | | U = 0,30 ≤ U _{max} = 0,30 | | ZADOVOLJAVA | | | | | |
| Plošna masa građevnog dijela 557,61 [kg/m²] | | | | | 557,61 ≥ 100 kg/m ² U = 0,30 ≤ 0,30 | | ZADOVOLJAVA | | | | | |

Vanjski otvori (HRN EN ISO 10077-1:2000)

Korištene kratice:

M.o. – Materijal okvira (D – Drvo, P – PVC, M - Metal, M2 – Metal s prekinutim topl. mostom, B – Beton)

N.p. – Nagib plohe

M.i. – Materijal ispune

| Istok | | | | | | | | | | | | | | |
|-------------------|------|-------------------|----------------------------------|-----------------|----------------------------------|------------------|----------------------------------|--------------------|---------------------------------------|-------------------------------------|-------------------------------------|-------------------------------------|-------|--|
| Naziv | M.o. | N.p. [°] | F _{hor} | F _{ov} | F _{fin} | F _{zak} | g _⊥ | F _{sh,gl} | A _{sol} [m ²] | A _f [m ²] | A _g [m ²] | A _w [m ²] | n | U _w [W/m ² K] |
| P 100 x120 g-v | P | 90 ⁽¹⁾ | 1,00 | 1,00 | 1,00 | 1,00 | 0,60 | 0,30 | 0,35 | 0,24 | 0,96 | 1,20 | 8,00 | 1,40 |
| P 120 x120 g-v | P | 90 ⁽¹⁾ | 1,00 | 1,00 | 1,00 | 1,00 | 0,60 | 0,30 | 0,40 | 0,29 | 1,15 | 1,44 | 4,00 | 1,40 |
| Jug | | | | | | | | | | | | | | |
| Naziv | M.o. | N.p. [°] | F _{hor} | F _{ov} | F _{fin} | F _{zak} | g _⊥ | F _{sh,gl} | A _{sol} [m ²] | A _f [m ²] | A _g [m ²] | A _w [m ²] | n | U _w [W/m ² K] |
| P 120 x120 g-v | P | 90 ⁽¹⁾ | 1,00 | 1,00 | 1,00 | 1,00 | 0,60 | 0,30 | 0,40 | 0,29 | 1,15 | 1,44 | 8,00 | 1,40 |
| P 140 x120 g-v | P | 90 ⁽¹⁾ | 1,00 | 1,00 | 1,00 | 1,00 | 0,60 | 0,30 | 0,44 | 0,34 | 1,34 | 1,68 | 4,00 | 1,40 |
| V 90 x 210 g-v | P | 90 ⁽¹⁾ | 1,00 | 1,00 | 1,00 | 1,00 | 0,60 | 0,30 | 0,50 | 0,38 | 1,51 | 1,89 | 8,00 | 1,40 |
| V 120 x 210 g-v | P | 90 ⁽¹⁾ | 1,00 | 1,00 | 1,00 | 1,00 | 0,60 | 0,30 | 0,67 | 0,50 | 2,02 | 2,52 | 16,00 | 1,40 |
| Naziv | M.i. | M.o. | A _f [m ²] | | A _g [m ²] | | A _w [m ²] | | n | | U _w [W/m ² K] | | | |
| P 160 x120 g-v S | | | P | | 0,38 | | 1,54 | | 1,92 | | 4,00 | | 1,40 | |
| P 120 x120 n-v S | | | P | | 0,29 | | 1,15 | | 1,44 | | 3,00 | | 1,40 | |
| V 110 x 210 n-v S | | | P | | 0,46 | | 1,85 | | 2,31 | | 1,00 | | 1,40 | |
| V 90 x 200 g-n | | | D | | 1,80 | | 0,00 | | 1,80 | | 6,00 | | 2,00 | |
| P 120 x120 g-v S | | | P | | 0,29 | | 1,15 | | 1,44 | | 12,00 | | 1,40 | |
| P 140 x120 g-v S | | | P | | 0,34 | | 1,34 | | 1,68 | | 8,00 | | 1,40 | |

. Proračun toplinskih mostova (HRN EN ISO 14683)

Ako je potencijalni toplinski most projektiran u skladu s hrvatskom normom koja sadrži katalog dobrih rješenja toplinskih mostova i/ili se radi o izvedbi nove zgrade koja nije okarakterizirana kao "niskoenergetska ili pasivna", a svi građevni dijelovi vanjske ovojnica zgrade zadovoljavaju glede najviše dozvoljenih vrijednosti koeficijenta prolaska topline $U \text{ W/(m}^2 \text{ K)}$, tada se može umjesto točnog proračuna ili Tablice 4.2, utjecaj toplinskih mostova uzeti u obzir povećanjem U , svakog građevnog dijela oplošja grijanog dijela zgrade za $UTM = 0,05 \text{ W/(m}^2 \text{ K)}$.

Koeficijenti transmisijskih gubitaka

| Ukupni koeficijenti transmisijskih gubitaka | |
|--|----------------|
| Koeficijent transmisijske izmjene topline prema vanjskom okolišu, $H_D \text{ [W/K]}$ | 728,638 |
| Uprosječeni koeficijent transmisijske izmjene topline prema tlu, $H_{g,avg} \text{ [W/K]}$ | 130,762 |
| Koeficijent transmisijske izmjene topline kroz negrijani prostor, $H_U \text{ [W/K]}$ | 78,549 |
| Koeficijent transmisijske izmjene topline prema susjednoj zgradi, $H_A \text{ [W/K]}$ | 0,000 |
| Ukupni koeficijent transmisijske izmjene topline, $H_{Tr} \text{ [W/K]}$ | 937,948 |

Gubici topline kroz vanjski omotač zgrade

Popis građevnih dijelova koji ulaze u proračun H_D

| Naziv građevnog dijela | $(U + 0,05) \cdot A$ |
|------------------------|----------------------|
| Z1 g-v | 422,781 |
| Z3 n-v | 5,228 |
| K1 g-v | 109,953 |
| K2 n-v | 12,260 |

Gubici topline kroz vanjske otvore

Definirani otvor na vanjskom omotaču zgrade:

| Naziv otvora | n | A _w | U _w | H _D |
|-------------------|-------|----------------|----------------|----------------|
| P 100 x120 g-v | 8,00 | 1,20 | 1,40 | 13,44 |
| P 120 x120 g-v | 12,00 | 1,44 | 1,40 | 24,19 |
| P 140 x120 g-v | 4,00 | 1,68 | 1,40 | 9,41 |
| P 160 x120 g-v S | 4,00 | 1,92 | 1,40 | 10,75 |
| V 90 x 210 g-v | 8,00 | 1,89 | 1,40 | 21,17 |
| V 120 x 210 g-v | 16,00 | 2,52 | 1,40 | 56,45 |
| P 120 x120 n-v S | 3,00 | 1,44 | 1,40 | 6,05 |
| V 110 x 210 n-v S | 1,00 | 2,31 | 1,40 | 3,23 |
| V 90 x 200 g-n | 6,00 | 1,80 | 2,00 | 21,60 |
| P 120 x120 g-v S | 12,00 | 1,44 | 1,40 | 24,19 |
| P 140 x120 g-v S | 8,00 | 1,68 | 1,40 | 18,82 |

Tablični pregled definiranih gubitaka kroz tlo

| Gubitak | Tip građevnog dijela u odnosu na tlo | U [W/m] | Hg [W/K] |
|---------|--------------------------------------|---------|----------|
| G1 | Podovi na tlu | 0,24 | 126,72 |
| G2 | Podovi na tlu | 0,09 | 4,04 |

Stacionarni koeficijenti transmisijske izmjene prema tlu po mjesecima za proračun grijanja, $H_{g,m,H}$ [W/K]

| Gubitak | I | II | III | IV | V | VI | VII | VIII | IX | X | XI | XII |
|---------|-------|-------|-------|--------|----------|---------|---------|--------|---------|--------|-------|-------|
| G1 | 64,38 | 59,93 | 68,29 | 117,02 | -1892,14 | -117,19 | -110,22 | -73,36 | -246,51 | 110,75 | 74,61 | 76,66 |
| G2 | 0,67 | 0,62 | 0,65 | 0,92 | -106,16 | -7,45 | -7,76 | -5,12 | -14,38 | 0,67 | 0,66 | 0,78 |

Stacionarni koeficijenti transmisijske izmjene prema tlu po mjesecima za proračun hlađenja, $H_{g,m,C}$ [W/K]

| Gubitak | I | II | III | IV | V | VI | VII | VIII | IX | X | XI | XII |
|---------|-------|-------|-------|-------|--------|---------|---------|---------|--------|-------|-------|-------|
| G1 | 47,76 | 45,23 | 48,21 | 63,22 | 210,24 | -452,00 | -551,12 | -154,87 | 649,89 | 56,72 | 49,94 | 53,61 |
| G2 | 0,50 | 0,47 | 0,46 | 0,50 | 11,80 | -28,75 | -38,80 | -10,81 | 37,92 | 0,35 | 0,44 | 0,54 |

Podovi na tlu

| Gubitak | A [m ²] | P [m] | B [m] | d + [m] | R _f [m ²] [W/mK] | K.n. [W/mK] | $\Delta\psi$ [W/mK] | U _n [W/m ²] [W/m ²] | U [W/m ²] [W/m ²] | d' [m] | R' [m] | R _n [m ²] [W/mK] | d _n [cm] | R.i. (A) | D [m] | u _n [W/mK] | H _n [W/mK] |
|---------|------------------------|----------|----------|------------|---|----------------|------------------------|--|---|-----------|-----------|---|------------------------|-------------|----------|--------------------------|--------------------------|
| G1 | 317,65 | 84,31 | 7,54 | 5,13 | 2,22 | 2,00 | 0,00 | 0,24 | 0,24 | 0,00 | 0,00 | 0,00 | 0,00 | (A) | 0,00 | 0,60 | 126,72 |
| G2 | 35,42 | 1,50 | 47,23 | 5,13 | 2,22 | 2,00 | 0,00 | 0,09 | 0,09 | 0,00 | 0,00 | 0,00 | 0,00 | (B) | 0,00 | 0,60 | 4,04 |

Gubici topline kroz negrijane prostore

Korištene kratice:

G.g.d. – Granični građevni dijelovi

G.o. – Granični otvori

Z. - Zrakopropusnost

| R.b. | G.g.d. | G.o. | Z. | V [m ³] | n _{ue} | b | H _u |
|------|--------|------|----|---------------------|-----------------|------|----------------|
| 1 | (1) | (a) | * | 453,40 | 0,50 | 0,23 | 78,55 |

⁽¹⁾ Z2 g-n, Z3 n-v, K2 n-v

^(a) V 90 x 200 g-n, P 120 x120 n-v S, V 110 x 210 n-v S

* Svi spojevi između dijelova su dobro zabrtvljeni, nije predviđena nikakva ventilacija.

Proračun potrebne energije za grijanje i hlađenje (prema HRN EN 13790:2008)

| Potrebni podaci | Oznaka | Vrijednost | Mjerna jedinica |
|--|------------------|------------|--------------------|
| Oplošje grijanog dijela zgrade | A | 2389,34 | [m ²] |
| Obujam grijanog dijela zgrade | V _e | 4065,90 | [m ³] |
| Obujam grijanog zraka (Propis o uštedi energije i toplinskoj zaštiti, čl.4, st.11) | V | 3252,72 | [m ³] |
| Faktor oblika zgrade | f _o | 0,59 | [m ⁻¹] |
| Ploština korisne površine grijanog dijela zgrade | A _K | 1270,60 | [m ²] |
| Površina kondicionirane (grijane i hlađene) zone računate s vanjskim dimenzijama | A _f | 317,65 | [m ²] |
| Ukupna ploština pročelja | A _{uk} | 1459,82 | [m ²] |
| Ukupna ploština prozora | A _{wuk} | 134,07 | [m ²] |

Toplinski gubici

Uključivanje grijanja

Temperatura manja od 12 °C

a) Transmisijski gubici

Koeficijent transmisijskih gubitaka HT dobiven prema HRN EN ISO 13790

$$H_{Tr} = H_D + H_{g,avg} + H_U + H_A$$

H_D - Koeficijent transmisijske izmjene topline prema vanjskom okolišu

H_{g,avg} - Uprosječeni koeficijent transmisijske izmjene topline prema tlu

H_U - Koeficijent transmisijske izmjene topline prema negrijanom prostoru

H_A - Koeficijent transmisijske izmjene topline prema susjednoj zgradi

H_{Tr} - Koeficijent transmisijske izmjene topline

937,948 [W/K]

Dodatni transmisijski gubici kroz granice sa susjednim zonama

Granice sa susjednim zonama nisu definirane.

b) Gubici provjetravanjem

| Proračun protoka zraka | |
|--|---|
| Referentna površina zone | $A = 1270,60 \text{ [m}^2\text{]}$ |
| Neto volumen zone | $V = 3252,72 \text{ [m}^3\text{]}$ |
| Broj izmjena zraka pri nametnutoj razlici tlaka od 50 Pa | $n_{50} = 2,00 \text{ [h}^{-1}\text{]}$ |
| Površina kanala | $A_{duct} = 0,00 \text{ [m}^2\text{]}$ |
| Površina kanala smještenih unutar zone | $A_{indoorduct} = 0,00 \text{ [m}^2\text{]}$ |
| Faktor zaštićenosti zgrade od vjetra | $e_{wind} = 0,03 \text{ [-]}$ |
| Faktor zaštićenosti zgrade od vjetra | $f_{wind} = 20,00 \text{ [-]}$ |
| Dnevno vrijeme korištenja zone | $t_{Kor} = 15,00 \text{ [h]}$ |
| Dnevni broj sati rada sustava mehaničke ventilacije | $t_{v,mech} = 17,00 \text{ [h]}$ |
| Minimalno potrebni volumeni protok vanjskog zraka po jedinici površine | $V_A = 0,00 \text{ [m}^3\text{/(hm}^2\text{)]}$ |
| Minimalno potreban broj izmjena vanjskog zraka | $n_{req} = 0,50 \text{ [h}^{-1}\text{]}$ |

c) Ukupni gubici topline

| Način grijanja | | | | |
|--------------------------------------|---------------------------------|--|--------------------------------------|-----------------------|
| Sustavi s prekidom rada noću | | $\theta_{int, set.H} = 20,00 [^{\circ}\text{C}]$ | | |
| Mjesečni gubici topline [kWh] | | | | |
| Mjesec | Toplinski gubici hlađenja [kWh] | Toplinski gubici grijanja [kWh] | Koef. top. gubitka za hlađenje [W/K] | Koef. top. gubitka za |
| Siječanj | 15068,31 | 11357,49 | 1281,84 | 1293,68 |
| Veljača | 13463,44 | 10102,32 | 1276,45 | 1285,35 |
| Ožujak | 12294,20 | 8570,58 | 1271,11 | 1279,96 |
| Travanj | 8728,67 | 5165,48 | 1275,00 | 1302,44 |
| Svibanj | 4290,27 | 60,98 | 1372,97 | 409,82 |
| Lipanj | 316,20 | 0,00 | 4391,55 | 1239,08 |
| Srpanj | 0,00 | 0,00 | 839,02 | 1201,40 |
| Kolovoz | 0,00 | 0,00 | 1263,03 | 1237,18 |
| Rujan | 3654,37 | 0,00 | 1804,63 | 1298,39 |
| Listopad | 6296,13 | 2521,08 | 1262,28 | 1253,08 |
| Studeni | 10397,06 | 6788,06 | 1277,44 | 1290,75 |
| Prosinac | 14278,00 | 10591,09 | 1288,34 | 1306,49 |
| | | | | |
| Godišnji gubici topline [kWh] | | | | |
| | Toplinski gubici hlađenja | Toplinski gubici grijanja | | |
| Godišnje | 88786,64 | 55157,07 | | |

Toplinski dobici

a) Solarni dobici

Solarni dobici topline se računaju za definirane otvore i građevne dijelove u projektu. Otvori su prikazani pod točkom 2.A.2. ovoga elaborata. Građevni dijelovi su prikazani pod točkom 2.A.1. ovoga elaborata.

| Mjesec | I | II | III | IV | V | VI | VII | VIII | IX | X | XI | XII |
|----------------------|------|------|------|------|------|------|------|------|------|------|------|------|
| Q _{sol,k} | 1328 | 1574 | 1800 | 2114 | 1276 | 1295 | 1385 | 1396 | 1394 | 2083 | 1371 | 1260 |
| Q _{sol,u,I} | -3 | 0 | 3 | 6 | 9 | 11 | 11 | 8 | 5 | 2 | -2 | -3 |
| Q _{sol} | 1325 | 1574 | 1803 | 2119 | 1284 | 1305 | 1396 | 1405 | 1399 | 2084 | 1369 | 1257 |

Dodatni solarni dobici topline

Nema definiranih dodatnih solarnih dobitaka topline!

b) Unutarnji dobici topline

Mjesečni unutarnji dobici topline

| Mj. | I | II | III | IV | V | VI | VII | VIII | IX | X | XI | XII |
|------------------|----------|----------|----------|----------|----------|----------|----------|---------|----------|----------|----------|----------|
| Q _{int} | 4.726,63 | 4.269,22 | 4.726,63 | 4.574,16 | 4.726,63 | 4.574,16 | 4.726,63 | 4.726,6 | 4.574,16 | 4.726,63 | 4.574,16 | 4.726,63 |

Dodatni unutarnji dobici topline kroz granice sa susjednim zonama

Granice sa susjednim zonama nisu definirane!

Dodatni unutarnji dobici topline

Nema definiranih dodatnih solarnih dobitaka topline!

c) Ukupni dobici topline

| Ukupni dobici topline | |
|--------------------------|------------------------------------|
| Unutarnji dobici topline | Q _{int} = 55.652,28 [kWh] |
| Solarni dobici topline | Q _{sol} = 18.321,05 [kWh] |
| Ostali dobici topline | Q' = 0,00 [MJ] |

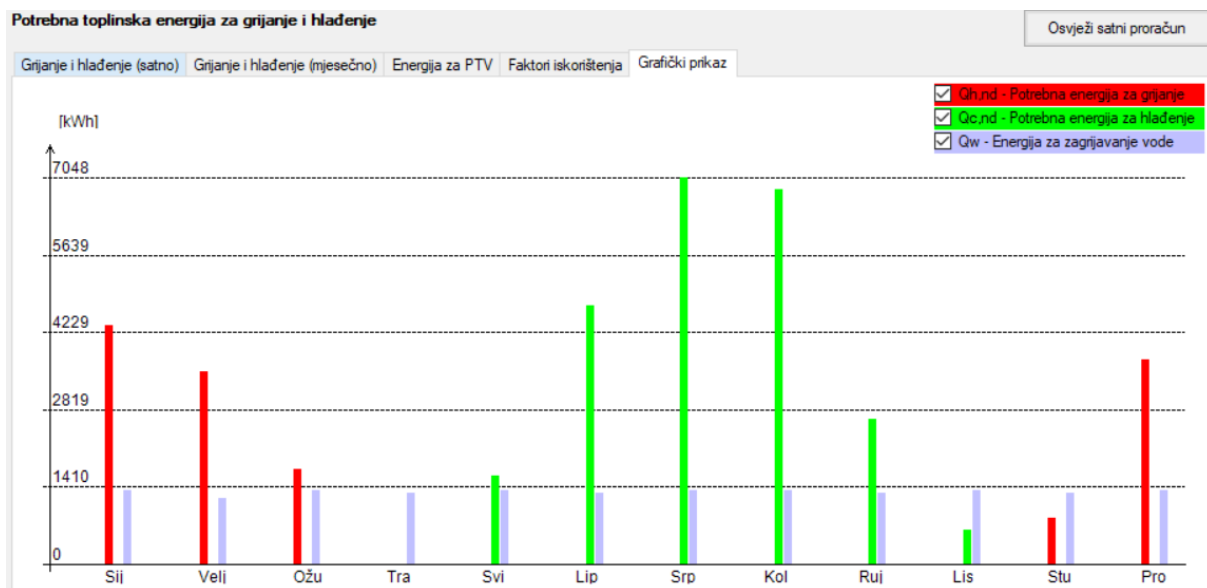
Mjesečni dobici topline

| Mjesec | Toplinski dobici [MJ] | Toplinski dobici [kWh] |
|----------|-----------------------|------------------------|
| Siječanj | 21785,72 | 6051,59 |
| Veljača | 21035,96 | 5843,32 |
| Ožujak | 23507,86 | 6529,96 |
| Travanj | 24096,02 | 6693,34 |
| Svibanj | 21639,69 | 6011,02 |
| Lipanj | 21166,69 | 5879,64 |
| Srpanj | 22040,63 | 6122,40 |
| Kolovoz | 22073,65 | 6131,57 |
| Rujan | 21503,76 | 5973,27 |
| Listopad | 24518,92 | 6810,81 |
| Studeni | 21394,28 | 5942,85 |
| Prosinac | 21540,83 | 5983,56 |

Godišnji dobici topline

| | Toplinski dobici [MJ] | Toplinski dobici [kWh] |
|----------|-----------------------|------------------------|
| Godišnje | 266304,00 | 73973,33 |

7.3. Rezultati proračuna



Slika 7.1: Grafički prikaz potrebne energije za grijanje i hlađenje

Rezultati proračuna potrebne toplinske energije za grijanje i toplinske energije za hlađenje prema poglavlju VII. Tehničkog propisa o racionalnoj uporabi energije i toplinskoj zaštiti u zgradama, za zgradu grijanu na temperaturu 18°C ili višu

| | |
|---|---|
| Oplošje grijanog dijela zgrade | $A = 2389,34 \text{ [m}^2\text{]}$ |
| Obujam grijanog dijela zgrade | $V_e = 4065,9 \text{ [m}^3\text{]}$ |
| Faktor oblika zgrade | $f_o = 0,59 \text{ [m}^{-1}\text{]}$ |
| Ploština korisne površine grijanog dijela | $A_k = 1270,6 \text{ [m}^2\text{]}$ |
| Godišnja potrebna toplina za grijanje | $Q_{H,nd} = 14226,76 \text{ [kWh/a]}$ |
| Godišnja potrebna toplina za grijanje po jedinici ploštine korisne površine (za stambene i nestambene zgrade) | $Q''_{H,nd} = 11,20 \text{ (max = 34,49) [kWh/m}^2\text{ a]}$ |
| Godišnja potrebna energija za hlađenje | $Q_{C,nd} = 23549,42 \text{ [kWh/a]}$ |
| Ukupna isporučena energija | $E_{del} = 16753,59 \text{ [kWh/a]}$ |
| Godišnja isporučena energija po jedinici ploštine korisne | $E''_{del} = 13,19 \text{ [kWh/m}^2\text{ a]}$ |
| Ukupna primarna energija | $E_{prim} = 27040,29 \text{ [kWh/a]}$ |
| Ukupna primarna energija po jedinice ploštine korisne | $E''_{prim} = 21,28 \text{ (max = 90,00) [kWh/m}^2\text{]}$ |
| Koeficijent transmisijskog toplinskog gubitka po jedinici oplošja grijanog dijela zgrade | $H'_{tr,adj} = 0,39 \text{ (max = 0,71) [W/m}^2\text{ K]}$ |
| Koeficijent transmisijskog toplinskog gubitka | $H_{tr,adj} = 937,95 \text{ [W/K]}$ |

8. Zaključak

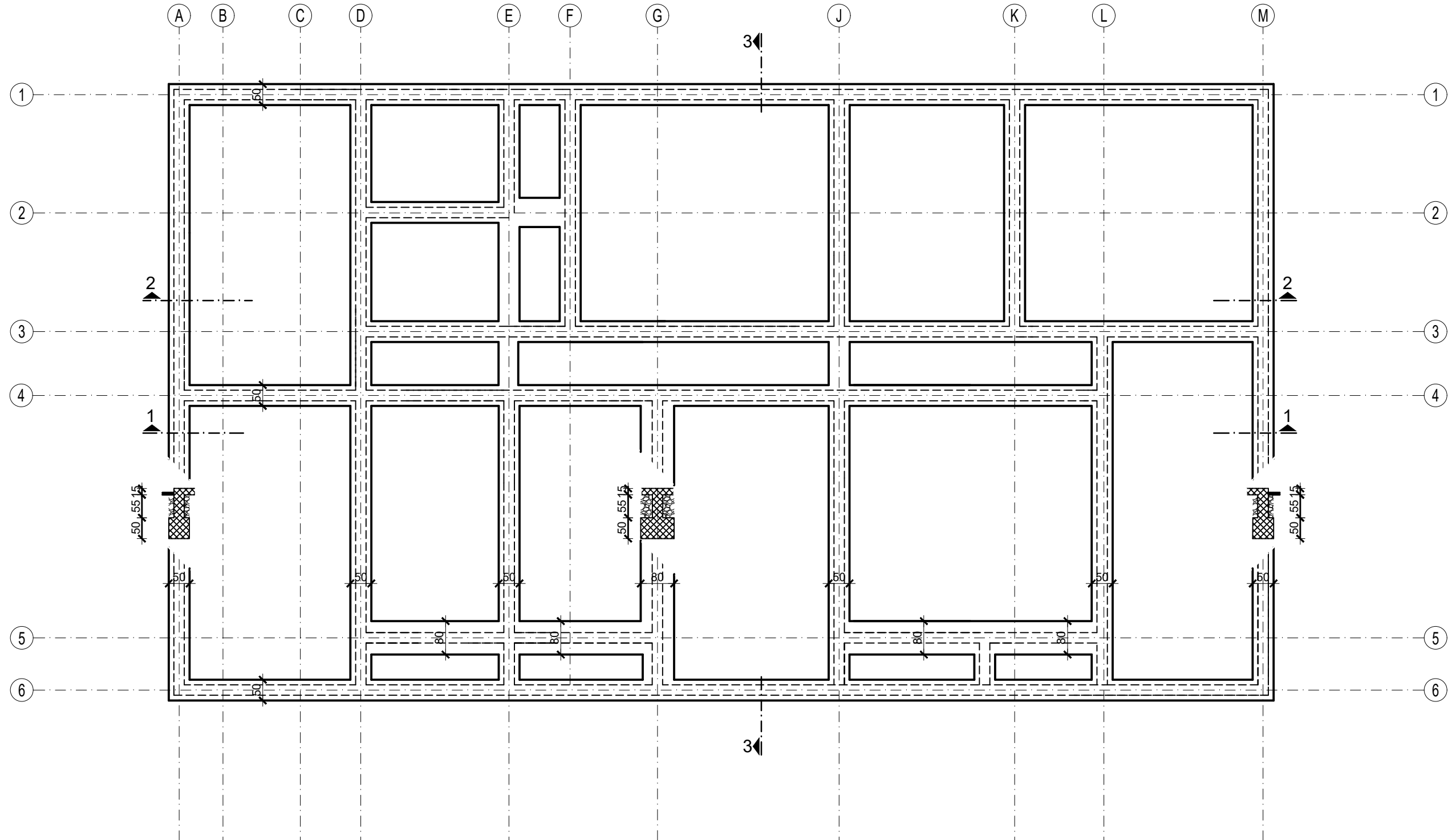
— Za zadanu konstrukciju proveden je proračun koristeći pravila za jednostavne zidane zgrade. Proračun se provodio u računalnom programu SCIA Engineer 18.1. za opterećenja i kombinacije opterećenja koja izazivaju najkritičnije rezne sile.

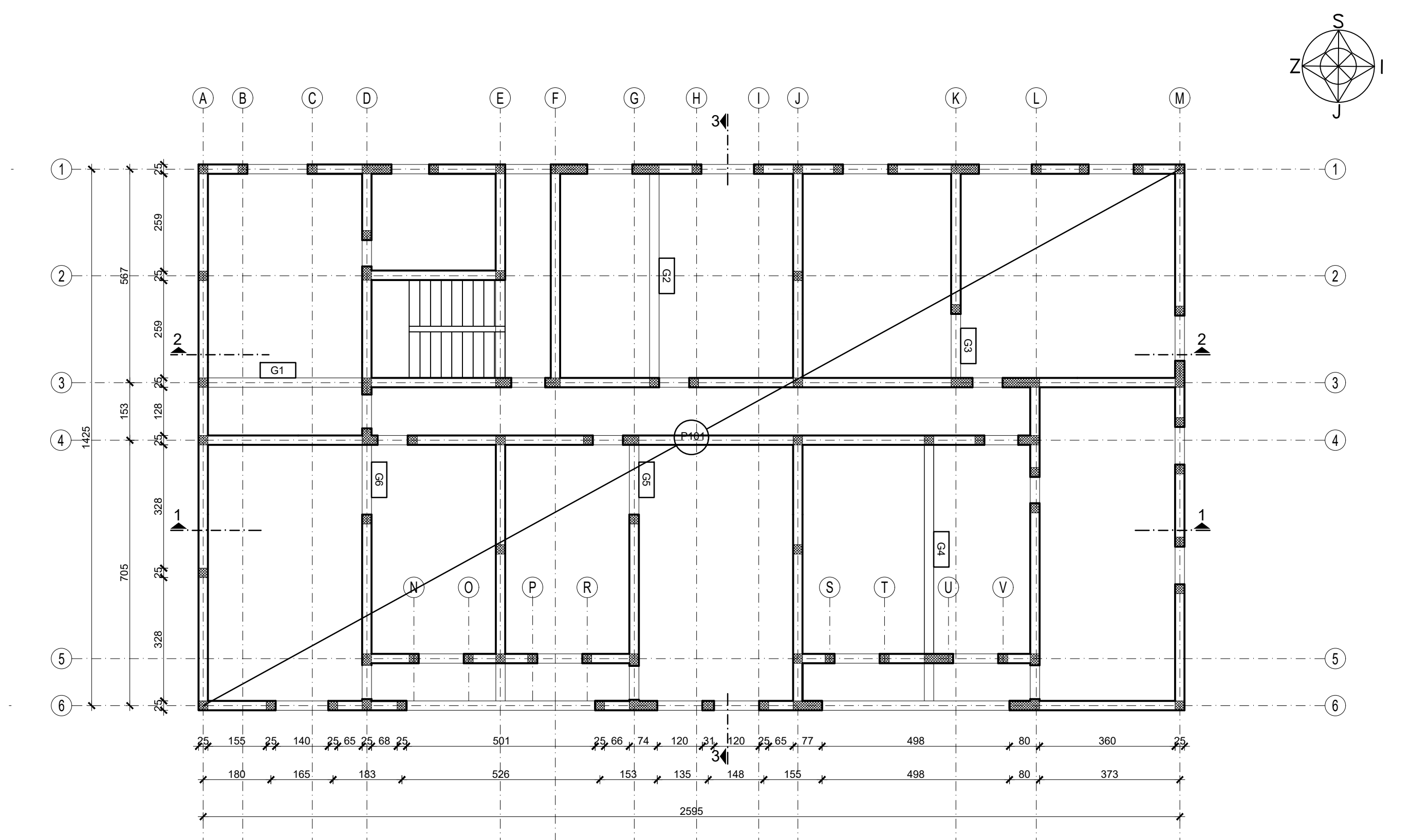
Zidovi su provjeravani na vertikalno i horizontalno, odnosno potresno djelovanje te zadovoljavaju dokaz mehaničke otpornosti na vertikalno djelovanje sa vrlo niskim postotkom iskoristivosti dok je na temelju potresnih sila koje se javljaju u konstrukciji određena potrebna armatura. Temelji su izvedeni kao temeljne trake s nadtemeljnim zidovima, a širina se određuje na temelju kontaktnih naprezanja koja se javljaju na plohi temelj-tlo koja su ograničena računskom nosivosti. Temelji su dimenzionirani tako da slijeganje bude približno ujednačeno u svim područjima.

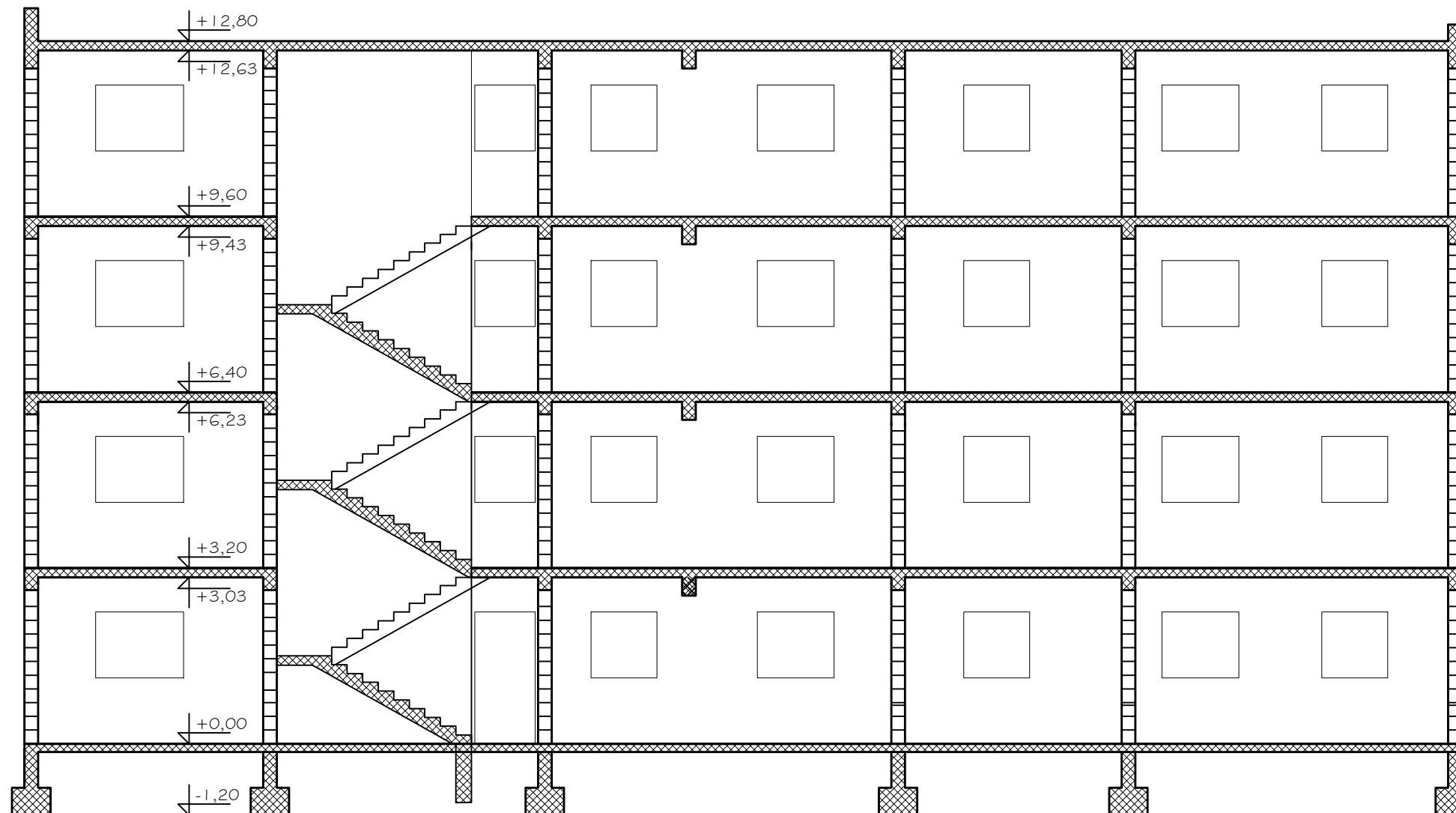
U računalnom programu KI EXPERT PLUS je izvršen proračun fizike zgrade. Sve konstrukcije su projektirane tako da postižu zadovoljavajuće vrijednosti toplinske zaštite, da konstrukcije izložene velikim temperturnim promjenama budu stabilne, te da unutar sastava obodnih konstrukcija ne dolazi do stvaranja kondenzata vodene pare koji se neće moći isušiti.

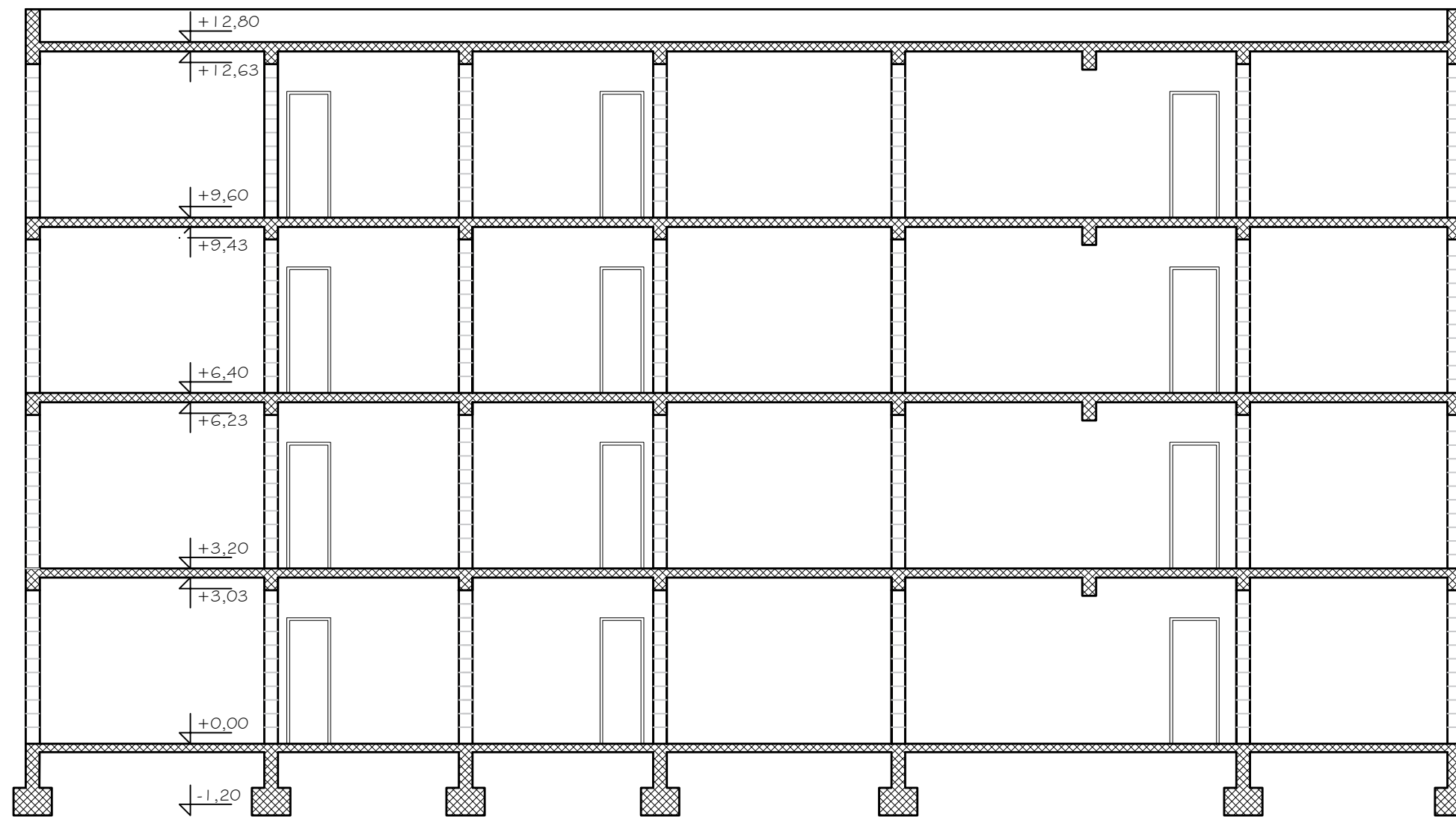
9. Prilozi

- Prilog 1 – Plan pozicija 00 M 1:100
- Prilog 2 – Plan pozicija 100 M 1:100
- Prilog 3 – Presjek 2-2 M 1:100
- Prilog 4 – Presjek 3-3 M 1:100
- Prilog 5 – Presjek 1-1 M 1:100
- Prilog 6 – Južno pročelje M 1:100
- Prilog 7 – Istočno i zapadno pročelje M 1:100
- Prilog 8 – Sjeverno pročelje M 1:100
- Prilog 9 – Presjek kroz zid M 1:25
- Prilog 10 – Armatura ploče pozicija 100-donja zona M 1:100
- Prilog 11 – Armatura ploče pozicija 100-gornja zona M 1:100
- Prilog 12 – Pozicija zidova za fiziku zgrade M 1:100
- Prilog 13 – Pozicija ploča za fiziku zgrade M 1:100

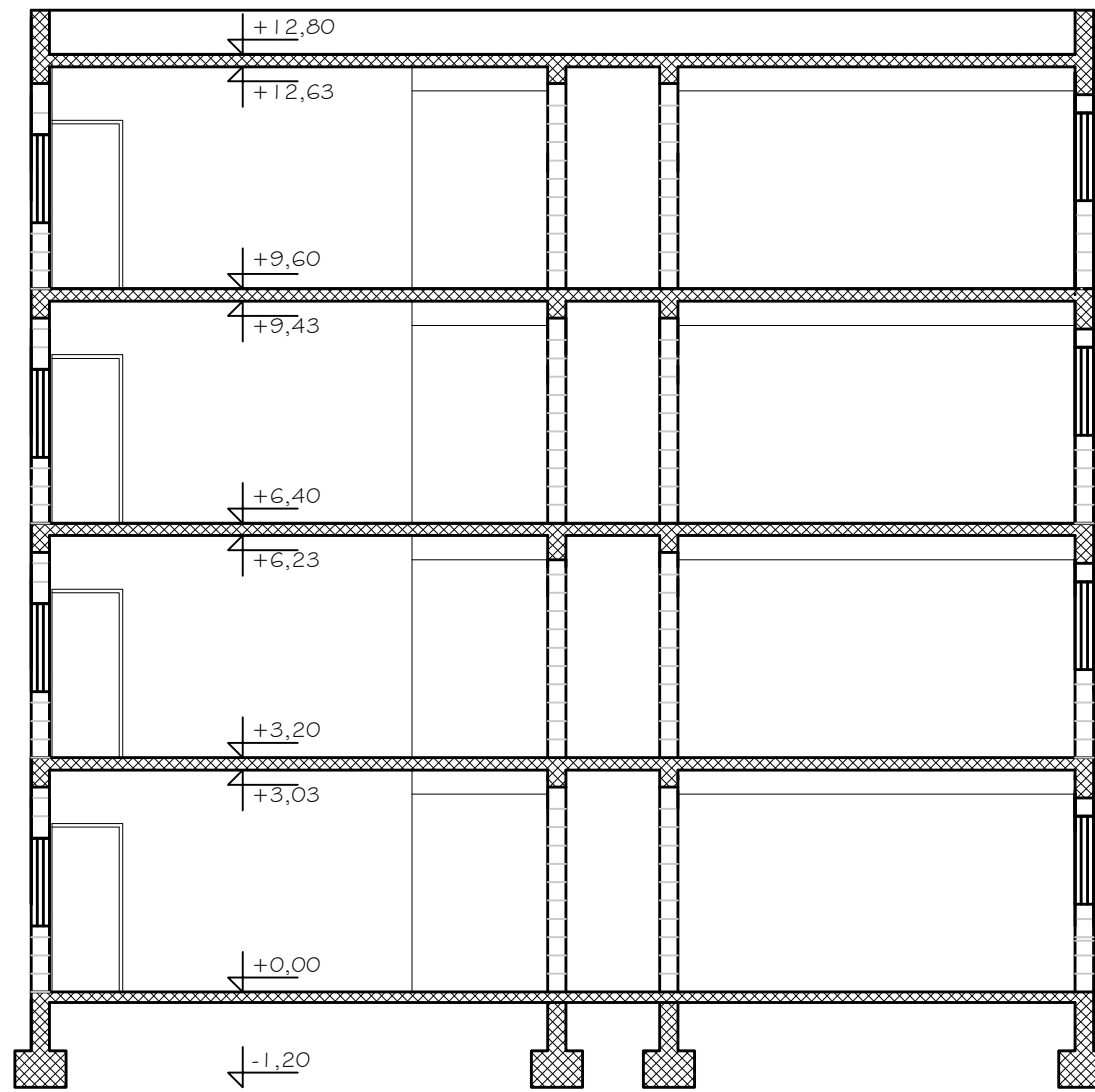




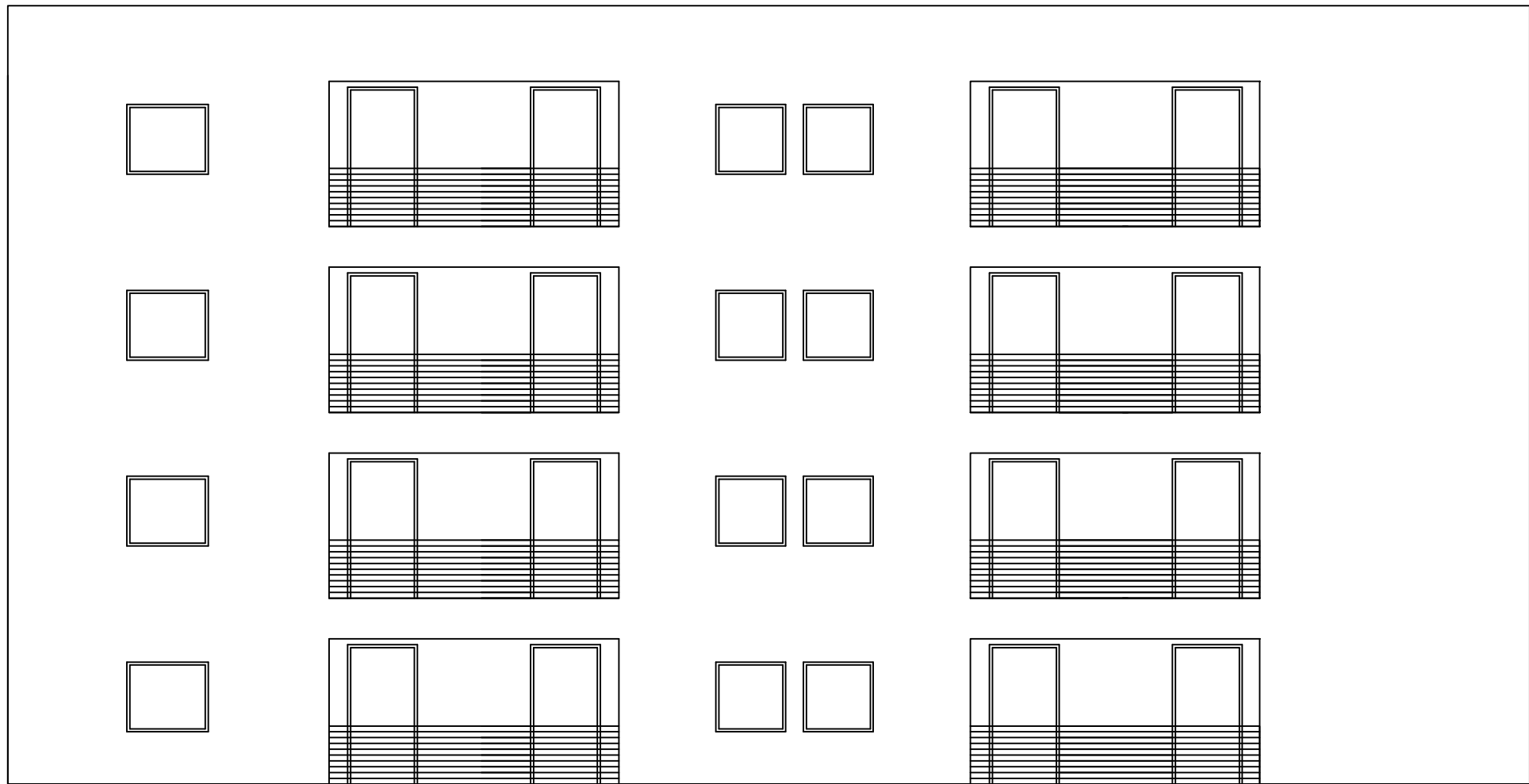




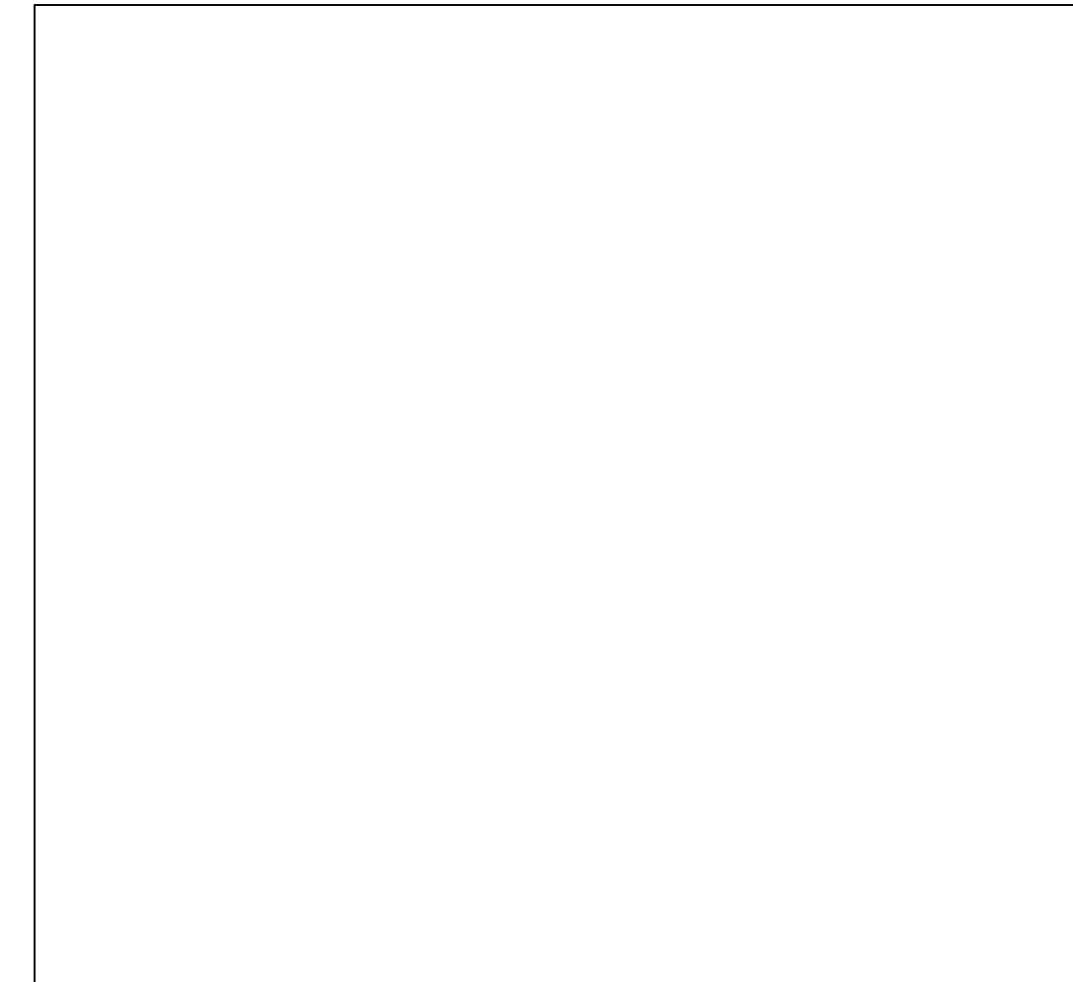
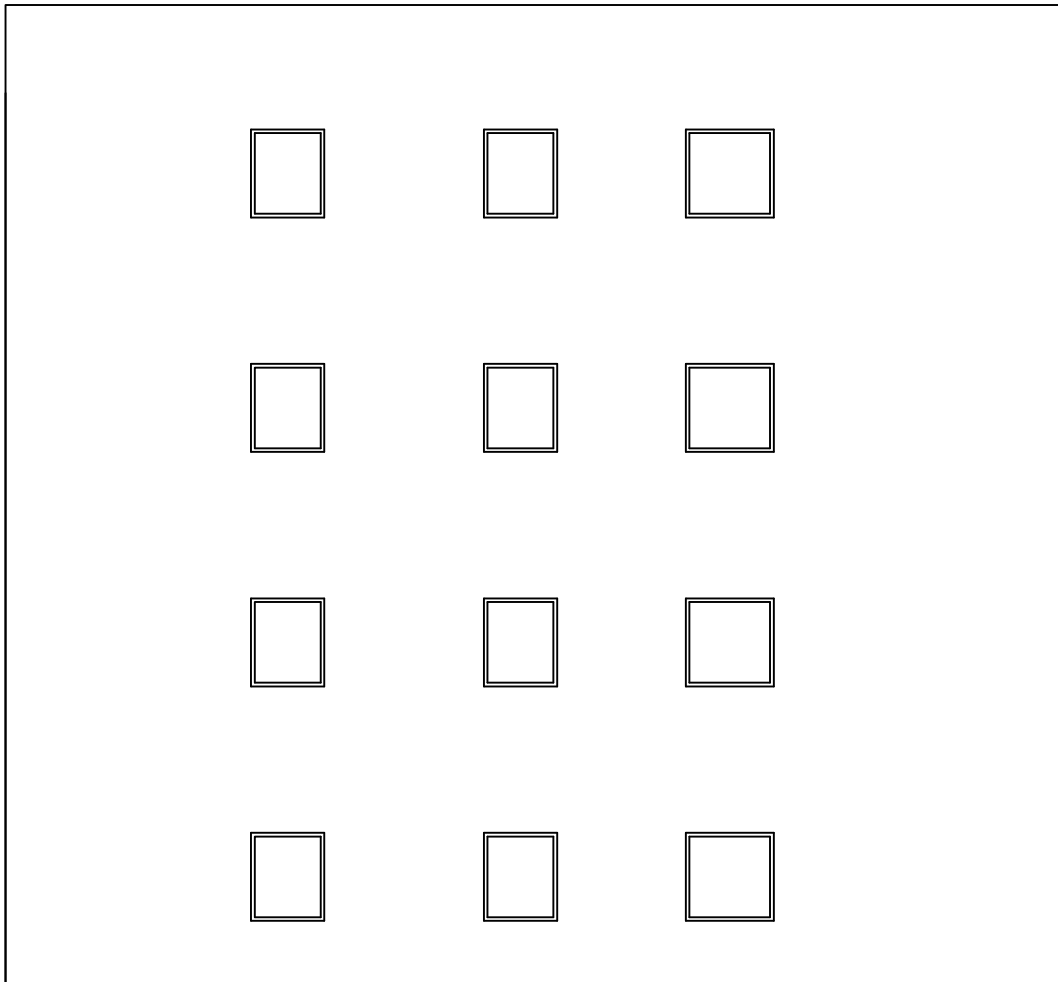
| | | |
|-------------|---|--|
| | SVEUČILIŠTE U SPLITU FAKULTET GRAĐEVINARSTVA, ARHITEKTURE I GEODEZIJE | UNIVERSITY OF SPLIT FACULTY OF CIVIL ENGINEERING, ARCHITECTURE AND GEODESY |
| studentica: | Anamaria Brnas | |
| građevina: | STAMBENA ZGRADA | |
| projekt: | GLAVNI PROJEKT KONSTRUKCIJE | datum: 7/2019. |
| mentor: | Ivan Balić | |
| sadržaj: | PRESJEK 3-3 | mjerilo: M 1:100 |
| | | list: 4 |

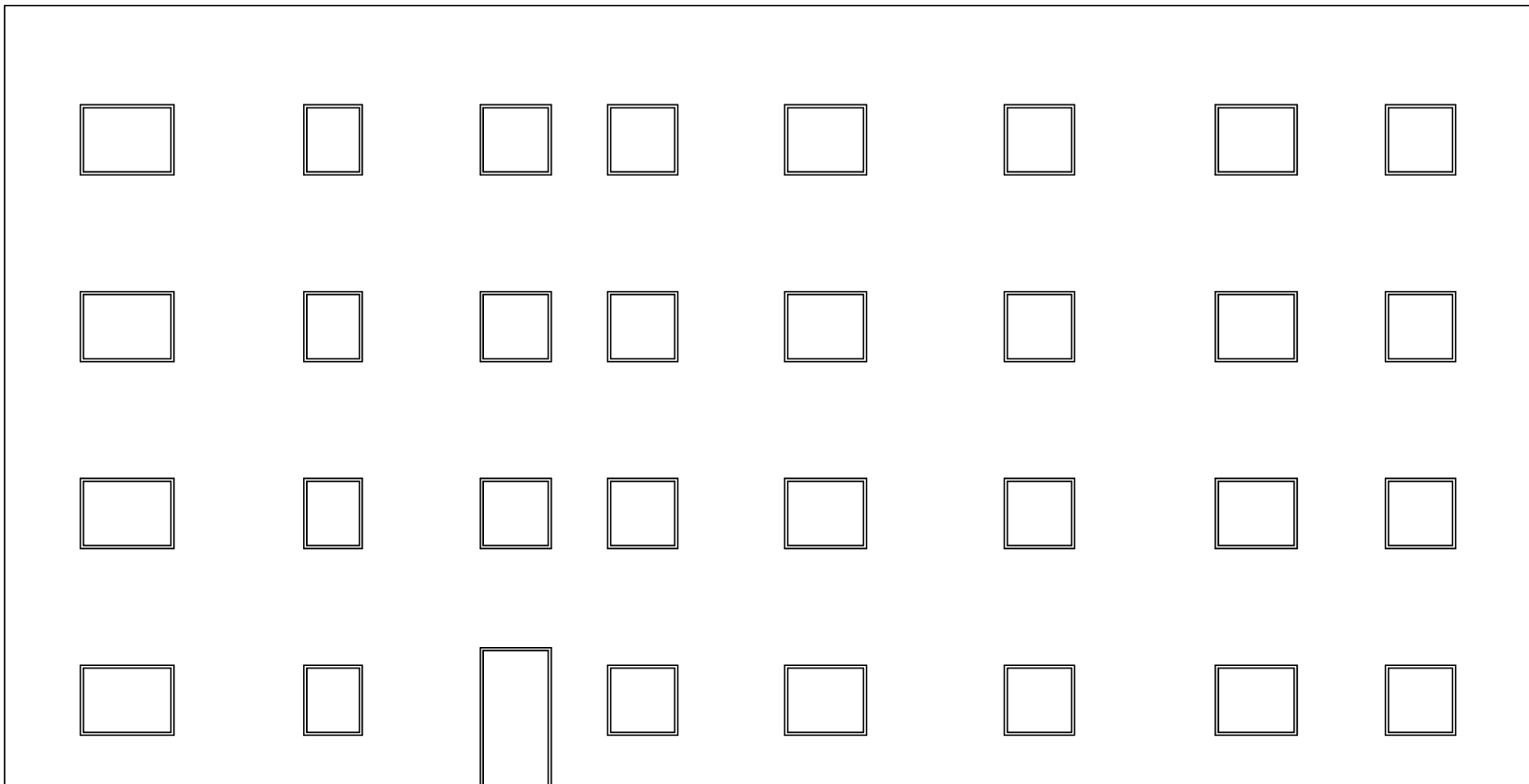


| | | |
|-------------|---|--|
| | SVEUČILIŠTE U SPLITU FAKULTET GRAĐEVINARSTVA, ARHITEKTURE I GEODEZIJE | UNIVERSITY OF SPLIT FACULTY OF CIVIL ENGINEERING, ARCHITECTURE AND GEODESY |
| studentica: | Anamaria Brnas | |
| građevina: | STAMBENA ZGRADA | |
| projekt: | GLAVNI PROJEKT KONSTRUKCIJE | datum: 7/2019. |
| mentor: | Ivan Balic | |
| sadržaj: | PRESJEK 1-1 | mjerilo: M 1:100 list: 5 |

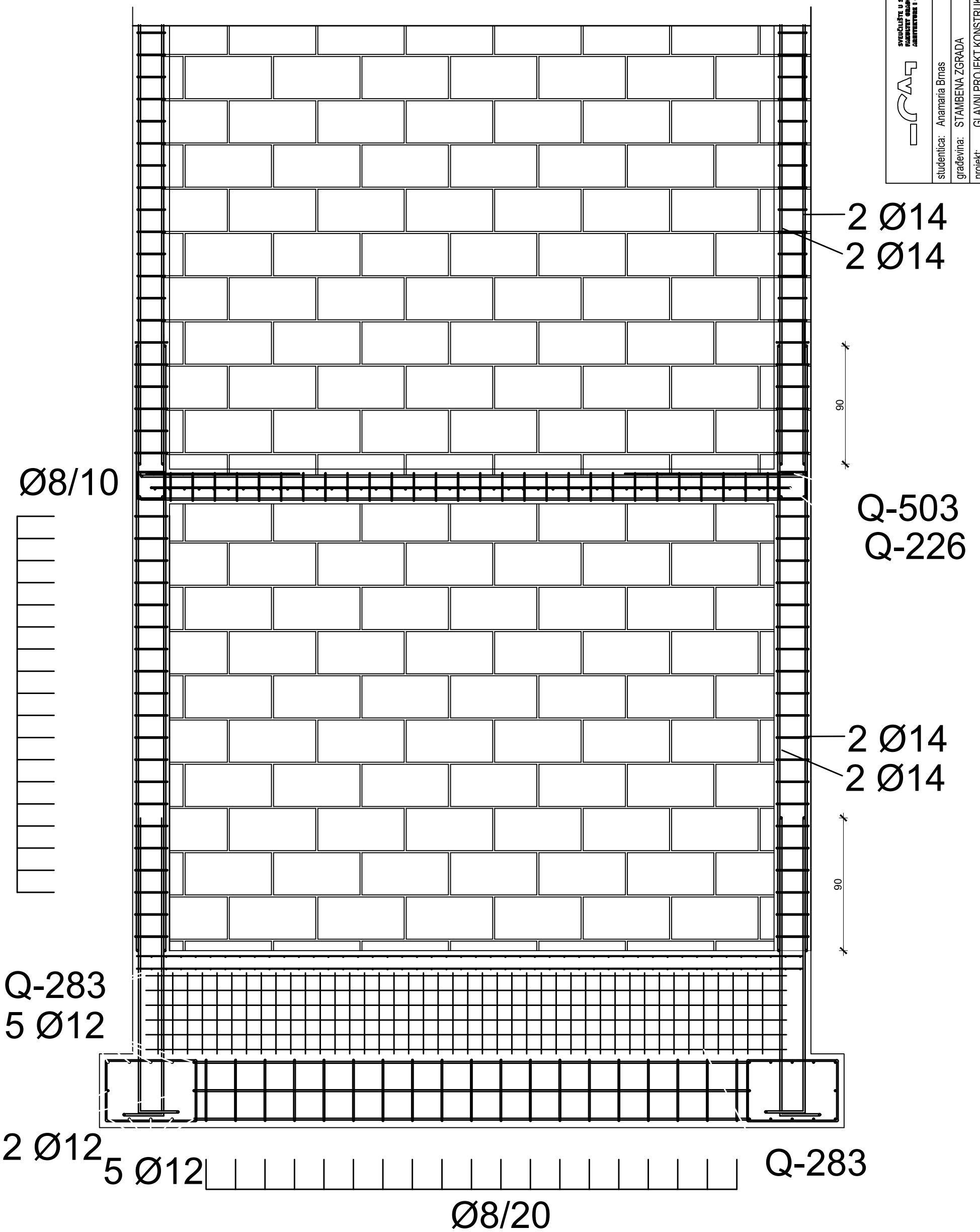


| | | |
|---|---|--|
|  | SVEUČILIŠTE U SPLITU FAKULTET GRAĐEVINARSTVA, ARHITEKTURE I GEODEZIJE | UNIVERSITY OF SPLIT FACULTY OF CIVIL ENGINEERING, ARCHITECTURE AND GEODESY |
| studentica: | Anamaria Brnas | |
| građevina: | STAMBENA ZGRADA | |
| projekt: | GLAVNI PROJEKT KONSTRUKCIJE | datum: 7/2019. |
| mentor: | Ivan Balić | |
| sadržaj: | JUŽNO PROČELJE | mjerilo: M 1:100 |
| | | list: 6 |

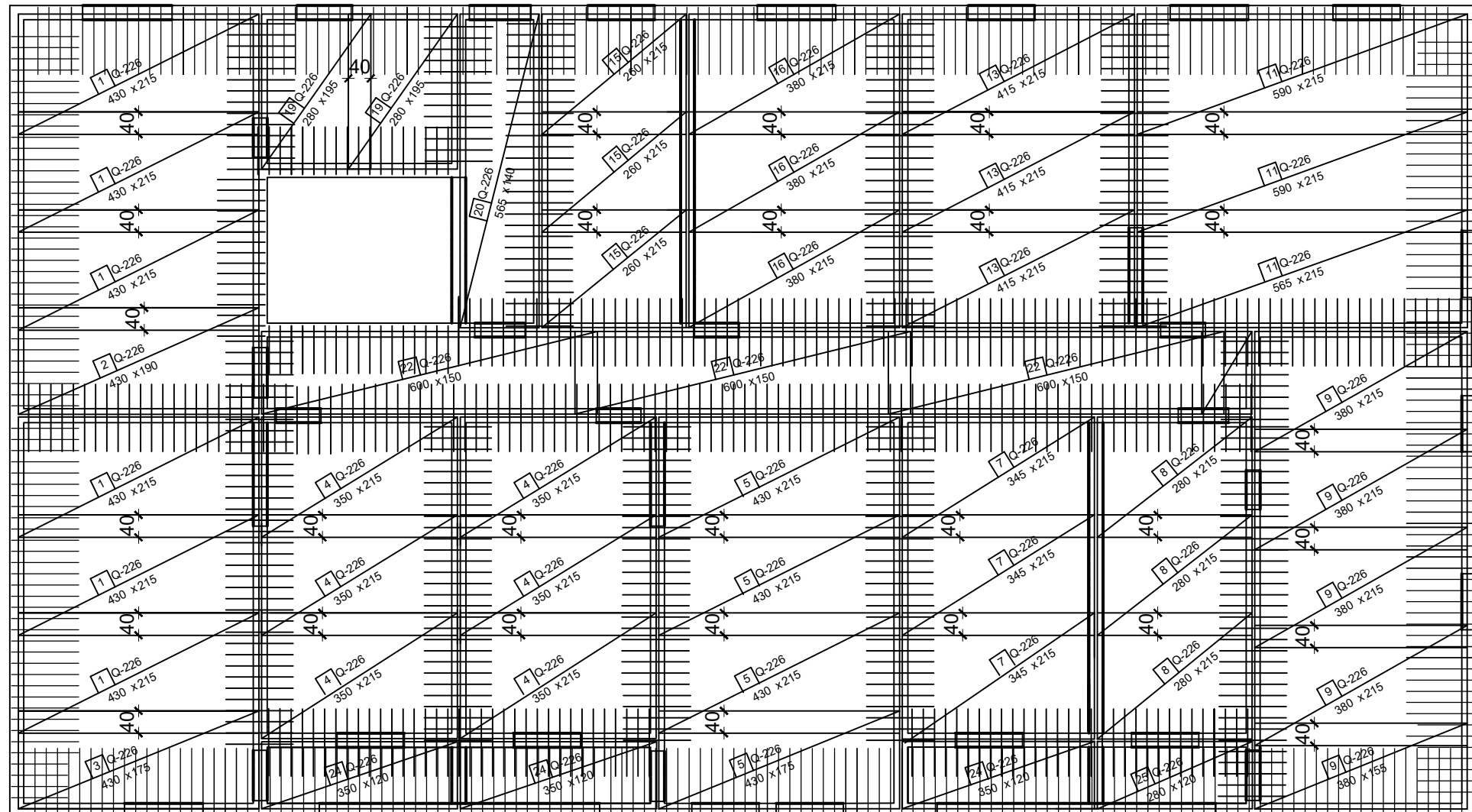




| | | |
|-------------|---|--|
| | SVEUČILIŠTE U SPLITU FAKULTET GRAĐEVINARSTVA, ARHITEKTURE I GEODEZIJE | UNIVERSITY OF SPLIT FACULTY OF CIVIL ENGINEERING, ARCHITECTURE AND GEODESY |
| studentica: | Anamaria Brnas | |
| građevina: | STAMBENA ZGRADA | |
| projekt: | GLAVNI PROJEKT KONSTRUKCIJE | datum: 7/2019. |
| mentor: | Ivan Balic | |
| sadržaj: | SJEVERNO PROČELJE | mjerilo: M 1:100 |
| | | list: 8 |



UNIVERSITY OF SPLIT
 FACULTY OF CIVIL ENGINEERING,
 ARCHITECTURE AND DESIGN
STAMBENA ZGRADA
 studentica: Anamaria Brnaas
 građevina: STAMBENA ZGRADA
 projekt: GLAVNI PROJEKT KONSTRUKCIJE
 mentor: Ivan Balic
 sadžaj: PRESJEK KROZ ZID Z4-AD
 datum: 7/2019.
 mjerilo: M 1:25
 list: 9



SVEUČILIŠTE U SPLITU
FAKULTET GRAĐEVINARSTVA,
ARHITEKTURE I GEODRŽEVE

UNIVERSITY OF SPLIT
FACULTY OF CIVIL ENGINEERING,
ARCHITECTURE AND GEODESY

studentica: Anamaria Brnas

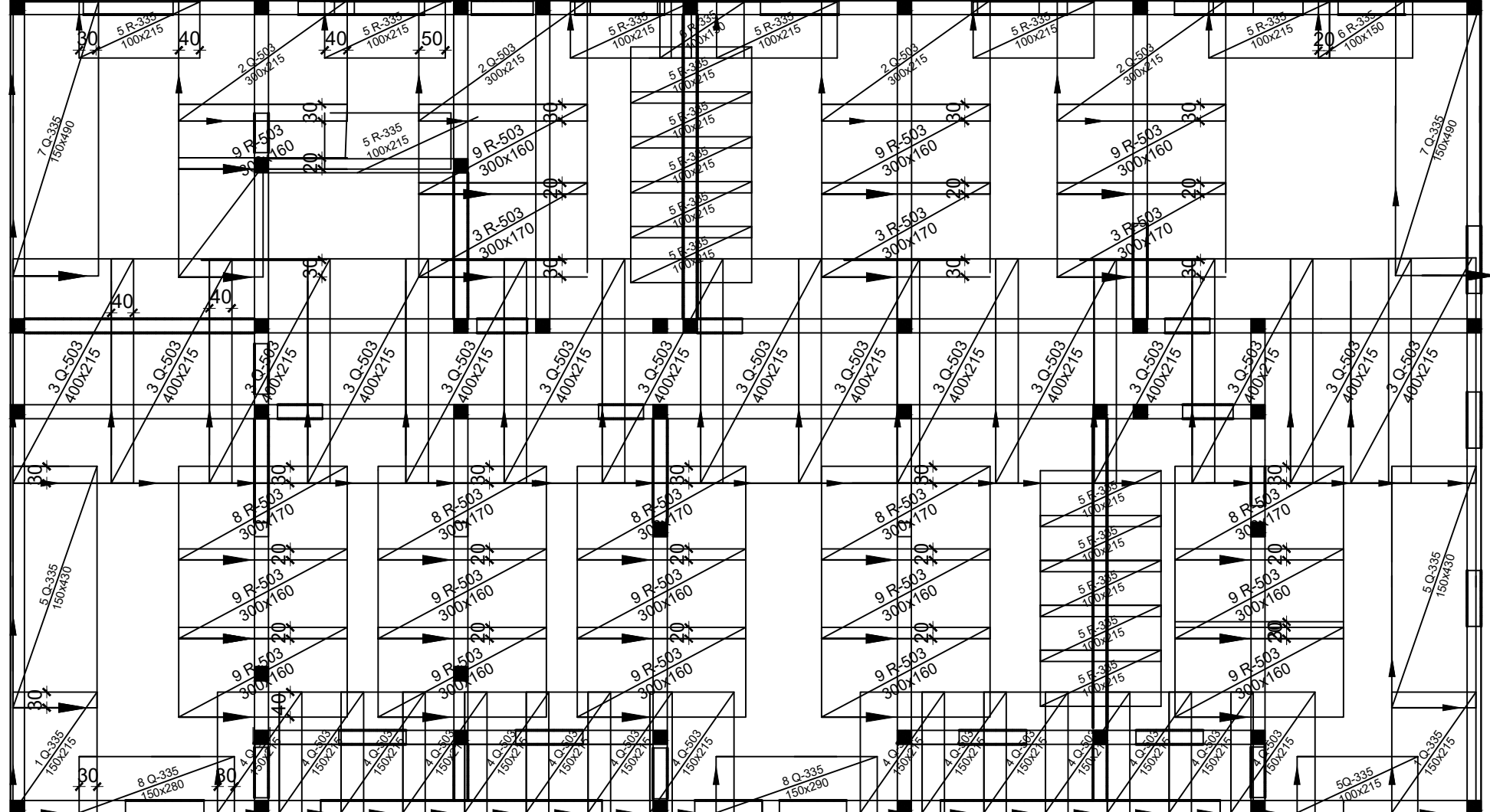
građevina: STAMBENA ZGRADA

projekt: GLAVNI PROJEKT KONSTRUKCIJE

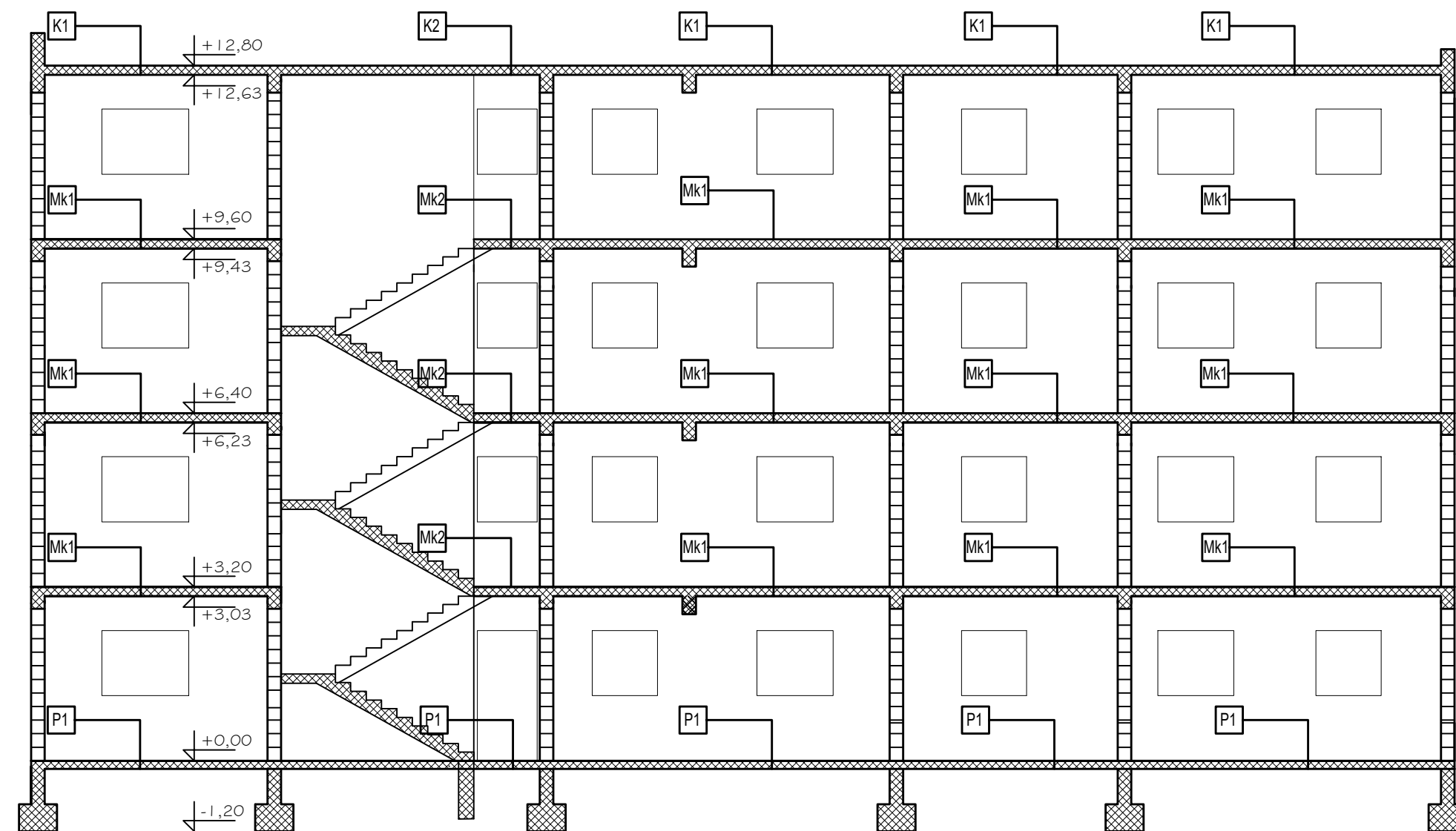
datum: 7/2019.

mentor: Ivan Balić

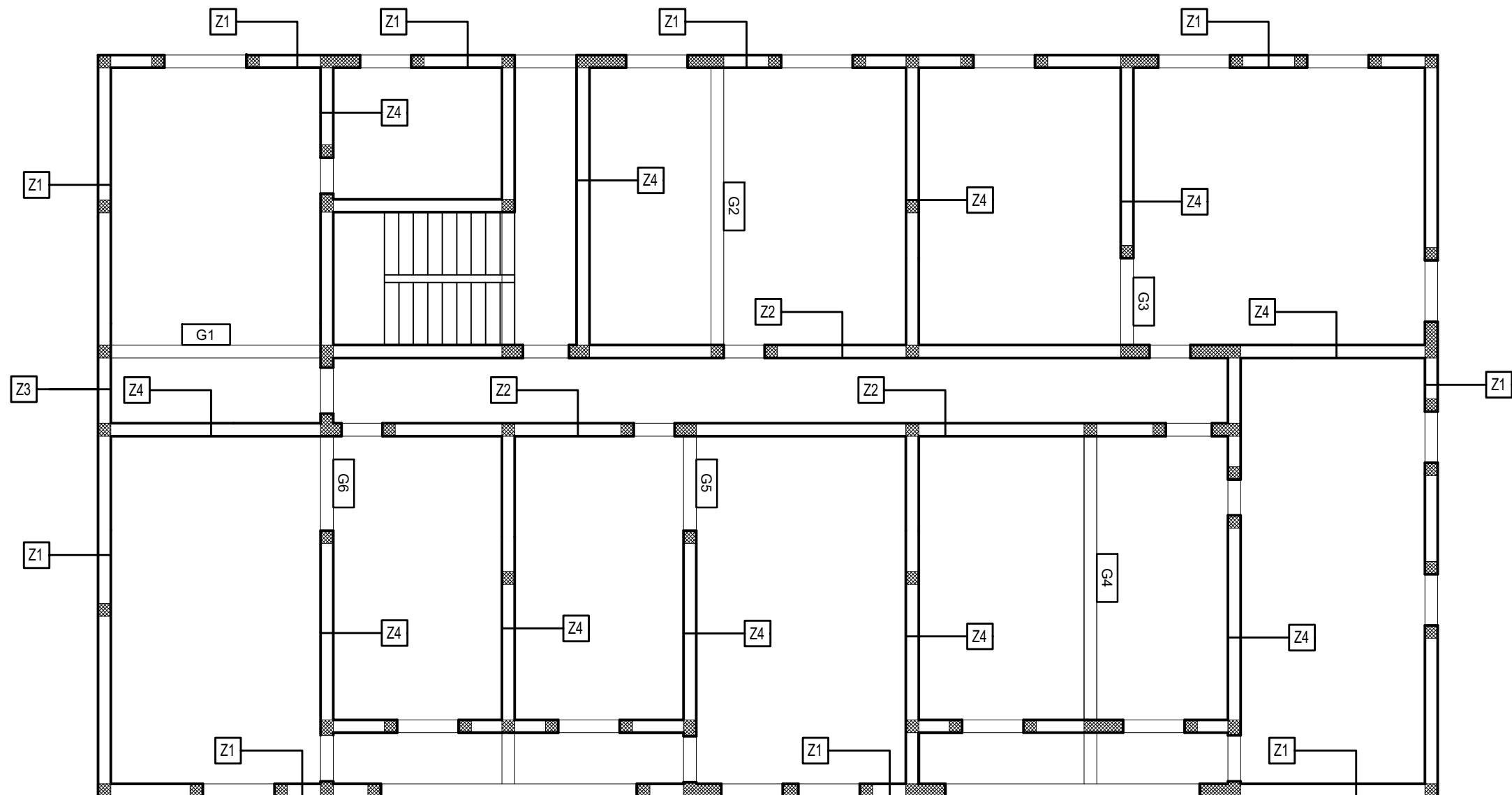
sadržaj: ARMATURA PLOČE POZ. 100-DONJA ZONA mjerilo: M 1:100 list: 10



| | | |
|---|---|--|
|  | SVEUČILIŠTE U SPLITU FAKULTET GRAĐEVINARSTVA, ARHITEKTURE I GEODEZIJE | UNIVERSITY OF SPLIT FACULTY OF CIVIL ENGINEERING, ARCHITECTURE AND GEODESY |
| studentica: Anamaria Brnas | | |
| građevina: STAMBENA ZGRADA | | |
| projekt: GLAVNI PROJEKT KONSTRUKCIJE | | datum: 7/2019. |
| mentor: Ivan Balic | | |
| sadržaj: ARMATURA PLOČE POZ. 100-GORNJA ZONA | mjerilo: M 1:100 | list: 11 |



| | | |
|-------------|---|--|
| | SVEUČILIŠTE U SPLITU FAKULTET GRAĐEVINARSTVA, ARHITEKTURE I GEODEZIJE | UNIVERSITY OF SPLIT FACULTY OF CIVIL ENGINEERING, ARCHITECTURE AND GEODESY |
| studentica: | Anamaria Brnas | |
| građevina: | STAMBENA ZGRADA | |
| projekt: | GLAVNI PROJEKT KONSTRUKCIJE | datum: 7/2019. |
| mentor: | Ivan Balic | |
| sadržaj: | POZICIJA ZIDOVA ZA FIZIKU ZGRADE | mjerilo: M 1:100 list: 12 |



| | | |
|-------------|---|--|
| | SVEUČILIŠTE U SPLITU FAKULTET GRAĐEVINARSTVA, ARHITEKTURE I GEODEZIJE | UNIVERSITY OF SPLIT FACULTY OF CIVIL ENGINEERING, ARCHITECTURE AND GEODESY |
| studentica: | Anamaria Brnas | |
| građevina: | STAMBENA ZGRADA | |
| projekt: | GLAVNI PROJEKT KONSTRUKCIJE | datum: 7/2019. |
| mentor: | Ivan Balić | |
| sadržaj: | POZICIJA PLOČA ZA FIZIKU ZGRADE | mjerilo: M 1:100 list: 13 |

10. Literatura

| | |
|------|--|
| [1] | Aničić D., Franko T., Zidane konstrukcije: Priručnik za investitore, projektante, Karlovac, Wienerberger Ilvac d.d., 2010. |
| [2] | Europska norma EN 1998, 2004 |
| [3] | Europska norma EN 1996, 2004 |
| [4] | Europska norma EN 1992, 2004 |
| [5] | Mihanović A., Dinamika konstrukcija, Udžbenici Sveučilišta u Splitu, Split, 1995 |
| [6] | Trogrlić B., Potresna otpornost omeđenog ziđa – pushover metoda, Split, Fakultet građevinarstva, arhitekture i geodezije, 2013 |
| [7] | Radić J. i suradnici, Zidane konstrukcije 1: Priručnik, Zagreb, Građevinski fakultet Sveučilišta u Zagrebu, 2007 |
| [8] | Sorić Z., Zidane konstrukcije 1, Udžbenici Sveučilišta u Zagrebu, Zagreb, 2015. |
| [9] | Trogrlić B. Zidane konstrukcije – predavanja, Split, Fakultet građevinarstva, arhitekture i geodezije Split, 2010 |
| [10] | Roje-Bonacci T., Miščević P., Geotehničko inženjerstvo – predavanja, Split, Fakultet građevinarstva, arhitekture i geodezije Split, 2010 |
| [11] | Mihanović A., Trogrlić B., Akmadžić V., Građevna statika II, Fakultet građevinarstva, arhitekture i geodezije, Split 2014 |